

UNIVERSIDADE FEDERAL DO RIO GRANDE DO SUL
FACULDADE DE AGRONOMIA
PROGRAMA DE PÓS-GRADUAÇÃO EM CIÊNCIA DO SOLO

**PROTEÇÃO FÍSICA DA MATÉRIA ORGÂNICA EM LATOSSOLOS
SOB SISTEMAS COM PASTAGENS
NA REGIÃO DO CERRADO BRASILEIRO**

**Madalena Boeni
(Tese)**

Livros Grátis

<http://www.livrosgratis.com.br>

Milhares de livros grátis para download.

UNIVERSIDADE FEDERAL DO RIO GRANDE DO SUL
FACULDADE DE AGRONOMIA
PROGRAMA DE PÓS-GRADUAÇÃO EM CIÊNCIAS DO SOLO

**PROTEÇÃO FÍSICA DA MATÉRIA ORGÂNICA EM LATOSSOLOS
SOB SISTEMAS COM PASTAGENS
NA REGIÃO DO CERRADO BRASILEIRO**

MADALENA BOEN
Engenheira Agrônoma IFRM
Msc. Ciências do Solo IFRM

Tese apresentada como parte dos requisitos para obtenção
do título de Doutora em Ciências do Solo

Porto Alegre, RS, Brasil
Abril de 2007

Pa g e de ho m o g e n e o

*Dedico este trabalho aos grandes amores da minha vida,
meu marido, Silvio A. Genro Jr.
e nosso filho Fabrício, bebezinho querido.*

AGRADECIMENTOS

A DEUS por estar sempre presente, unindo meus passos adiante.

Ao Professor Cláudio Bayer, pela dedicação, orientação, incentivo e orientação para a realização deste trabalho.

Ao Professor João Meneguete, que eu considero um exemplo de pessoa e pelo qual sinto um orgulho e admiração, obrigado pelo convívio.

A Professor Delia H.P. Doc pelo auxílio e orientação que nos prestou, pelo incentivo para usar, o que a s vezes, parece estar fora do nosso alcance e pela paciência por fazer enxergar, a disciplina de Coordenação, que Quêbra doco é um "lixo preto".

A Professor e encarecedor pela recepção e pela supervisão durante o doutorado do Instituto de Technische Universität München, Alemanha.

Ao PP Cênci do UFRG e aos professores pela condução durante estes quatro anos e pela formação acadêmica.

Aos funcionários do Departamento de UFRG, em especial o Jader, Bruno e Adão pelo apoio e Luz Anônimo (Tonho) pelas horas dedicadas e frenética administração de Ronaldo, pela aquisição de materiais e apoio.

A todos os professores, funcionários e estudantes de Pós-graduação do Technische Universität München, em especial Dr. Angela Böhm, Albrecht Albrecht, Maren, Peter e Mui, Peter Müller, Efrideschör, Arn Euserhues e Philipp Esche, Alexander Dügg, Bruno Bages, Arn Hof, André Scher, Xiao Chen e Q, pelo cuidado e acolhimento e pela prontidão para ajudar e, quando necessário.

Aos pesquisadores do Centro de Agricultura e Agropecuária da UFPA, em especial Agropecuária Oes, Manoel Macedo da Agricultura da do de Cordeiro e Drceu Broch da Fundação de apoio dos experimentos de suas instalações e por fornecer todo o apoio e infraestrutura necessária para a realização dos trabalhos.

A CAPES pelo apoio de doutorado e a CAPES DAAD, pelo apoio de doutorado no exterior.

Ao Professor Alerio, pela sua participação, pelo apoio e pelas discussões e pela dedicação ao longo deste percurso.

Aos nossos amigos, especialmente ao Sr. Dego, pela sua participação e pelo apoio e pela dedicação.

A todos os colegas do PP Cênc do Coo-FR, pela convicção e pelo apoio nos momentos difíceis, e especialmente a "grande família" do trabalho do Sr. João, Frederico, José, Paulo Cesar (PO), Júlio, Nivaldo, Gustavo T., Aurélio, Gabriel, Carlos, Mche y, Emanoel, Jefferson, Bruno, Fern, Adão e Maria, pela sua participação e pelos esquecimentos dos momentos de trabalho e da dedicação, enfim, por tudo o que representa a família.

A todos os familiares, especialmente ao Sr. João e Sr. Paulo, pela sua presença e participação, independentemente da distância.

Ao grande amigo Paulo Cesar, por nossas longas discussões e pela dedicação e pelo apoio que me deu ao longo do meu crescimento e pela dedicação e pelo apoio.

Ao Sr. João de Goda, pelo seu exemplo de dedicação e de trabalho, especialmente o Sr. Jefferson, um exemplo de profissionalismo, organização do conhecimento, dedicação e superação.

Aos meus irmãos Luis Fernando, Maria, Mateus, Maria e Cristiano, cunhados, sobrinhos e afilhados, pela sua presença e participação nos momentos difíceis.

Aos meus pais Arnelo e Maria, pelo apoio e dedicação aos filhos. A Sr. Maria (Dona Ovelha), pela sua dedicação e pelo exemplo de dedicação, ensinamento e orientação. A Sr. Nivaldo, pelo exemplo de dedicação e pelo apoio e participação.

A Elenor, Menezes, Lucas, Fernando, Rafael e Fernando, Ely, André e Fernando, pela sua dedicação e pelo apoio e participação.

Aos meus irmãos e meu pai, pelo apoio e dedicação e pelo exemplo de dedicação e pelo ensinamento e orientação e participação.

PROTEÇÃO FÍSICA DA MATÉRIA ORGÂNICA EM LATOSSOLOS SOB SISTEMAS COM PASTAGENS NA REGIÃO DO CERRADO BRASILEIRO ^{1/}

Autor: M. de A. Boen

Orientador: Prof. Cláudio B. yer

RESUMO

A utilização de pastagens com espécies perenes, perennifólias ou essências de rotaçãovou-pastagem, pode ser uma alternativa para o manejo de solos na região do Cerrado Brasileiro. Nesse estudo, o efeito sobre a rotação de culturas nos solos de cerrado originário (CO) do solo e da gramínea do solo (G), -1 e 1-2% C, e, com a grande quantidade de matéria orgânica (MO) e a quantidade de MO do solo a partir de técnicas de análise de carbono densidade e por ressonância magnética nuclear do C¹³ C NMR, respectivamente. A pesquisa foi realizada em três experimentos de longa duração (11 anos), em latossolos com diferentes graus de desenvolvimento (Gg¹, nos municípios de Douçad, Matão e G. po. e, no Estado do Mato Grosso do Sul. Os experimentos consistiram de sistemas de cultivo sazonais em direção (PD), sistema de rotaçãovou-pastagem (PP) e em direção (PD2P2 e Douçad e Matão e PD1P e G. po. e) e sistema de pastagem perenne de cultura (PP+L, solo e G. po. e). Os solos sob pastagem perenne e rotaçãovou-pastagem apresentaram esboços de CO (1-2% C) em 41-7% Mg, os quais foram recobertos continuamente por resíduos vegetais sob pastagem. A pastagem contribuiu para a maior quantidade de decomposição, o que resultou numa significativa redução da quantidade de MO nos solos sob pastagens, evidenciando a perda dos esboços de carbono da cultura e o aumento da MO do solo. Espera-se que de 22 a 42% do aumento de MO nos solos sob pastagem foi decorrente da produção de MO, e, com a rotaçãovou-pastagem, os solos sob cultivo sazonal em PD. Os esboços de carbono da cultura da MO do solo indicam que a quantidade de MO associada a componentes novos do solo foi um pouco menor em termos de quantidade de MO nos solos oxidados e com exposição. A principal forma de carbono da MO dos solos foi o C_{org} que, indicando a presença de estruturas orgânicas de matéria vegetal orgânica da cultura do solo e preservação da decomposição e a presença de pastagens favoreceu o aumento do C_{org} que C_{org}, o que foi resultado da maior exposição e preservação de carbono no solo, possivelmente pela ocorrência de gramíneas do solo, o que evidencia o papel da pastagem na manutenção da quantidade de MO do solo.

^{1/} Tese de Doutorado em Ciências do Solo - Programa de Pós-graduação em Ciências do Solo, Faculdade de Agronomia, Universidade Federal do Rio Grande do Sul. Porto Alegre, 1997.

PHYSICAL PROTECTION OF SOIL ORGANIC MATTER IN OXISOLS UNDER PASTURES IN THE TROPICAL BRAZILIAN CERRADO REGION ^{1/}

Author: M. de A. Boen

Advisor: Prof. Cláudio Beyer

ABSTRACT

The use of pastures with permanent species as continuous organic crop-pasture systems, an alternative to the use of soil, is a promising alternative in the Brazilian Cerrado region. This study aimed to evaluate the effect of this practice on soil organic carbon (SOC) and soil aggregation, and to determine the physical protection of soil organic matter (OM) under pastures. The study was conducted in three long-term experiments (11 years) in Oxosol, in the Cerrado region, involving three different crop systems (PD), no-crop (soybean) pasture (PD2P2) in Oxosol and PD1P in G. p. and, permanent pasture (PP), in the three sites and consociated with *Stylosanthes guianensis* (PP+L), only in G. p. and. The soils under permanent pasture and crop-pasture systems presented organic carbon (SOC) ranging from 41 to 77 Mg ha⁻¹, which were related to the continuous input of residues by pasture. The pasture increased aggregation, which promoted a significant increase in physical protection of soil OM under pasture, as evidenced by the increase in the occluded fraction of the soil OM. About 22 to 42% of the OM accumulated on soils under pasture was due to OM physical protection, given by the comparison of soils under no-crop systems. The increase in the heavy fraction of the soil OM pointed out by the chemical analysis due to the association of OM with mineral components was an effective mechanism of OM stabilization in these oxidized soils with high clay content. The increase in the heavy fraction of the soil OM, suggesting the presence of structures from the organic particles added to soil, which are embedded from the soil structure. The use of pasture promoted the increase in the organic carbon content, which was related to the high clay content and presence of organic matter, possibly due to the stabilization of soil aggregates, which highlights the role of pasture in the protection of soil organic matter (SOC) under pastures.

^{1/} Documentação Científica - Programa de Pós-graduação em Ciências de Engenharia de Agronomia, Universidade Federal do Rio Grande do Sul. Porto Alegre, 11 de Abril, 2007.

SUMÁRIO

	Pá g a
1. INTRODUÇÃO GERAL.....	1
2. REVISÃO BIBLIOGRÁFICA.....	4
2.1 Matéria orgânica e agregação do solo.....	4
2.1.1 Agentes envolvidos na agregação.....	4
2.1.2 Efeitos dos sistemas de uso e manejo do solo na agregação.....	7
2.1. Efeitos do tipo de solo na agregação e desagregação da matéria orgânica.....	10
2.1.4 Proteção física da matéria orgânica e agregados do solo.....	14
2.1. Formação e decomposição da matéria orgânica do solo.....	13
2.1. Natureza e composição da matéria orgânica do solo.....	2
3. HIPÓTESES E OBJETIVOS GERAIS.....	2
1. Hipóteses.....	2
2. Objetivos.....	2
4. MATERIAL E MÉTODOS GERAL.....	27
4.1 Caracterização das áreas experimentais.....	27
4.2 Análises gerais do solo.....	1
5. ESTUDO I: Agregação e conteúdo de carbono em frações físicas da matéria orgânica afetadas por pastagens em solos de ambiente tropical.....	2
1. Introdução.....	2
2. Material e métodos.....	4
2.1 Agregação.....	4
2.2 Carbono orgânico total e estoques desse elemento no solo.....	8
2. Formação e densidade do carbono orgânico.....	8
2.4 Carbono nas frações orgânicas.....	8
2. Descrição de solos-X.....	8
3. Resultados e discussão.....	2
3.1 Agregação do solo.....	2
3.2 Carbono orgânico no solo.....	2
3.3 Formação do carbono orgânico do solo.....	2
4. Conclusões.....	2
6. ESTUDO II: Qualidade da matéria orgânica em sistemas de manejo sob pastagens, avaliada por RMN ¹³C CPMAS, em solos da região do Cerrado Brasileiro.....	4
1. Introdução.....	4
2. Material e métodos.....	4
2.1 Formação e densidade do carbono orgânico.....	4
2.2 Tratamento químico dos solos.....	4
3. Análise espectroscópica de RMN ¹³ C CPMA.....	72

2.4	G r u p o s f i z i c a s o r g a n i z a d o s.....	7
	R e s u m o d e d i s c u s s ã o.....	7
1	a p r e s e n t a ç ã o g e n e r a l d e M O e s o o n e r o e e f e i t o s f i z i c a s d e n s i t a t i v a s a f e i t o s p o r s e r i e s d e l a n e o s o l a r e s.....	7
1.1	o o n e r o.....	7
1.2	F i z i c a s d e n s i t a t i v a s d e M O.....	78
1.2.1	F i z i c a o L e v e L v r e (E L L).....	84
1.2.2	F i z i c a o L e v e O c u s a (E L O).....	8
1.2.	F i z i c a o P e s a d (E P).....	11
	C o n c l u s õ e s.....	11
7.	DISCUSSÃO GERAL.....	11
8.	ESTUDOS FUTUROS.....	118
9.	REFERÊNCIAS BIBLIOGRÁFICAS.....	111
10.	APÊNDICES.....	114

RELAÇÃO DE TABELAS

	Página
1. Características gerais das experiências.....	20
2. Definição e descrição dos materiais.....	7
3. Descrição da sala do solo L.d.F. Dez... , quantidade de dose grega dos esboços e a gá, a s a l a d s τ , -1 τ e 1 τ -2 τ c τ , sol vegetal o a u Δ N ... dre.o Δ PD, ro a o a vou Δ s ge τ Δ PD2P2 e a s ge τ per a nen e de gá Δ PP).....	40
4. Descrição da sala do solo L.d.F. M... , quantidade de dose grega dos esboços e a gá, a s a l a d s τ , -1 τ e 1 τ -2 τ c τ , sol vegetal o a u Δ N ... dre.o Δ PD, ro a o a vou Δ s ge τ Δ PD2P2 e a s ge τ per a nen e de gá Δ PP).....	41
5. Descrição da sala do solo L.d.F. M... Mande, quantidade de dose grega dos esboços e a gá, a s a l a d s τ , -1 τ e 1 τ -2 τ c τ , sol vegetal o a u Δ N ... dre.o Δ PD, ro a o a vou Δ s ge τ Δ PD1P Δ e a s ge τ per a nen e de gá Δ PP e a s ge τ per a nen e de gá Δ PP consora d co τ egu τ noa Δ PP+L).....	42
6. Teores e esboço de arônio nos três solos estudados, sol vegetal o a u Δ N ... dre.o Δ PD, ro a o a vou Δ s ge τ Δ PD2P2 e Δ PD1P Δ e a s ge τ per a nen e de gá Δ PP e de gá Δ PP consora d co τ egu τ noa Δ PP+L).....	1
7. Teores de arônio nas frações f.s.a.s.d MO Δ ELL, FLO e FP), arônio orgânico Δ COT) e o de a d f a o e r e a o a o COT, nos três solos estudados, sol vegetal o a u Δ N ... dre.o Δ PD, ro a o a vou Δ s ge τ Δ PD2P2 e PD1P Δ e a s ge τ per a nen e de gá Δ PP e de gá Δ PP consora d co τ egu τ noa Δ PP+L).....	4
8. Esboço de arônio nas frações eve vre Δ ELL), eve ocua Δ ELO), pes d Δ EP) e no solo n.egu Δ COT) a a l a d de τ c τ e re a o d u a a o d s f a o e s co r a u a a o do COT p a o s três solos estudados.....	
9. Reação C:N das frações orgânicas Δ n g Δ ea pós f a Δ a a l e n o co τ F 1 τ Δ ELO e FP) e d u o n o de só d o Δ ELL).....	71
10. Contribuição reativa de arônio Δ de COT) nas regiões de a d f a o q u e a dos espec,ros de RMN 13 C CPMA) e a a a o C O a q u C a q u e a a o s s de solo n.ero, a a l a d de	

c. dos rês so os es.úd dos	7
11. Con.ri.ú a o re.ú de a ri.úo de COT.ú a s reg.ões de ú a ú o qu.ú a dos espec.úos de RMN ¹ C CPMA. e a ú a o C Oa qu.ú a qu.ú a s ú.ões f.ú a s ú MO, a a.ú a de c. dos rês so os es.úd dos.....	8
12. Es.úque de a ri.úo org.ú n co.ú a (COT) e ú s ú.ões f.ú a s ú MO (ELL, FLO e FP), a a.ú a de 2.ú c. dos rês so os es.úd dos L.ú d-De.ú s=D, L.ú d-M.ú s=M e L.ú d-C. ú nde=C, nos ú feren.ú s s.e.ú s de ú so e ú ne o.....	8

RELAÇÃO DE FIGURAS

Página

1. Apresentação esquemática do funcionamento físico do condensador MO com utilização de pontos de solda (PTC).....

3.	Espectros de RMN ¹³ C CPMA das amostras de soro negro, obtidos das séries de lâminas dos ressoantes a dos, a a a a de ¹³ C _n	74
10.	Espectros de RMN ¹³ C CPMA das funções f ₁ a f ₄ da MO obtidos das séries de lâminas do soro L ₁ df.D ₁ a f ₄ , a a a a de ¹³ C _n	80
11.	Espectros de RMN ¹³ C CPMA das funções f ₁ a f ₄ da MO obtidos das séries de lâminas do soro L ₁ df.M ₁ a f ₄ , a a a a de ¹³ C _n	81
12.	Espectros de RMN ¹³ C CPMA das funções f ₁ a f ₄ da MO obtidos das séries de lâminas do soro L ₁ d-G ₁ a f ₄ onde, a a a a de ¹³ C _n	82

RELAÇÃO DE APÊNDICES

Página

1. Descrição da porcentagem da saída de água dos efluentes por classe de tamanho das partículas, -1ϕ e $1\phi-2\phi$, de acordo com o L_{df}-D₁₀, L_{df}-D₅₀, L_{df}-D₉₀ e dos sistemas de uso e manutenção. Nível vegetativo, PD: plano de controle de efluentes, PD2P2 e PD1P: rotas de avaria, PP: passagem para nêde de água, PP+L: passagem para nêde de água consorciada com efluente 114

2. Descrição do solo (D₁₀, Teores e esboço de arlono orgânico (COT) no solo, -1ϕ e $1\phi-2\phi$, de acordo com o L_{df}-D₁₀, L_{df}-D₅₀ e L_{df}-D₉₀ (C = Grupo grande), solo e dos sistemas de uso e manutenção. Nível vegetativo, PD: plano de controle de efluentes, PD2P2 e PD1P: rotas de avaria, PP: passagem para nêde de água, PP+L: passagem para nêde de água consorciada com efluente 122

3. Teores de arlono nas frações MO (ELL, FLO e FP) das partículas, -1ϕ e $1\phi-2\phi$, de acordo com o L_{df}-D₁₀, L_{df}-D₅₀ e L_{df}-D₉₀ e dos sistemas de uso e manutenção. Nível vegetativo, PD: plano de controle de efluentes, PD2P2 e PD1P: rotas de avaria, PP: passagem para nêde de água, PP+L: passagem para nêde de água consorciada com efluente. Fator de correção do estudo 124

4. Teores de arlono nas frações MO (ELL, FLO e FP) das partículas, -1ϕ e $1\phi-2\phi$, de acordo com o L_{df}-D₁₀, L_{df}-D₅₀ e L_{df}-D₉₀ e dos sistemas de uso e manutenção. Nível vegetativo, PD: plano de controle de efluentes, PD2P2 e PD1P: rotas de avaria, PP: passagem para nêde de água, PP+L: passagem para nêde de água consorciada com efluente. Fator de correção do estudo de RMN¹ C/CPMA/Esudo 128

- Teores de C e N antes e após a avaria, em que C e N (C_E e N_E) são as concentrações de C e N do solo (R) devendo a avaria, em que C₀ e N₀ são os valores de C e N do solo (ELL) e com F₁₀ (ELO e FP) 1

- Proporção dos diferentes tipos de arlono no solo, de acordo com os L_{df}-D₁₀, L_{df}-D₅₀ e L_{df}-D₉₀ e dos sistemas de uso e manutenção. Nível vegetativo, PD: plano de controle de efluentes, PD2P2 e PD1P: rotas de avaria, PP: passagem para nêde de água, PP+L: passagem para nêde de água consorciada com efluente 12

7. Proporcione dos diferentes tipos de orações frásicas MO, ELL, FLO e FP de acordo com os L de Doulos (L de P, L de M, L de M, L de G, L de C, L de C) e das séries de análise no dredo PD, rotacionada para PD2P2 e PD1P e para a geração PP e PP+L)..... 14

1 INTRODUÇÃO GERAL

O solo é um recurso valioso para a produção de alimentos e fibras que não é a função principal dos ecossistemas. Porém, processos de degradação, que se manifestam com grande intensidade em solos sob manejo de pastagem, são a fonte de nutrientes para o crescimento dos solos e uso da região do Cerrado Brasileiro. A degradação dos solos ocorre com a remoção da vegetação e a consequente redução da sua produtividade, ocorrendo a perda de nutrientes no escoamento da água (MO) e a disponibilidade de nutrientes que são o reposição das espécies e que são responsáveis pelo desenvolvimento do solo.

Para a sustentabilidade da produção de alimentos e fibras, a vegetação deve ser manejada adequadamente e promovida a recuperação dos solos, priorizando a coleta periódica de nutrientes do solo e a recuperação dos solos de MO, a fim de garantir a recuperação dos solos degradados, criando condições para a manutenção da capacidade produtiva do solo e contribuindo para a melhoria da produtividade. A MO é considerada uma componente chave da qualidade do solo, constituindo-se um dos principais responsáveis pela sustentabilidade dos sistemas agropecuários, pois são os processos reacionais da gestão de nutrientes, disponibilidade de hidratos e de oxigênio, e pela eficiência da utilização do solo.

O incremento dos estoques de carbono orgânico (CO) do solo é possível através de sistemas de manejo que proporcionem redução da intensidade de preparo, como o plantio direto, utilização de culturas com efeito aditivo de resíduos orgânicos e a utilização de espécies de gramíneas de cobertura perenes, principalmente do gênero *Brachiaria*, introduzidas nos Cerrados a partir de 70% com o início do processo produtivo da região, a fim de garantir a sustentabilidade dos sistemas de produção. No

em n.º, a degradação das passagens, devido, principalmente, à utilização intensiva e ao uso de fertilizantes, pesticidas e outros produtos químicos, a utilização de produtos químicos e o aumento da produção de resíduos, a criação de porcos, a utilização de sementes e o uso de drogas, a regulação Centro-Oeste do Brasil, o que oferece uma visão no sentido de negar produção de resíduos e passagens e a utilização de produtos, econômica e ambiental.

O fluxo de componentes orgânicos no sistema são os componentes do solo, a matéria orgânica e a matéria orgânica. Essa matéria orgânica é composta pelos componentes orgânicos e descompõe os componentes orgânicos, formando grânulos, os quais são compostos de solo. Esses grânulos são compostos orgânicos, resultando da formação de grânulos e de resíduos. Durante o processo de matéria orgânica, ocorre a reação de MO no solo, devendo ser feita a análise e a decomposição da matéria orgânica. O estudo de MO orgânica e a reação de matéria orgânica dentro dos grânulos depende da presença desses grânulos, o que esta condição da matéria orgânica de matéria orgânica é essencial. Porém, a reação de matéria orgânica de MO, a matéria orgânica é pouco conhecida, estudos dessa matéria orgânica podem contribuir para o melhor entendimento do papel da matéria orgânica e da matéria orgânica de MO e a matéria orgânica.

2 REVISÃO BIBLIOGRÁFICA

A MO é a dco da do solo, princia em e a qvés de deposa o de res_duos vegeas e a_zes, os qas sofre a a a o d á ua e dos m crora ns os deco_pos_ores. Pa re do a rlo no presen_e nos res_duos é l_ua do p a a a m osferi co_m CO₂ e o res_n_e p sa a á zer p re d MO co_m o m co_m ponen_e do solo. A d p c d de dea r a ze m en_o de a rlo no pe o solo depende do c_ua , ppo de solo l_ex_ua , m nea oca , vege_a o e m a ne o do solo. Aa ssoca_a o dos co_m pos_os org_n cos co_m os co_m ponen_es m nea sa u_m em a es_l_ua de d MOa deco_pos_a o m crora a , sendo o r_ive de pro_ea o m a ve co_m o ppo de solo e co_m a s p_ua s de m a ne o a do d s.

Es se a s de produ_a o a g_r_ua e m reg_ões tropi_a s do Bra_s é m po_ena p a de_e_r_ua r q a d de do solo, desde que con_e_r_p_e_r o cu_ua n_ens vo de p_m s co_m a a a d a o de res_duos vegeas e o d o revo m en_o do solo. As cond_ões c_ua_a s d reg_a o do Cera do Bra_s e ro, p a c_e_r_a d s por ocorrênc_a de es_a o chuvosa e e_m d s e_r_p_e_r_ua s, propor_ua m e em d sa_a s de deco_pos_a o d MO do solo, enq_m no que a ocorrênc_a de ongo per_odo de es_a ge_m m a a a d a o de res_duos a ongo do no. A m m en_e_a reg_a o do Cera do a presen_a s_e_r os pro_l_e_a s q a n_ua conser_a a o dos recursos p_ua s, sendo que q_m nde p re d a ra cu_ua d co_m p_a_a gens encon_a -se e_m a m na do processo de deg_a d a o e, p a s a ra s co_m a voua s, cu_ua d s no ve_a o l_e_s_a o chuvosa m ver f_a -se a pred_o_r_ua n_ua d m onocu_ua d so. Ass_m, p_ua s conser_a con_s_a s de m a ne o co_m o o p_m n_ua d re_o_a ssoca do a o uso de cu_ua s de col_e_r_ua e p_a_a gens l_e_m conduz d s nesa s reg_ões pode_m conduz r o solo p a a recuper_a o dos q_ores de MO e d a p c d de produ_a , l_e_m co_m p a a m e ho_a e preser_a a o d q a d dea m l_ua .

2.1 Matéria orgânica e agregação do solo

2.1.1 Agentes envolvidos na agregação

O aumento da matéria orgânica no solo resulta da agregação dos corpos finos e da formação de agregados, que constituem as unidades estruturais do solo. A estrutura corresponde à propriedade do solo que regula e reflete sua capacidade de poros interconectados de ar e água, a capacidade de reter e transmitir água e nutrientes para o crescimento e desenvolvimento das plantas (Gardner, 1984).

A reserva de nutrientes no solo pode ser realizada em agregados, porém, é a sua distribuição espacial a propriedade fundamental do solo, principalmente sua estrutura em uma perspectiva longitudinal. A estrutura do solo é uma consequência direta de numerosos fatores, incluindo sua distribuição espacial, conteúdo de MO do solo e nível de umidade. Portanto, a estrutura do solo representa a interação entre a estrutura e o conteúdo de CO no solo, representando a principal característica de formação e conservação do solo.

De acordo com Gardner (1982), a formação da estrutura do solo é um pré-requisito e o primeiro estágio na construção de uma estrutura agregada do solo. Após essa aproximação da matéria orgânica, a MO apresenta-se como um dos fatores de influência da estrutura do solo. Porém, é importante ressaltar que os solos difere na conservação e na capacidade de agregação e predomina a ação de agentes de formação e estruturação de agregados, sendo a MO do solo a principal diferença na agregação de alguns solos e outros (Chen et al., 2010).

Os agentes orgânicos envolvidos na estruturação de agregados podem ser divididos em três grupos, baseados na sua origem no solo: animais, físicos e químicos. Os agentes orgânicos animais são os decompositores primários e secundários, e incluem as raízes, resíduos vegetais e animais e a exsudação das plantas. Os agentes físicos derivam dos processos físicos (glacose e xose) e da ação

fora da ordem de crescimento $< 2 \mu_n$ de duração, número de sementes e pouco a feitura das plantas de néo. Esses crescimentos podem ser unidos entre si por compostos orgânicos e ou outros, pelo efeito de hábitats e condições e pela ação dos sistemas de cultivo, que são dependentes das plantas de néo. Menzou, 1974, resultando em crescimento de duração $> 2 \mu_n$.

A deposição de matéria orgânica e os produtos de sua decomposição no perfil do solo ocorrem de forma heterogênea a sítio, com a velocidade de crescimento da formação de crescimento e zonas específicas da superfície do solo. Quando foram exercidas as práticas, regiões entre essas zonas são escuras e as brancas e forma os pontos de queda onde o crescimento das raízes ocorre e o crescimento das raízes, e estes são os crescimentos. Quando os solos são solos ou solos, a conversão do cultivo solo para o convívio de néo a primeira fonte de matéria orgânica a ser utilizada é a matéria orgânica que do entre os crescimentos, sendo como resultado um decréscimo de velocidade de crescimento (E o 1984, um erro de 1988). Dessa forma, devido ao processo de crescimento, um contínuo suprimento de matéria orgânica a partir do MOP é requerido para a manutenção do solo e a longo do tempo.

O modo de duração da presença do porção e a 1974, a presença e que MOP, consistido por partes e resíduos de plantas, é necessária e com a população de crescimento de rizosfera e o efeito do solo se a desmorona os nutrientes, resultando na matéria orgânica orgânica e produtos do crescimento e crescimento no produzidos da superfície do MOP e decomposição. Durante o período de decomposição dos núcleos orgânicos, quando e essa matéria orgânica compõem as plantas os crescimento, os crescimentos presença a velocidade de produção e a produção os produzidos colheitas a partir dos nutrientes e a produção a formação. A velocidade de crescimento para MOP é, no entanto, um processo contínuo e a manutenção de um nível de formação é dependente da contínua duração de resíduos vegetais do solo. Devido a prática de decomposição e subsequente formação de núcleos orgânicos de crescimento das plantas do solo a velocidade de crescimento

deca da próxima de en e a es a propora o e que o a e a org n co é deca pos o. A deca da o de a cra greg dos processo a u ou a ce e do pe o revo v e n o do so o l e a cra greg dos que a o a s es ve s do que a cra greg dos, cons s n do a que es, e, nú eos org n cos encrus dos co a e a nora n co, sendo, por n o, deca pos os a s en e n e p ro eg dos d a p d deca pos a o que os nú eos org n cos de a cra greg dos. As f i ões a s a l e s dos nú eos org n cos, co a o a r l o d o s e p r o e d a s, a o deca pos a s, res n do a pe a s a s es ru u s a s res s e n e s, co a o que s r a s e n C a r o a c o e C a q u , o que d i n u a es l d de d e s s e a g r e g d o s, p o s a p r o d u a o d e e a l o s c r o l a n o s d e c a e d d e que os nú eos org n cos o r a n - s e a s r e a c a n e s o u a o co a p e a n e e o x d d o s. A p r o d u a o d e l o a s a v e g e a p r o d u a o d e e a l o s r e s u a n e s d e d e c a p o s a o d o s nú eos org n cos n e a g e n co a co n p o n e n e s n e a s, n a n d o - s e a s s i n , u n o v o e co n p e x o p r o c e s s o d e a g r e g a o.

Por s a v e z a es l d de d e a cra g r e g d o s a u e n co a o q u u d e a s s o c a a o d M O P co a o s n e a s d o s o o. E s s e p r o c e s s o é d e p e n d e n e d o p o d e s o o l e x u a e n e a o g a e, p r o n o v e a es l d de e a p r o e a o d M O n c o r p o a d e n t r o d o s a g r e g d o s l a s r o 1 9 7 2 x e a ., 2 0 0 2 ; a s s n , 1 9 7 7. N a f o r m a a o e es l a a o d e a cra g r e g d o s, u a s f o r m a s d e g r a o o c o r r e n c o n c o a n e n e e a a d s o r a o d e a e a o r g n c o a s s u p e r f c e s r e a s d o s a r g o n e a s é u n p o n e n e e n s n o d e g r a o d s p r c u a s d e s o o. A s a c r o n o e c u a s h ú a s a p r e s e n u a q u n d e q u n d e d e d e c o n c e n t r a o d e g r u p o s f u n c o a s q u e n e a g e n d e f o r m a d s n o c o a s u p e r f c e n e a a a v e s d e n e a ões e e r o s a s, p o n e s d e a c o n s p o u e n e s, c o o r d e a a o, p o n e s d e h d r o g e n o o u f o r a s d e a n d e a s I s d Q d e s, 1 9 8 2 ; C o r n e o e r n o s n, 1 9 9 5 a y e r M e n c z u , 1 9 9 9.

2.1.2 Efe o dos s e a s de uso e a n e o do so o a a g r e g a o

A n p o n a d o s s e a p a n o d r e o e n a n e r o u a u e n a es l d de d o s a g r e g d o s a u e n d o a l d de d o s o e n s e q u e s a r a r l o n o, co a p a d o a s p a s d e p r e p a r o c o n v e n c o a e n s d o v e r f a d

Em a utilização, com o uso de rotação de passagens de
 água com a vau de solo, com o uso de dosagem de rotação,
 (Lúcio, 2009), o sistema a um expressivo no teor de MO do solo,
 a sendo de 10% que se 40 g g⁻¹ de matéria orgânica, no período de
 a passagens. Os principais benefícios de utilização de rotação de
 passagens a a e hora de ferida de, da vida de longa e as
 propriedades físicas do solo, recuperação das eficiência de nutrientes, controle
 de pragas e doenças, e hora de a de disponibilidade de
 a passagens durante a estação, conservação das efeitos do solo e a

2.1. Efeito do tipo de solo na gregagem e na esculptação da área orgânica

A gregagem é influenciada principalmente pelo CO do solo, logo, as condições de matéria orgânica (Bronck *et al.*, 2000). Essas condições de formação dependem da cordo com o tipo de solo, soltura e esculptação de da gregagem. O CO do solo atua com o agente orgânico e com o núcleo de formação da gregagem. As propriedades químicas do CO de matéria orgânica e a capacidade de decomposição e influência das condições de decomposição no solo, que têm efeito direto sobre a gregagem (Chun e Leininger, 2000). A matéria orgânica e seus produtos orgânicos contribuem para o desenvolvimento da estrutura do solo, que exerce significativa influência sobre a gregagem do CO. O tempo de residência da matéria orgânica de decomposição do CO é a chave influenciadora da eficiência da matéria orgânica e os seus efeitos no solo. Outros fatores como forma, posição e distribuição orgânica. A matéria orgânica é a matéria orgânica gregagem, sendo a distribuição orgânica e influenciadora da decomposição do CO (Bronck *et al.*, 2000).

A estrutura do solo influencia significativamente sobre a gregagem. Em solos de textura grossa, o CO exerce influência da estrutura, com a do solo de textura fina. Por outro lado, em solos com e sem teor de matéria orgânica diversa de matéria orgânica, com a influência por diferentes proporções de matéria orgânica, óxidos de alumínio (Al) e de ferro (Fe) (Heath e Goehring, 1988; Ferreira *et al.*, 1999; Lindqvist *et al.*, 2000), exerce influência e efeitos importantes do que a quantidade de matéria orgânica de matéria orgânica de gregagem de solo e a esculptação do MO. Percival *et al.* (2000), investigando relações entre CO do solo e propriedades de solo que podem influenciar o conteúdo de matéria orgânica longo prazo, em uma área de decomposição de condições climáticas e solos de diferentes matéria orgânica, a matéria orgânica por si só não é a matéria orgânica, concluiu que o teor de matéria orgânica é o fator preponderante, enquanto que a esculptação química por condições oxidantes é o processo chave no conteúdo de matéria orgânica do solo.

Matéria orgânica influencia propriedades que afetam a gregagem a superfície específica (SA), a capacidade de troca de cátions

(CTO), densidade da rede, dispersão de expansão. Essas, por sua vez, afetam a taxa de decomposição do CO do solo. A decomposição da matéria orgânica da rede interfere com o grau de desenvolvimento do solo. Argilas de alta atividade com o alumínio e boro são freqüentemente presentes em Argissolos e Luossolos, enquanto que as argilas de alta atividade com o alumínio são presentes em ~~Argissolos~~ Argissolos com a presença de cristais, ou pseudo-cristais com estrutura amorfa. Argilas de alta atividade, cristais e pseudo-cristais com o alumínio (1:1), são as CTC e AEC, o que tende resultar em menor estabilidade de agregados, com a presença de argilas de alta atividade e expansivas com o alumínio são escassas. No entanto, a presença de uma camada de foculação da superfície para a formação de agregados e a rede são as principais características da rede e as redes negativas no corpo do cristal (Dixon, 1982; Ponscheringer, 2002). Evidências da camada de foculação da superfície foram reportadas por Bühmann et al. (1997) que observou que agregados de argila são formados por forças de superfície e agregados do que de alumínio.

O decréscimo da estrutura do solo é visto com a formação de degradação do alumínio e é freqüentemente a causa do porphyris de degradação de matéria orgânica do solo. Porém, a partir do ponto de vista de estar sendo a rede em agregado e a rede são as principais características, pouco se sabe sobre o seu efeito na agregação do solo e sua relação com a estrutura do solo e a rede de Luossolos e Argissolos e óxidos de Fe e Al, por exemplo do solo, e com a rede orgânica, a rede com a influência da rede de MO do solo (Eberhard, 1997).

Ao investigar o efeito do ponto de vista dos Luossolos Buss e os (Basso Fundo-RS e Londrina-PR), Zare et al. (2000) observou a influência no número de agregados estáveis e a nuvem de agregados de MO no ponto de vista com a rede de preparo convencional de matéria orgânica e a rede de solos. No entanto, a concentração de alumínio foi similar entre as redes de agregado de agregados, o que, segundo os autores, é o suficiente para a rede de agregados e os solos. Os autores sugerem que o conteúdo de MO foi suficiente para reduzir o desenvolvimento do solo, mas que MO desempenha um papel secundário na formação de agregados e solos dos porphyris de argila de alta atividade (1:1) e óxidos, devendo, provavelmente, ser

a grea dos primarios, e as estruturas e locais secundarios da grea dos, ou a grea dos secundarios. A presenca de la grea dos é importante para a estrutura do MO e a osso os *Journal of Applied Earth System Science*, 1993, 101, 1-10. *Journal of Applied Earth System Science*, 1993, 101, 1-10. A fra que a estrutura do de a rono e os solos tropicais é a grea dos e as vezes consisdo de a grea orgnico e a nea do so o. Dev do a o do dos componentes a nea do e a re a a ndo so d a en e no so a creda-se a ver nfuênc a MO a la grea grea o, a ss a co nos so os polres e óx dos. Roscoe e a . (2000) propuser a a a a o de a e de a a nho en re la grea grea dos e la grea grea dos de 1,2 a a a 1,00 a a a osso os, porê m, es que a o necessa ser a e hor nves d e represen a u de a fo a a a pesqu a e a a né o de so os.

Para a estrutura de a so os do a dos para rg o a nea s 1:1 e óx dos é nduz d pa a a ca de de a o en re óx dos e a nea s 1:1, a a vés de nea ões e e ros a a s, dev do a s a na ex sênc a de a r a s pos a s e nea a s e a p de a a po a s d a des, 1982, a des a ers, 1991). Adsora o de grupos orgnicos a rreg dos nea a en e (grupos a rrox cos d ssoc dos) pode ocorrer a a vés d su s a a o de grupos h drox cos de superf ce (roa de a nes). A forma a o de co mpexos org no a nea s a a vés d a dsora o de a nons orgnicos por nea a o e e ros a a superf ce dos óx dos a rreg dos pos a a en e, a vez se o a s a ro ex a p o de u a nea a o que a u en a a estrutura de a MO e a grea dos co ns e a ., 1991. Re ões de superf ce a o a u a d s pe o ne a per s a o qu a co de s a os que a a ons ferro e a u n o, os qu a s prec a a a forma de óx dos e h drox dos, reco r ndo a superf ce de a nea s. Depós os de óx dos de Fe e a a s de a u na a a é a fo a o l s e r dos por a a a (1981). Para a s a nea s d a a o grosse a a a é a pode a ser reco l e a s por óx dos de ferro, o que a u en a a a a superf ce d s a r a a s, o r ndo a s efe a s a dsora o de MO a ns a e a ., 1990). Todos es es processos a o, prox ve a en e, responsa ves pa a a estrutura de a grea dos e so os r cos e óx dos, conf r a ndo o a po a n e a pe dos óx dos a a grea a o desses so os (a des e a ., 1983).

A é a d qu a n d de, o qu u de cr a n d de dos óx dos de Fe é a or prepondera n e a estrutura de a grea dos. nd a un or e a . (2007)

encontra-se a reação dos óxidos de Fe de baixa cristalinidade (FeO) com a estrutura de de hidratos, o que pode ser relacionado com a A E desses óxidos pouco cristalinos e, portanto, com as formas cristalinas menos reativas (Chapman, 1988). Esses resultados são coerentes com resultados obtidos por outras autores que têm verificado que óxidos de Fe pouco cristalinos e as reações que não foram a o e estrutura de hidratos no solo e, portanto, com as formas cristalinas (Baker et al., 1998; Durr et al., 2001). Entre os óxidos de Fe cristalinos, a goethita é reconhecida como a única que apresenta, normalmente, menor área de superfície e a reação de grupos funcionais na superfície do que a hematita (Meyer et al., 2001; Ndunira et al., 2001), sendo a goethita a responsável pela estrutura de hidratos do que a hematita (Ferreira et al., 1999; ~~prncipal~~, 2001; Ndunira et al., 2007).

Mineralogia e a carga elétrica dos poros de ferro com a estrutura de hidratos e a glaucaolita exercem influência sobre a formação e estrutura de hidratos e, portanto, com a estrutura de hidratos e, portanto, com a glaucaolita (Ferreira et al., 1999; ~~prncipal~~, 2001; Ndunira et al., 2007).

2.1.4 Projeção da estrutura orgânica e hidratos de solo

A da estrutura de MO no solo é relacionada com a estrutura e com a estrutura de do solo e, portanto, com a estrutura de MO (X et al., 2002). A estrutura de MO é resultado do efeito negativo de três fatores: reação química, projeção química e projeção física.

A reação química compreende a estrutura dos subsistemas orgânicos (veja a estrutura química de do resíduo). Os resíduos são compostos de uma complexa estrutura de componentes orgânicos, principalmente de polímeros (celulose, hemicelulose e amido), glicídios, proteínas, polifenóis, ceras, sulfonatos, ácidos orgânicos. Alguns desses compostos são considerados menos biodegradáveis devido à sua complexa estrutura (Luzo et al., 2001) e a reação química desses componentes é a reação entre espécies de grupos funcionais (Löger et al., 2002). A projeção química é dependente da estrutura e do resultado das reações químicas ou físico-químicas entre componentes orgânicos e

na presença do solo, o que a leva a uma degradação ou síntese de novos compostos orgânicos. A produção física refere-se ao tamanho do substrato no interior da grade dos, quando uma barra física decompõe os microrganismos (1974).

Conseqüentemente, a frequência que é dada em função de produção e existência de processos ou átomos que controlam a taxa de estruturação do MO. Os átomos que controlam a velocidade de reação do MO não são a mesma coisa que os átomos que controlam a velocidade do MO, devendo ser avaliada a preservação e existência dos compostos das reações em microrganismos. Diferentes tipos de solo, textura e natureza da presença de substrato diferenciam a natureza superficial específica da produção de produtos, apresentando diferenças de produção de desordem e estruturação MO (reestruturação), segundo a ss n (1977), o equilíbrio social dos compostos orgânicos é que a produção é planejado e essa produção é proporcional ao teor de superfície do solo.

Em um Artigo do Roldão de Deus, De Oliveira (1976) observou que a taxa de crescimento e os resultados de MOP com os restos de plantas e fungos, o que é coerente com os resultados de Lang e Tessen (1978), os quais afirmam que os microrganismos de estruturação do MO em um processo de sequestração de Perla Lúcio, solo vegetal o qual. A análise dos conteúdos de carbono das fitas, se a produção, observou que a produção do carbono do solo estrutural social do crescimento e, o que sugere que o material orgânico estrutural é planejado e a cessiva dos microrganismos é a grande força.

Em solos arenosos, a produção de partículas primárias resulta em presença de partículas e uma distribuição de poros de maior diâmetro, o que é a causa da estruturação do MO. O tamanho das partículas orgânicas do oxigênio das partículas, a estruturação de dosagem grade dos é dependente da continuidade de resíduos vegetais e da velocidade de estruturação. Portanto, em solos arenosos é difícil manter os níveis de MO, devendo a produção de cessiva de dosagem de MO. Por outro lado, com a velocidade do teor de produção, especificamente em solos ricos em Fe e Al a produção de poros de menor tamanho encontrados em poros pequenos a produção MO pode ser avaliada em termos, principalmente em termos de produção de produção

que a projeção da decoração posada o pe os crorg n s, os e con, rlu da a or
es, l, a a o d MO nesses so os. Chenu (2002) de, ons, a a, que
1º de poros d de e, u, so o a renoso e 2º e, u, so o a rg oso é
a cess, ve a os crorg n s, os, dev do a o d a, ero dos poros ser, enor do
que 2 μ.

Os en, en, s, os de g, a o, respo, a ve s pe, ncorpo, a o d MO
e, a greg dos e su, pro, e, a o con, a, crorg n s, os deco, r, pos, o, res, d fere, n, ,
dependendo d a, ure, a do, n, en, e do co, n, pos, o org n co, o o sa, a, n, en, e
n, e, n, per, a dos co, n, uns e, n, reg ões r, rop, a s e su, l, rop, a s, r cos e, n, n, en, s
1:1 e óx dos, a presen, a, r, a de superf, ce a, a ve e, a sora o de grupos
org n cos a rreg dos neg, a, n, en, e é á vorec, d por r, ro, a de g, n, es
su, s, u, a o de superf, ce por h, drox, a s, enq, n, o que e, n, so os de reg ões
de c, a, e, n, per, do, do, n, a dos por, n, n, en, s 2:1, co, n, pred, o, n, de a r, a
neg, a, n, per, a n, en, e, a sora o de grupos org n cos a rreg dos neg, a, n, en, e
pode ocorrer a, a vés de pon, es de a, ons. Ou, ros en, en, s, os de g, a o
envo v dos a sora o e que ocorre, n, s, u, a, n, a, n, en, e ncue, n, a, a, a o
e e, ros, a, a, pon, e de a, g, a, pon, e de h, drogên o e for, a s de a, n, d, e, s
Ayer e Menczu (2003).

A es, ru, u, do so o de, e, n, a, a s r, ro, a s g, so, a sa d spon, l, d de de
su, s, a, os e, a g, a e o a, nspor, e de so u, os, sendo, des, a for, a, respo, a ve
pe, a rreg, a o d a, v, d de dos deco, r, pos, o, res no so o (Chr s, en, sen, 2001). A
a cess, l, d de d MO do so o a, n, cro, l, o, a, es, a r, e, a, co, d, a, a su, pos, a o
den, ro d a, r, z do so o, conduz ndo a co, n, a r, n, en, os d feren, es e, n,
es, l, d de e d, a, n, a L och n e, a, ., (2004, 2004). No n, eror de
a greg dos, a s r, e, ões es, ru, u, s fornece, n, u, a, a, a o no a, a, a, a o
a, a que n, cro, l, a no, sendo, por, n, o, a d, a, n, a d MO no so o, a fere, d por
d feren, es q, u, s de pro, e, a o a deco, r, pos, a o, propor, co, a dos pe, a
org n, a, a o es, a, d es, ru, u, do so o.

O q, u, u de pro, e, a o f, s, a, a, co, n, a s p, a, e s de uso e, a, n, e o do
so o. Q, u, ndo u, n, s, e, a, a, u, a, é a, e, n, do pe o revo, l, en, o do so o, a MO
n, a, n, en, e per, d, é a MO o, a, a, d, en, re, n, cro, greg dos, for, a dos e
es, l, d de e d, a, n, a (E o, 2008) resu, a, ndo a expos, a o de
MO n, eror, n, en, e a cess, ve, o, l, a, a, g, e, n, a, a, s de 40º d MO do
so o pode es, r o, a, d, en, re, n, cro, greg dos (G r, er, 2004), o que pode

Justificar o rápido decréscimo na MO quando esses separam a oca dos peo revolvendo do solo. O revolvimento frequente do solo provoca rompimento e perda de estrutura de dosagem dos, com perda de MO para a superfície, com o ar dos poros, protegida dentro dos agregados por occlusão.

A MO necessária aos agregados é renovada sempre o cultivo do quebra MO ocorre durante agregados formando agregados, pois é a proteção física em e (x e a., 1983; x e a., 2001). Koch e a. (1984) propuseram que quando as partes frescos de plantas a oca do solo, induzem a formação de agregados porque essa é a produção de genes e genes por serem uma fonte de carbono a vida de microrganismos. Durante a decomposição, esses organismos de plantas orgânicas se degradam e encrustados com partículas de argila e com produtos microrganismos, formando o núcleo de agregados e a estrutura, os quais são incorporados dentro de agregados (x e a., 1983; Beyer e a., 2001, 2002). Entretanto, a estrutura do núcleo orgânico é consumida a produção de genes e genes diminui e o seu uso como substrato conduz a perda de estrutura de dosagem dos agregados, os quais degradam-se em agregados e produtos microrganismos processados. A MO necessária aos agregados (ocorre durante agregados) para manter processado orgânico e é decomposta para a perda de do que MO protegida dentro dos agregados (x e a., 1983). Os agregados são produzidos pelo rompimento dos agregados seio, provavelmente, no próximo ciclo de formação, incorporados em novos agregados, e estes, a sercos em carbono orgânico. Gdes, 1982; x e a., 1983.

Se as de não envolvendo e exatidão de MO e o rápido revolvimento do solo com o separam não direto, propõem o aumento de estrutura de dosagem dos com a separação separam convencionais de não (Gripeneo Menci, 1979; Beyer e a., 1984; Gdes e a., 1983; Beyer e a., 1987; Gdes e a., 1983; x e a., 2001), favorecendo o aumento dos estoques de carbono por proteger física em MO ocorre no interior de agregados do solo (Gdes e a., 1983; x e a., 2001) de decomposição microrganismos de disponibilidade de O₂ para os processos oxidativos de decomposição (Beyer e a., 2001; Beyer e a., 2001).

Nesse sentido, o uso do sistema panóptico de monitoramento do ser eficiente para recuperação dos reos de MO do solo (Gardner, 1992; Barre et al., 1994; Bayer, 1995; Xie et al., 1999; Louro, 2000), principalmente quando utilizadas rotas com equinosses visando os benefícios da porção de Na⁺ do osferco (Araújo Menczu, 1997; De Oliveira et al., 2000). Conseqüentemente, o sistema panóptico pode representar um importante potencial para reter e estimular fixações de MO no solo, por um período de tempo, representando um significativo benefício ambiental por contribuir para a redução da concentração de CO₂ atmosférico.

Adicionalmente, o sistema panóptico de redução de passagens químicas presentes quando da aplicação de decaurina e a niteros ríves de MO no solo (Lourou, 2000). A importância das raízes, principalmente de gramíneas, para formação de agregados estáveis e do reconhecimento da qualidade do solo (Gardner, 1973), são sempre reconhecidas nos estudos dos Laje et al., 2000; Winder e Yang, 2000 e reafirmado a importância das raízes para a formação de agregados (Menczu 1997, 1998; Louro, 2000) e a estimulação de MO associada aos agregados. Na presença de raízes em crescimento, a agregação dos solos pode ocorrer-se a estimulação dos diversos processos biológicos e físicos induzidos pela penetração das raízes nessas agregados (Xie et al., 2000). Dessa forma, a estimulação de decaurina é a maior e so do rizofera (Lourou, 2000), a que hospeda uma grande população de organismos que contribuem para a manutenção da agregação e do CO no solo, devendo ser zodeposado, densidade, principalmente, da redução de decaurina e a geração de raízes e crescimento de háis fungos (Laje et al., 1997).

Com isso, (Laje et al., 1997) estudando o comportamento de diferenças sistêmicas de a néo com o fonte ou depósito de a rônio em relação a vegetação de Cerrado no Distrito Federal, concluiu que a cultura de a rônio foi maior nos sistemas semi-permanentes do solo panóptico, a passagem química e a passagem de eua p. o. Isso ocorreu, provavelmente, devido ao aumento de ocupação de MO em agregados, que é favorecido quando esruu de solos é preservado. Pnheiro et al. (2004) o reafirmou separação das fixações orgânicas e so do R⁺, o sistema háeres quando des de MOP vire e no niteros decaurina dos solos vegetação

O flocagem em ovelhas do ano seguinte de produção separa as flocos com diferenças de idade e tempo de permanência no solo. Os resíduos vegetais da ração e decompostos são recuperados da flocagem de ano a seguir (Meyer, 1987), enquanto que os materiais orgânicos são húmidos, orvidados e transformados em croquetes, são encontrados das flocos de ano seguinte e armazenados (Chrisensen, 1987).

A utilização de técnicas de flocagem em densidade com perdas e estudo da relação entre a composição do MO e sua utilização e estudo do solo e nutrição com a flocagem, base do diferencial de densidade de entre as flocos orgânicas e inorgânicas, que formando diferenças flocos orgânicos: (1) a MOP vive o ano seguinte em áreas gregas do (Flocagem Leve Livre - FLL), (2) a MOP ocupa no próximo ano gregas do (Flocagem Leve Ocupada - FLO) e (3) a MOP associada aos inorgânicos (Flocagem Pesada - FP) (Gibberda e outros, 1987; e estudo de, 1987; a ss n e, 1987; Chrisensen, 2001; Joh e, 2001; Frexo e, 2002). A FLL é separada e armazenada para o ano seguinte quando de densidade conhecida se há o rompimento das gregas, enquanto que a FLO é separada após a dispersão, normalmente com uso de máquina que realiza a flocagem protegida fisicamente no próximo ano das gregas separadas FP, correspondência o material mais denso do que o solo utilizado para separar as flocos, equívoco o rompimento associado aos COM de ano seguinte (Roscoe Machado, 2002).

A FLL representa o material orgânico disponível, de origem recente e mais biodegradável, externo às gregas, com a produção de resíduos vegetais frescos ou da ração e decompostos e croquetes, com a utilização do CN. A decomposição do MO contém nessas flocos é controlada principalmente pela reação do material a decompor o solo (Co ns e, 1987), enquanto que a incorporação do MO no próximo ano das gregas de solo protegida e a produção de decomposição e é um dos determinantes de estudo de FLO e solos (Lochner, 1984; 1984). A utilização do MO no próximo ano das gregas pode ser disponibilizada para os organismos decompositores (Chrisensen, 2001). Isso ocorre porque, no próximo ano das gregas a difusão de água e ou nutrientes pode ser dificultada, restringindo o acesso de organismos, assim como de enzimas (Co ns e, 1987; a ss n e, 1987). A FLO representa

um grupo do conjunto de compostos orgânicos, cuja quantidade reduzida e grau de decomposição são a base da escala de FLL. Essas duas funções orgânicas presentes diferenciam as exposições da matriz do solo e a sua suscetibilidade de decomposição, a qual conduz a diferenças de estabilidade da matéria orgânica. A FP é composta por matéria orgânica em decomposição e exerce grande influência na velocidade de fiscoquímica de solos. Por essa razão, todos os mecanismos de produção envolvidos na estabilidade da FP é considerada a sua estabilidade das funções orgânicas (Christensen, 1992), cuja quantidade de decomposição é um fator importante (Christensen, 1997). Segundo Freixo et al. (2002), a FP do MO do solo contida com cerca de 7% a 8% do carbono orgânico do solo (C_{org} do solo), sendo que em solos cujos níveis de estabilidade da FP são maiores, passando a representar mais de 20% do MO do solo. Esses resultados comprovam a importância da estabilidade da FP em solos agrícolas.

Significativas diferenças quanto à estabilidade do MO induzidas pelo uso do solo podem ocorrer, principalmente, nos compostos orgânicos da estabilidade do MO, os quais, com o aumento da decomposição, vão sendo eliminados da matriz orgânica e a quantidade dos compostos orgânicos da estabilidade do MO do solo (Christensen et al., 1994). A FLL é a estabilidade e a ciclicidade de compostos orgânicos, sendo, portanto, uma importante fonte de nutrientes e um sensível indicador de qualidade do solo (Gardner e Oades, 1992; Barden, 1993; Xie et al., 1998, 2000; Freixo et al., 2002; Pinheiro et al., 2004) e, consequentemente, é a influência da presença dos cujos da matéria orgânica. Freixo et al. (2002) avaliaram as diferenças produzidas de estabilidade do solo conciliando que a FLL é um indicador das diferenças do MO do solo induzidas pelo uso do solo.

Xie et al. (1998) observaram grande diferença da FLL entre a agricultura e os solos cujos da agricultura, preparo convencional e não direcionado e pequena diferença entre esses sistemas, sugerindo que a FLL é influenciada, principalmente, pela quantidade de resíduos e pelas condições de manejo e uso do solo. Essa influência foi relatada por Roscoe e Buurman (2000), os quais verificaram significativa decréscimo da FLL após conversão do Cerrado (18°) para solo cujos da agricultura, preparo convencional (6°) e não direcionado (4°). Esse decréscimo foi atribuído à redução no suprimento de resíduos orgânicos da agricultura de decomposição

desa forma o, so a do ca o po, enca da deco, pos, a o d MO nesse so o, confr, a ndoa ma or sens l d de d FLLa o ma ne o, a que d o o, s e m a m d ferena d FLO en, re a a m, en, os, co, n u, a m a a o des, a dea pe a s 1a 2º do CO, ca .

Qu n, ca FLO, e x e, a . (1998) a fra m, que esa fra o é perd d sol, prea ro convenc oã dev do a o frequen, e revolv, en, o do so o e a consequen, e expos a o des, a fra o a deco, pos, a o. Poré, m, sol, na n, o d re, o a MO é proteg d no n, er or dea greg dos por u, n per, odo ma or de e, n po, po sa a a de for, a a o deg, d a o dosa greg dos é ma s en, e n, na n, o d re, o do que e, n prea ro convenc oã .

A d m, a d ma eã org nã e, n sã s fra ões, a é, n de ser a eã d pe o ma ne o, a m, l é, n sofrea eã ões dea cordo co, n o po de so o. E, n so os de ex, uã a renoa a ma cra greg a o pode ser o princ, a a or de esa l, a a o d MO, enqa n, o que e, n so oã rg osos rcos e, n óx dos, ocorre for, a a o de m, cra greg dosa a m, en, e esa ve s, onde qu nde a r, e d MO pode ser proteg d f sã m, en, e e, n oã s a cess, ve sa os m, crora n s, n os. a , Roscoe e, a . (2004) conside, m, que o processo de ocuã o de MO e, n es, ru, uã for, e qu nã r de so os rcos e, n óx dos, conduz a n, enã a nsfor, a a o do ma eã org nã co dev do a o en, o processo de for, a a o de a greg dosa cu, nã ndo ma eã org nã co qu m, a m, en, e esa ve .

D vers s eã cã s e proced, m, en, os de d a cer, a a o do ma eã org nã co eã s doã p d d sa s fra ões f sã s, vã ndo o, e hor en, end, m, en, o d d m, a d MO no so o. Aã vés de eã cã s espec, roscopa s co, n o espec, roscopa de nã ver, e ho e ressoã nã ma gné, a nuc, a r de ^{13}C é poss, veã a a a presena e concenã a o de es, ru, uã s presen, es d MO ou d s fra ões d MO, sendo queã s sã s d ferena s co, n pos, coã s a o uã d s ma descrever a s aã ões queã MO sofre duã n, e o processo de deco, pos, a oã a r, r do m, en, en, o e, n que enã no so o, é ncorpoã d e, n a greg dos e even, m, en, e ncorpoã d a l oã sa m, crola d e m, eã l oã os a ssocã dosa os m, nã s (Loch n eã ., 1994; e, n s eã ., 1994).

2.1. Natureza e composição da matéria orgânica do solo

Resíduos de plantas e animais são fontes de matéria orgânica do solo. O carbono nesses resíduos está presente em uma ampla variedade de substâncias, de matéria orgânica complexa em decomposição a compostos simples da rede celular. Esses compostos são denominados e a função do estágio de transformação do MO no solo (Zech *et al.*, 1997).

A natureza química do MO do solo é altamente variável e depende da origem, pouco entendida. No entanto, a maioria dos materiais orgânicos presentes no solo são compostos de carbono e hidrogênio, com ou sem oxigênio e nitrogênio. A natureza química dos principais grupos orgânicos presentes na matéria orgânica é heterogênea para o solo.

A distribuição de compostos orgânicos vegetais associados aos solos é descrita por Lochner *et al.*, 1994; Bockheim *et al.*, 1997; e Sarda *et al.*, 1997. No entanto, para um número limitado de estudos, pode-se dizer que a composição química da matéria orgânica do solo é diversa, com resíduos incorporados ao solo.

Alguns dos principais grupos de moléculas orgânicas encontrados no solo são os ácidos. Exemplos são aqueles de que os ácidos são constituídos em relação ao MO do solo e os produtos microbianos são os principais constituintes desse material. Os ácidos podem ser divididos em três subclasses: ácidos orgânicos, ácidos orgânicos e polissacarídeos, cujas estruturas são de formas simples, constituídas por cadeias lineares, a formas complexas dos grupos de compostos. A principal importância dos ácidos no solo está relacionada à liberação de compostos orgânicos de polissacarídeos se relacionados às estruturas orgânicas, formando a grande maioria das espécies, e a concentração dos compostos Fe e Al, formando compostos orgânicos e disponibilizando nutrientes como o P para o desenvolvimento das plantas. Outras propriedades do solo influenciadas por polissacarídeos incluem a capacidade de reter água e a presença de grupos COOH, reações de adsorção de cátions, a presença de grupos NH₂ e a liberação de fontes de energia para os organismos (Evenson, 1994). A estrutura dos polissacarídeos pode estar associada com a liberação de vários outros compostos orgânicos, formação de substâncias ou de compostos orgânicos.

de compostos em essa dsora o ena rg o, nea s e superf_ces de óx dos e pe
pro_ea o f_sa qn do e es ocorre, den,ro de m_croporos dea greg dos do
so o (Levenson, 1994).

A co_mpos_a o n_a d MOP vre no so o é a a_cer_a d pe o_a o
con_eúdo de po_s_a r_deos, p_a m_e encon_a do e, res_duos de p_a m_s
fres_a s e ec_dos m_croa nos e u_a a_a o C N en,re 12-4%. Co_m o_a n o no
processo de deco_mpos_a o, os co_mponen_s_a s qu_m a m_e d_c m_e
l_dsporve s) a_s co_m o a r_l_o d_o os e m_a e_a pro_ea ceo a o
preferen_a m_e u_a a dos, A a_a o C N decresce a 12 ou m_enos e o
a_a n_ho dde a r_cua d_m nu_p_a 2a 2% m_m B doc (Levenson, 1994).
Pesqu_a s efe_u_d s e m_a e_a s, a_n_o de ec_do vege_a qn_o de so o, co_m
a urea dferen_a d, e_m de_mons_a do quea qn_d de rea_a de C O
a qu d_m nu_a m edd quea de Ca qu a u_m eno du_m nea l_odeg_d a o,
prnc_p m_e p_s á ses n_a s d deco_mpos_a o (Lochn_e_a., 1994;
1994; 1994; P on, 1994).

E_m ge_a, a qn_d de de co_mponen_s_a ro_a cos per_a nece
cons_n_e ou m_a n_e m_enden_a s p_a ve s. (öge - a_l_ner (1992) e_m
pesqu_a do so_m rea es_r_u_u_m qu_m a dos res_duos org_nicos e_a gu_a s d s
a_e_a ões que ocorre, dev_do a s_a deco_mpos_a o e conf_r_a que a
deco_mpos_a o d s p_a m_s envove perd_n_a de a r_l_o d_o os (ce_u_ose e
he_m ce_u_ose), segu_d pe_m a nsfor_a_a o de es_r_u_u_m s_a ro_a a s d s
m_oécua s de gn_d. B doc e_a. (1992) us_f_d m que o_a u_m eno e_m C
a ro_a co_ea qu du_m ne os es_gos n_a s de deco_mpos_a o pode_a ser
exp_do pe_u_a a o se_e_u de C O_a qu der_u do d s p_a m_s. ru_e_a.
(1994) a fr_a m, no em_n_o, que co_m o_a u_m eno d deco_mpos_a o, a s
es_r_u_u_m s a s es_u_e s qu_m a m_e, a s co_m o gn_d e p_deos, pode_m ser
deg_d d s. M_a usen_a de pro_ea o f_sa, s_a s a_a s de ca ge_m
depende_m d d_spon_l_d de de m_croa nos, os deco_mpos_ores
a deq_d dos, l_e_m co_m o de cond ões a m_l_em_s a deq_d d s p_a a
deco_mpos_a o, d_spon_l_d de de ox_gên_o. Du_m nea l_odeg_d a o a
gn_d sofre u_m processo de nsfor_a_a o ox_d_u qn_d a que nroduz
grupos a r_l_o_x cos a m_oécua (öge - a_l_ner, 1992).

O m_o org_do d co_m l_u_s_o de m_a e_a org_nico, é cons_do do
a es_r_u_u_m m_a s rea_cã_n_e do CO do so o, dev_do a seua o qn_u de

a rotação de ees, ruínas químicas e condensados (Liu et al., 2007), sendo um consenso importante da literatura de que os psicólogos (Liu et al., 2008). E o mesmo, (Liu et al., 2010) estabelece que a evolução do sistema de controle orgânico de que a de vegetação. O conteúdo do conteúdo de a rotação de ees, ruínas, foi definido pelo método de RMN ¹³C, indicando que a única forma de a rotação que sobrevive ao processo de decomposição por períodos de tempo é o sistema ou formas geológicas de a rotação.

No que diz respeito às funções densitométricas separadas dos componentes orgânicos perfluorados e para a sua de ees, ruínas químicas e diferentes e es, ruínas, com as de ees, ruínas associadas com a decomposição e a de ees, ruínas de MO no solo. Em geral, a de ees, ruínas orgânica de funções densitométricas em solos é a pronúncia de ees, ruínas ees do que a de ees, ruínas. A rotação orgânica produzida no interior dos grupos (ELO), não a de ees, ruínas presente no conteúdo de Ca e Ca rotação e menor conteúdo de Ca do que FLL (Liu et al., 2004, 2004, 2007), indicando o aumento da decomposição. A FP consiste de ees, ruínas construídas de produtos do sistema de controle que não geram a de ees, ruínas (Bardot et al., 2007, Liu et al., 2007, e Frich et al., 2007) e, portanto, a presença de ees, ruínas de ees, ruínas decorrenças de ees, ruínas de solo. Essa conclusão é suportada pela observação que a rotação dos sistemas de controle de ees, ruínas cujas se a de ees, ruínas de MO do solo (Luggenberger et al., 2004).

3 HIPÓTESES E OBJETIVOS GERAIS

3.1 Hipóteses

Para a hipótese de que a geração de energia elétrica é gerada a partir da geração de energia elétrica.

e-115.616(oa-41.3449p)-10.6383(ã)2.80892(e)2.80762c oa-41.3449neg-9.23449(u)2

4 MATERIAL E MÉTODOS GERAL

4.1 Descrição das experiências

A pesquisa foi conduzida a partir de três experiências de longa duração realizadas no Região Centro-Oeste do Brasil. As três experiências foram conduzidas no Estado do Mato Grosso do Sul, nos municípios de Dourados, Maracaju e Campo Grande e pertencem às instituições de pesquisa Embrapa Agropecuária Oeste, Fundação Mato Grosso do Sul e Embrapa Algodão de Cordeiro, respectivamente.

O experimento de Dourados foi instalado em 1977 em um latossolo arenoso eutrófico, referenciado como (Embrapa, 1979), de textura argila (410 g g^{-1} de argila, 210 g g^{-1} de silte e 100 g g^{-1} de areia), derivado de basalto. O gramíneo possui vegetação de cerrado (cerveja do mato), constituída por gramíneas do gênero *Brachiaria* e rúscos dispersos unformentemente da pastagem. Essa vegetação pertenceu a 1977, quando o solo passou a ser convencionado e cultivado para a produção de grãos de arroz, soja e milho, sendo a dose de ureia aplicada de 100 kg ha⁻¹ e as condições de manejo são as usuais do experimento.

O experimento de Maracaju foi instalado em um latossolo arenoso eutrófico, referenciado como (Embrapa, 1979) da mesma experiência da Fundação Mato Grosso do Sul, no ano de 1977. O solo apresenta textura argila (440 g g^{-1} de argila, 100 g g^{-1} de silte, e 270 g g^{-1} de areia), derivado de basalto. A experimentação foi realizada somente com vegetação de cerrado, sendo a mesma convencionada e manejada por um ano com cultivo de arroz. Em dezembro de 1972 foi realizada a correção da acidez e fertilidade do solo, mediante aplicação de 4 Mg ha^{-1} de cálcio do óxido e incorporação do solo com as doses e condições usuais e de 400 g ha^{-1} de superfosfato simples e

Na preparação do experimento foi utilizado um litro de solução após um cultivo de vegetação em condições de campo.

O solo da região experimental de G. L. P. grande é caracterizado pelo conteúdo de matéria orgânica de 1,5%, com uma concentração de $1,5 \text{ g g}^{-1}$ de matéria orgânica, $1,5 \text{ g g}^{-1}$ de sílica e $1,5 \text{ g g}^{-1}$ de matéria orgânica, derivado de matéria orgânica. A reação foi realizada sob vegetação de milho (Cerealia) com uma produtividade de 1,57. Nesse caso foi realizada a passagem de matéria orgânica para a reação, porém, essa operação não foi realizada devido à ausência de duplicata e superação da capacidade do experimento, em 1,57, quando em 2,0, foi realizada a correção da capacidade e fermentação do solo em 2,0 a partir de 2,0 Mg ha^{-1} de matéria orgânica e de $8 \text{ g P}_2\text{O}_5 \text{ ha}^{-1}$.

Os experimentos realizados com os tratamentos, porém, para essa pesquisa, foram selecionados para os dados e análises entre os solos. Para Doulos e Matéria, resultados de matéria orgânica do solo com os experimentos realizados, enquanto que para G. L. P. grande, quanto a seleção foram selecionados. Em relação a reação de cereais sob vegetação orgânica (Cerealia) foi realizada a análise dos dados com referência à vegetação de milho do solo.

Os resultados gerais das experiências são apresentados na Tabela 1 e a descrição e descrição dos tratamentos considerados no presente estudo, na Tabela 2.

Tabela 1. Características gerais das áreas experimentais.

Código	Assistência	Local de origem	Duração do experimento (anos)	Temperatura média (°C)	Precipitação média (mm)	Clima	Região	Relevância
L. de Douro	B. S. FAO	Douro, Portugal	3	2	1	Atlântico	Centro	Alta
L. de Madeira	B. S. FAO	Madeira, Portugal	11	2	14	Atlântico	Centro	Alta
L. de Açores	B. S. FAO	Açores, Portugal	11	2	127	Atlântico	Centro	Alta

EMBRAPA (1993)
FAO (1994)

4.2 Análise geral do solo

A análise de solo foi realizada a partir de 2014, necessitando a escolha do solo. O solo analisado foi o Latossolo (PD) encontrado no campo de cultivo de milho, em todos os pontos. O solo analisado foi o Latossolo (PD2P2) encontrado no primeiro ponto de coleta e o de Glicose (PD1P1), no segundo ponto de coleta. Foram coletadas três subamostras por amostra e três amostras de solo: 0, -10 e 10-20 cm. A análise geral foi realizada a partir de uma amostra e, com o auxílio de uma espátula foram coletados blocos indeformados de solo de 10 x 20 cm, os quais foram usados para a análise de pH, umidade e densidade.

A análise foi realizada para determinar a quantidade de nutrientes de solo, de acordo com seus parâmetros de fertilidade, passando-os em peneira de malha 2,0 mm, sendo excluídos as amostras, fragmentos de pedras, resíduos, pedras e outros restos da peneira. Os solos secos foram, sobre pratos de papel, em uma sala de ventilação, protegidos da incidência direta dos raios solares. Depois de secos, foram acondicionados em frascos plásticos.

Para a análise de pH, umidade e densidade, o solo de cada amostra analisado, conservado para análise, foi colocado em peneira de malha 2,0 mm e a quantidade do material seco para análise conservada para análise nos recipientes, com capacidade inferior a 1 litro, foram usados para o estudo da umidade e da densidade do solo.

5 ESTUDO I

Agregação e conteúdo de carbono em frações físicas da matéria orgânica afetadas por pastagens em solos de ambiente tropical

5.1 Introdução

O conteúdo da matéria orgânica do solo, por se tratar de frações, excluiria as adições, logo a sua incorporação e a sua presença em uma rede de subsolos, de matéria orgânica, é caracterizada por várias componentes essenciais da rede celular. Esse matéria orgânica sofre transformações físicas e químicas. Parte do conteúdo é liberado do solo como CO_2 e o restante, está ligado ao efeito negativo da reação no ecossistema, nas áreas orgânicas e ou incorporadas em agregados de solo (Lorenz, 1997; Christensen, 1997). O matéria orgânica incorporada ao solo é utilizada por plantas e animais e a criação de agregados a partir de agregados, permitindo o aumento de conteúdo de matéria orgânica, o que é fonte de energia aos organismos heterotróficos.

As condições que afetam a decomposição de matéria orgânica nos ecossistemas de solo fornecem informações relevantes que ajudam a inferir sobre a eficiência de decomposição e a produção de CO_2 e a quantidade. No entanto, é necessário um estudo detalhado das diferenças físicas de MO, relacionando suas condições físicas e químicas aos aspectos de estabilidade de MO e suas fontes de produção agrícola.

Considerando que a produção sócio-econômica é afetada pelo regime de uso e manejo do solo nesse ecossistema, deve-se ser melhor entendido, principalmente em relação

ss.e.a s conserva cõs s de produa o e a o a u.n.en.o d produ.v.d de. Des.a for.a , pode-se cheg ra conclusões l.a s concre.s e.n re.a o a o desenv.v.n.en.o de ecno.o.s p.a o es.l.eci.n.en.o de ss.e.a s sus.em.ve.s, l.e.n co.n o p.a.a p a r o p.pe do so o co.n o fon.e ou dreno de C-CO₂ e.n reg ões rrop.a s.

ss.e.a s conserva cõs s co.n o s ss.e.a p a n.o d re.o.a era ndo cu.u.s a n.a s co.n p a s.s.gens perenes, e.a produa o de p a s.s.gens perenes, es.o sendo recen.e.n.e d scu.dos co.n o u.a opa o de l.a n.e.o sus.em.ve p a os so os do Cera do, po s pro.n.ove.n o a u.n.en.o d a greg a o do so o e pro.e.a o a deco.n.posa o d MO a d co.a d , con.r.l.u.ndo co.n n.ú.n.eros l.nef.cosa o s ss.e.a co.n o u.n.odo.

Es.e es.u.do p a ser -se p a segu.n.e h.p.ese:

ss.e.a s de l.a n.e.o do so o que n.cue.n p a s.gen con.r.l.ue.n p a a for.a a o e es.l.a a o d a greg a o do so o, o que se ref.e.e n.a u.n.en.o d pro.e.a o f.s.a d MO e no ncre.n.en.o dos seus .e.ores no so o.

Os o.l.e.vos des.e es.u.do fo.n:

A.a r o efe.o de ss.e.a s de l.a n.e.o sol.p a s.gens no processo de a greg a o e a r.a zep n.en.o de a r.l.ono e.n r.es l.osso os rrop.a s.

A.a r a nfluên.a dos dferen.es ss.e.a s de l.a n.e.o sol.re.a oca o d MO e.a greg dos de so os d reg a o do Cera do B.a s e ro.

5.2 Material e métodos

nfor.a ões referen.esa sa r.a s exper.n.em.s e proced.n.en.os de co.e.s e prep.ro de a n.os.s de so o fo.n descra s no l.e.n M.a e Mé.dos e.a .

A segu r ser descra l.e.odo oca u.a d a s.a s es re.a d s.

2.1 Agregação

Osa greg dos foi a base dos dados com sua escolha de energia seca, sendo com o peso de escolha de energia dos.

Para a avaliação dos resultados dos ensaios energéticos utilizou-se a metodologia descrita por Chen e Chep (1997), com as equações propostas por Greenwood e Menzies (1997) e por Menzies (1997). Das subamostras consideradas por Greenwood e Menzies dos dados referentes a 1997 foram retirados os dados de energia por pessoa, -1997 e 1998. Cada subamostra foi analisada por período de duas a dez horas, transferida para o pacote de 1997 e 1998 com de energia e 2, com a energia contendo 1997 de energia por dos números energéticos por pessoa 1997. O conteúdo dos dados foi transferido para um conjunto de parâmetros de 4,7, 2, 1, 1, 1 e 2, o que foi substituído das oscilações por número energético recenseado com a energia, duas a dez horas. A base de dados que se tornou a base de parâmetros de energia seca e foi colocada no fundo do recenseado com a energia, foi a base de parâmetros de 1,1 e 1,1 com a finalidade de recuperar o erro com erro referente a 1997 e 1998 de energia dos dados. A base de dados da base de energia dos foi transferido para as variáveis peso e seco 1997 °C a energia peso considerado. Após a pesagem, o solo foi ensaio e usado o dispersão 1997 o L¹ para excusão de partículas individuais simples, consideradas para a base de dados. Descompondo-se a base de dados de energia dos com exceção de energia < 1997, obteve-se a distribuição percentual dos dados dos respectivos países de energia e o erro energético é o peso do dos greg dos pelo peso energético (DMP):

$$AGR_i = (mAGR_i / \sum AGR) \times 100$$

onde:

$A R_i$ = percentagem de energia dos de energia i

$A R$ = base de energia dos de energia i

$\sum A R$ = base de energia dos

$$DMP = [\sum (AGR_i \times d_i / \sum AGR)]$$

onde:

d = distância do eixo de cassete, obtido por $d = \frac{L}{2} + \frac{L}{2} \sin \alpha$ (2)

A distribuição dos agregados secos foi determinada segundo o modo de descrição por Rose e Ullrich (1988), utilizando-se as seguintes condições para agregados de diâmetro inferior a 7,5 mm: foram distribuídas sobre um conjunto de peneiras de 4,75, 7,5, 12,5, 19,0, 25,0, 37,5, 47,5 e 75 mm, juntamente com um fundo fechado para reter os agregados de maior tamanho. O conjunto de peneiras foi colocado numa peneira vibradora Marz Produções e submetido a uma função de distribuição numérica. A fração de massa de cada peneira que a distribuição dos agregados secos era dada. Descompondo-se a quantidade de cada rede de peneira, a qual seria percentagem de agregados para cada classe de diâmetro e o diâmetro médio ponderado dos agregados pelo peneiro em o seco (DMPs) de cada fração com o descrito pelo peneiro em o úmido.

O índice de espaldamento de agregados (EA) indica a capacidade de agregados resistirem à energia de desagregação, o qual foi calculado a partir da relação DMP_u / DMP_s e varia de zero a uma. Uma maior EA indica maior espaldamento de agregados, e valores próximos a zero indicam baixa espaldamento de agregados de solo.

2.2.2. Critério de organização e esboços desse e em o no so o

Para determinar o CO₂ a ser liberado foi utilizado o método de decaimento se obter um material homogêneo, com diâmetro inferior a 7,5 mm. Assim se foi realizada por comparação se era a a dor de a rono MADZ TOC- ~~_____~~

Os esboços de CO₂ (Mg l⁻¹) foram elaborados segundo o modo de descrição da sua equação de solo (Erickson, Beatty, 1988), utilizando-se densidade da reação solúvel a o a u (Apêndice 2) como referência e a massa de solo de cada amostra de vegetação a o a u foi o a d como se

de acordo com as tabelas correspondentes do software de análise espectral dos.

2. Fabricação em densidade da éra orgânica

A fabricação das fibras orgânicas foi realizada por três repetições de acordo com o protocolo de síntese, sendo o software utilizado para as análises, proveniente da graduação de química orgânica, 1^o ano. As fibras orgânicas obtidas foram FLL (Fibra de Leve Livre), FLO (Fibra de Leve Ocu) e FER (Fibra de Leve de MO), utilizando-se polímeros de sódio (PTC) [Na₂C₂O₄ · 2H₂O] e OMET, Bernadino do eira graduação de engenharia de densidade de 2,1 g cm⁻³.

A seguir, a síntese do procedimento de separação das fibras orgânicas é apresentada na Figura 1.

Na fabricação dos fios de 1 g de sódio consumido para graduação (1 g) foi colocado em um tubo de centrifugação de 100 mL contendo 80 mL de solução de PTC. O tubo foi fechado com rolha de borracha e invertido várias vezes, em seguida com a ajuda de uma pipeta, adicionando-se a graduação e permitindo que a FLL (MO) se deposita entre as graduações da superfície de suspensão. As partículas que aderem ao rolha e ao fundo do tubo, durante a inversão, foram removidas dentro da suspensão utilizando-se solução de PTC, com auxílio de uma pipeta. A suspensão foi centrifugada a 2000 g por 20 minutos, em seguida suficiente para produzir um "pele" firme e os restos de excesso de sódio. O solvente não, contendo FLL (densidade de < 2,1 g cm⁻³), foi verificado sobre um funil contendo filtro de fibra de vidro (FA) e feito o solvente. O filtro, o qual contém a rolha e sua construção, foi seco e espectral e a peça do analisador foi feita. A solução de PTC restante no funil foi removida através de sucessivas lavagens com água desionizada. O filtro com a FLL aderida foi seco e espectral a 100°C por 24 horas para fabricação da sã, seguido de análise genérica.

Após a separação da FLL, a solução de PTC foi adicionada novamente em um tubo de graduação nos recipientes no fundo do tubo, o qual foi resuspensão e a suspensão da solução. A suspensão foi submetida a dispersão e utilizada a 4 g L⁻¹ e 800 mL⁻¹ para os estudos de Doulos,

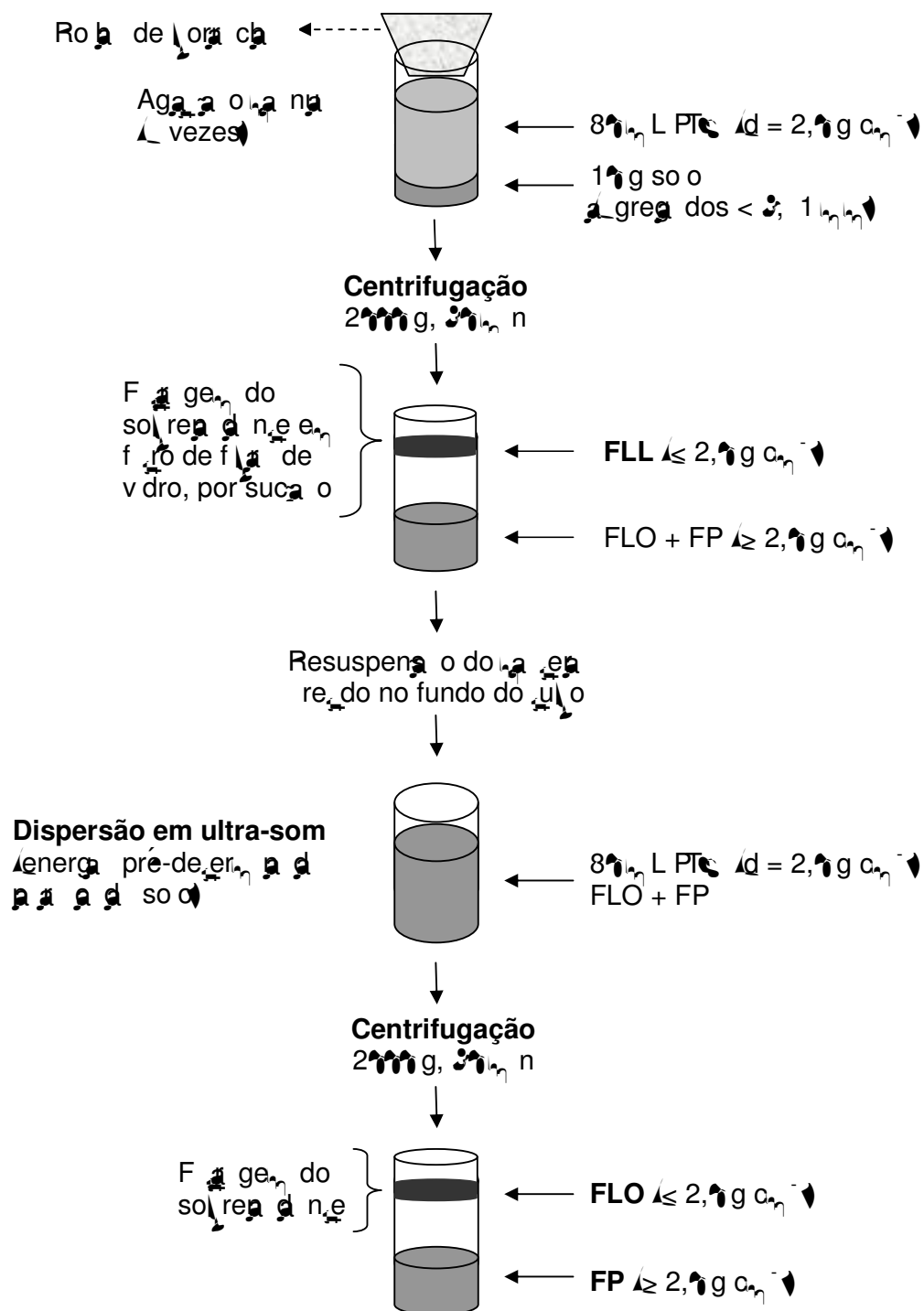


Figura 1. Apresentação esquemática do fluxo de trabalho em o f s co densa é r co d MO co a u a a o de po ungs o de so d o PTC.

Máxima e Mínima, respectivamente. A energia de dispersão de cada so o foi a luz de espelhos preteridos de modo a obter 20° de dispersão do so o. A ponte do u -so, foi era a 2 cm de suspensão, sendo a energia de dispersão, a temperatura 4°C para a temperatura de gelo a 0°C o redor do u o. Após a dispersão a suspensão foi centrifugada por 20 min a 2000g e o sobrenadante, lavado e seco com o descarte da . Dessa forma, o líquido orgânico teve densidade de $< 2,0\text{g cm}^{-3}$ ocorreu no interior da grade dos FLO.

O so o resíduo que permaneceu no fundo do u o a pós a realização das filtrações orgânicas teve e ocorreu, constituindo FP MO do so o associada aos resíduos, com densidade de $> 2,0\text{g cm}^{-3}$. No presente estudo, esse líquido foi descartado, dando-se efeito a não formação e reação da água, a energia de dispersão do teor de a rônio do líquido.

2.4 Geração das filtrações orgânicas

Assim, os seguintes são os resultados da energia e com o fim das filtrações teve e ocorreu para a não formação de água e a não formação de a rônio que não o teor de a rônio por consequência da energia de dispersão de a rônio MADZ TOC - ~~o teor de a rônio~~ FP no presente estudo foi o líquido para a fermentação em CO do so o e o a rônio de FLL so o do a rônio de FLO.

2. Diferença de os-X

A análise química que a água de filtração foi realizada por difração de raios-X (DRX) equacionando Ph ps, a carga de Fe α e furo de Fe, volume de ~~o teor de a rônio~~ de $1,0\text{g}$, sendo a água de filtração

se a reação reflexo (11) por si, uma vez que a natureza da reação (12) é de 8^o (nd) un or a pf, 200.

N. T. F. A. da sa os, o ferro reava os óxidos de ferro pedogênicos (FeO) foi exido e sua o de don o-c o- o- a r o o (DCB) de sód o 8^oC e da s ex ões sucessivas (Meh) a c son, 1^o (nd) un or a pf, 200. O ferro dos óxidos de ferro de a a cr s n d de (FeO) foi exido e sua o de o a o de a ã o o 2^o L¹ a p , no escuro ch a n n, 1^o 4). Os eores de ferro so u a dos fo a de er a dos por espectroscopia de sora a ã a (EAA).

5.3 Resultados e discussão

5.3.1 Agregação do solo

Resuados referen,esa d s r u a o porcenta de a greg dos e, o d sa s a a d s, a a d so o, pode, ser o s e r d o s a s T a l e s , 4 e . e r f e e a a a d o s o s, que os s s e a s c o n a s g e n a p e r a n e e e e r o a o c o n a v o u a p r o p o r c o a a e e a d o s p e r c e n t a s d e a c r e g r e d o s, p r n c a e n e a a s s e d e a e r o 4,7 e, o d s a a a d s, p o r e a s d f e r e n a s a s e v d e n e s e n r e o s s e a s d e u s o e a n e o f o a o s e r d s a a a d s u p e r f a a c a, cu os resuados es o a F g u a 2.

Tabela 1. Distribuição da sazonalidade do L. df. De acordo com o número de graus dos esportes e a frequência de uso, as modalidades 1 e 1-2, somente a modalidade N, o período (PD), a modalidade PD2P2 e a modalidade PP, de acordo com a frequência (PP).

Grupos de uso e frequência	Séries de uso e frequência	Número de graus							
		4,7	2,0	1,0	0,0	0,2	0,1	0,0	
1	N	14, ± 0,8 ^a	17,81 ± 0,1	1,4 ± 0,8	18, ± 1,1	1,78 ± 1,1	7,88 ± 0,1	1,27 ± 0,2	2, ± 0,1
	PD	2,18 ± 0,2	1, ± 1,1	11, ± 0,2	17,7 ± 1,8	1, ± 1,4	8, ± 1,1	2,38 ± 0,2	± 0,4
	PD2P2	4,28 ± 1,7	18, ± 0,1	± 0,7	7, ± 0,8	± 0,7	± 0,4	1,21 ± 0,2	4, ± 0,4
	PP	4,78 ± 0,1	21,4 ± 1,2	11,8 ± 0,2	10,7 ± 1,2	7,1 ± 1,1	± 0,1	1, ± 0,1	± 0,2
-1	N	7, ± 7,1	13,41 ± 0,7	11,14 ± 1,7	11,81 ± 2,1	± 1,1	± 1,2	1,4 ± 0,2	2, ± 0,2
	PD	24,4 ± 0,1	13,37 ± 1,1	1,88 ± 1,2	1, ± 1,7	10,7 ± 0,1	7,8 ± 0,1	2,22 ± 0,1	± 0,1
	PD2P2	41,7 ± 0,1	18,72 ± 0,1	11,41 ± 1,4	± 1,1	± 0,1	± 0,1	1,32 ± 0,1	± 0,4
	PP	4,1 ± 4,2	1, ± 1,1	± 0,8	10,2 ± 1,1	7, ± 1,4	± 1,1	1,87 ± 0,4	4,42 ± 0,2
1-2	N	4, ± 7,1	18, ± 0,1	12,27 ± 1,7	11,22 ± 2,1	± 1,7	7, ± 1,2	1,7 ± 0,2	± 0,1
	PD	1,48 ± 7,7	17,48 ± 1,2	12,8 ± 2,2	1,7 ± 2,1	± 1,4	7,2 ± 0,8	2,2 ± 0,2	± 0,2
	PD2P2	± 0,1	13, ± 0,1	12,7 ± 0,4	10,1 ± 0,4	7,7 ± 0,4	± 0,1	2,11 ± 0,2	± 0,1
	PP	4,84 ± 2,1	1, ± 1,1	8, ± 0,1	± 0,8	7, ± 0,8	7, ± 0,7	1,31 ± 0,2	± 0,2

^a Média ± erro padrão

Tabela 4. Distribuição da soma do solo L_{df}M₀₋₁₀, quantidade de carbono orgânico dos estratos da gramínea, das leguminosas, -1 e 1-2 cm, solo vegetal e o solo N₀₋₁₀ do relevo (PD), rocha ou vau - a sagem (PD2P2) e a sagem perene de gramínea (PP).

Gramínea	Leguminosa	Somas de uso e não uso	Distribuição						
			4,7	2,0	1,0	0,2	0,1	0,0	<0,0
+	N	4,1	2,8	1,14	,41	2,0	0,4	1,8	
	PD	1,2 ± 2,8 ^a	18,7 ± 2,0	17,0 ± 1,4	21,7 ± 2,0	12,0 ± 1,8	8,0 ± 1,0	1,0 ± 0,0	4,0 ± 1,0
	PD2P2	4,0 ± 4,0	1,0 ± 1,0	12,7 ± 1,2	12,48 ± 1,8	7,12 ± 0,0	,28 ± 0,2	0,0 ± 0,2	,00 ± 0,2
	PP	,7 ± 0,0	1,0 ± 2,2	,24 ± 1,2	8,8 ± 1,0	, ± 1,1	2,0 ± 0,1	0,1 ± 0,1	1,0 ± 0,1
-1	N	4,0	1,4	,1	8,07	8,2	,1	1,2	2,0
	PD	0,72 ± 4,0	2,84 ± 2,8	1,22 ± 2,0	11,0 ± 0,4	,2 ± 0,7	4,7 ± 0,0	1,4 ± 0,1	4,21 ± 0,2
	PD2P2	4,0 ± 2,4	1,0 ± 0,0	1,8 ± 0,0	8,2 ± 0,4	, ± 0,4	,2 ± 0,0	0,0 ± 0,1	,28 ± 0,0
	PP	7,7 ± 4,4	1,17 ± ,8	,1 ± 1,0	, ± 0,8	2,1 ± 0,0	1,74 ± 0,4	0,7 ± 0,1	2,0 ± 0,1
1-2	N	8,1	1,7	11,0	12,0	,4	7,87	1,7	2,71
	PD	,14 ± 1,0	2,0 ± 2,4	12,22 ± 0,4	11,07 ± 1,0	4 ± 0,0	,0 ± 0,0	1,0 ± 0,1	,7 ± 0,2
	PD2P2	4,7 ± 1,0	1,77 ± 1,1	,78 ± 0,0	8,7 ± 0,2	2 ± 0,4	4,0 ± 0,7	1,1 ± 0,1	,7 ± 0,0
	PP	,0 ± 4,0	12,0 ± 0,0	,2 ± 1,0	4,2 ± 1,0	4,0 ± 1,4	2,87 ± 0,0	0,88 ± 0,2	2,0 ± 0,2

^a Média ± erro padrão dos valores correspondentes a seis repetições.

Tabela 1. Distribuição da soma do solo L d-Glc em mg kg⁻¹ de matéria orgânica dos agregados esqueléticos, -1 e 1-2 cm, sob vegetação de N. paniculata (N), de P. dactyloides (PD), de P. guineensis (PD1P), de P. guineensis com a presença de gramíneas (PP) e de P. guineensis com a presença de gramíneas consorciadas com a leguminosa (PP+L).

Agregado	Classes de uso e manejo	Densidade (mg kg ⁻¹)							
		4,7	2,0	1,0	0,5	0,2	0,1	0,05	<0,05
0	N	11,73 ± 1,1 ^a	17,31 ± 1,4	14,18 ± 1,8	12,78 ± 1,1	17,2 ± 2,8	14,2 ± 1,1	11,84 ± 1,2	1,77 ± 1,2
	PD	11,1 ± 1,2	11,2 ± 1,8	12,18 ± 1,7	18,2 ± 2,2	28,4 ± 1,1	11,71 ± 1,1	2,72 ± 1,4	1,7 ± 1,1
	PD1P	4,2 ± 2,7	11,1 ± 1,1	7,38 ± 1,1	11,22 ± 1,8	11,2 ± 1,1	8,2 ± 1,1	1,4 ± 1,2	4,1 ± 1,1
	PP	1,1 ± 1,8	2,1 ± 2,1	11,13 ± 1,1	11,1 ± 1,1	1,28 ± 1,1	2 ± 1,4	1,11 ± 1,1	1,74 ± 1,1
	PP+L	8,1 ± 1,1	17,1 ± 1,7	11,47 ± 1,8	11,18 ± 1,1	11,27 ± 1,2	4,24 ± 1,1	1,2 ± 1,1	2,81 ± 1,1
-1	N	17,28 ± 1,2	21,2 ± 1,1	14,21 ± 1,1	21,12 ± 1,2	11,21 ± 1,4	7,1 ± 1,4	11,82 ± 1,1	1,74 ± 1,1
	PD	21,2 ± 2,2	11,1 ± 1,8	11,14 ± 1,4	11,28 ± 1,7	24,1 ± 1,1	11,8 ± 1,1	2,22 ± 1,1	4,1 ± 1,4
	PD1P	1,47 ± 1,2	12,2 ± 1,4	8,87 ± 1,1	11,2 ± 1,7	14,8 ± 1,2	8,2 ± 1,1	1,2 ± 1,2	4,1 ± 1,1
	PP	8,2 ± 2,1	2,8 ± 1,1	12,88 ± 1,1	8,2 ± 1,1	11,1 ± 1,8	4,1 ± 1,1	11,81 ± 1,1	2,1 ± 1,2
	PP+L	1,1 ± 1,8	11,8 ± 1,4	11,18 ± 1,4	11,17 ± 1,1	11,22 ± 1,2	11,2 ± 1,7	11,2 ± 1,1	2,8 ± 1,1
1-2	N	11,8 ± 1,2	12,18 ± 1,1	18,87 ± 1,2	21,12 ± 1,1	14,2 ± 1,4	7,8 ± 1,2	11,2 ± 1,1	1,1 ± 1,1
	PD	11,7 ± 2,1	11,2 ± 1,7	11,8 ± 1,1	14,2 ± 1,1	24,1 ± 1,8	11,1 ± 1,2	2,11 ± 1,2	4,2 ± 1,1
	PD1P	11,2 ± 1,2	11,4 ± 1,1	12,2 ± 1,2	11,27 ± 1,4	11,2 ± 1,1	11,1 ± 1,1	1,21 ± 1,1	1,48 ± 1,1
	PP	11,1 ± 1,1	21,8 ± 1,8	8,7 ± 1,1	11,1 ± 2,1	11,27 ± 1,1	1,48 ± 1,1	11,8 ± 1,1	2,1 ± 1,1
	PP+L	24,2 ± 4,1	14,24 ± 1,1	11,88 ± 1,2	11,4 ± 1,2	21,2 ± 2,2	7,88 ± 1,2	1,22 ± 1,2	2,84 ± 1,2

^a Média ± erro padrão

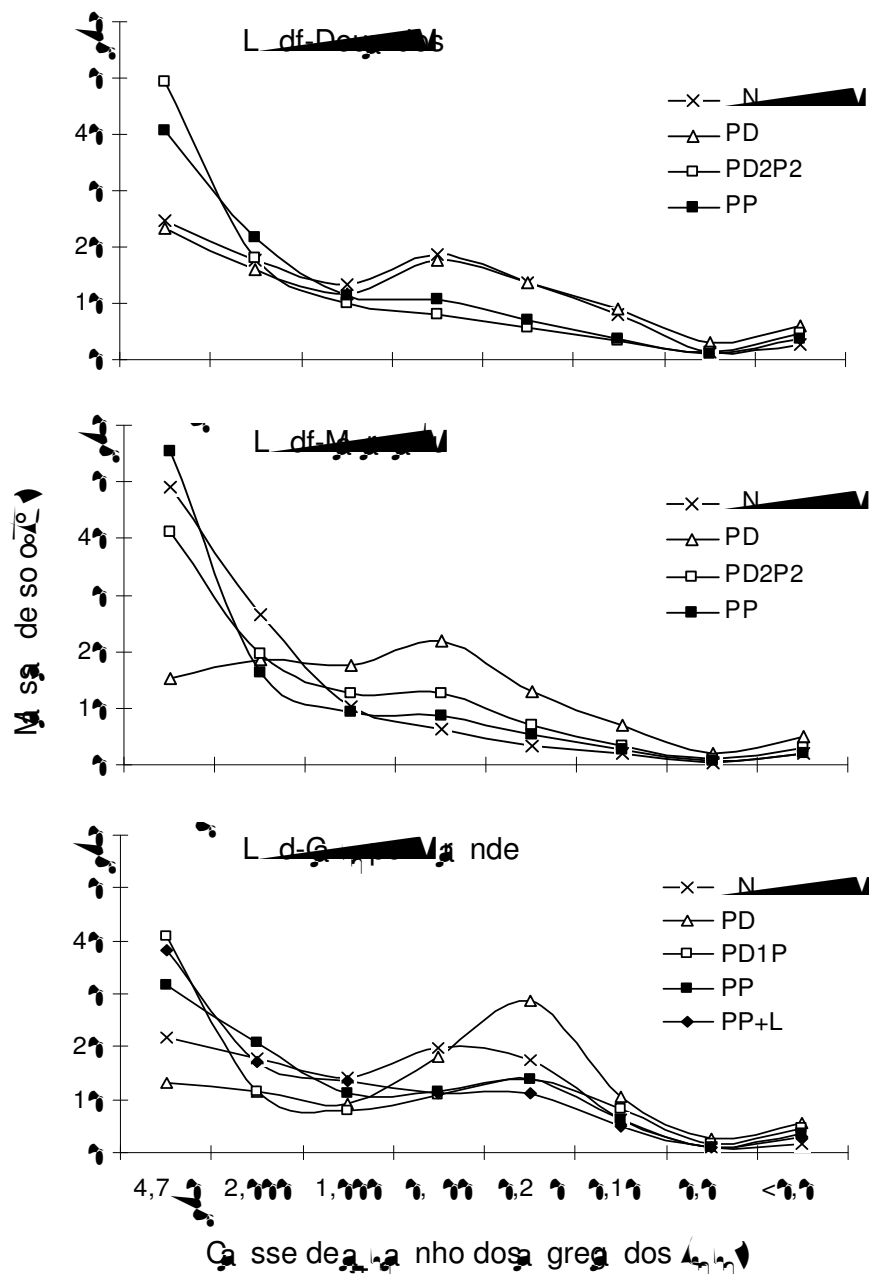


Figura 2. Distribuição da porcentagem de massa de grãos dos esvazados, em função do grau de desfolhação dos resíduos esvaziados, sob diferentes sistemas de uso e manejo. VN: vegetação natural, PD: parque de conservação, PD2P2: parque de conservação com 2 anos de uso de *B. decumbens* por 2 anos e, em paralelo, PD1P3: parque de conservação com 1 ano de uso de *B. brizantha* por 1 ano e, em paralelo, PP: parque de conservação com *B. decumbens*, PP+L: parque de conservação com *B. decumbens* consorciado com a leguminosa *Stylosanthes guianensis*.

Na ausência de corrente, o sistema PD, o qual provém, em
a presença o fluxo de energia e matéria, a saber, o fluxo entre os sistemas,

a d c u r a l u n d n e . P o s s e n e n e a f e r z a o r a z a d p l n p n a o d
 s o , n o s s e a r o r a o a v o u p a s a g e n , e s e c o n d u z n d o a e e x d s
 d e n s d d e s a d c u r e s d p a s a g e n s u l s e q u e n e , o q u e a v o r e c e a u n e o
 d o s e o r e s d e M O e d a g r e g a o . n f u e n a p o s u d o s s e a a d c u r d e
 g a n n e s p a f o r z a o d e a g r e g d o s e s u v e s a n l e n f o o l s e r a d p o r
 G r p e n e d o M e n c z u , (1 9 3 7) , B a d n M e n c z u (1 9 3 7) , e u
 M e n c z u (1 9 3 7) , a y n e s B a r e (1 9 3 7) , G l n p o s e a . (1 9 3 9) , a e e a .
 (2 0 0 0) , B r o n c l a (2 0 0 0) , Z o a r e e a . (2 0 0 0) .

e r f e c t u a l e n e , e n e r n o s g e n s , q u e o s o o L d f M f e n e q u e
 a p r e s e n t o u o s l a o r e s u o r e s d e l a c r a g r e g d o s p a l o d o s s s e a s d e
 u s o e l a n e o , o L d f D e n e n o u u o r e s n e r n e d r o s e o L d C
 n e n o r e s u o r e s . s s o p o d e s e r r e s u a n e d o u s o d o s o o a n e r o r n e a
 l n p n a o d o s e x p e r i e n c i o s , u a v e z q u e o s o o L d f M f e n e u d o p e a s
 d u n e 1 a n o c o n p r e p a r o c o n v e n c o a , o L d f D e n e u d o d u n e 2 a
 a n o s c o n p r e p a r o c o n v e n c o a e o L d C n o s o l p a s a g e n
 d e g a d d . O s l n e n o r e s u o r e s o l s e r a d o s n o s o o L d C n e n e p o d e n
 s e r r e s u a n e s d e x u a l a s a r e n o a d e s e s o o e n r e a o a o s d e a s , o
 q u e c o n t r i b u i p a u a l a s a p d a a d e c a g e n (f o r z a o d e g a d a o)
 d o s a g r e g d o s . P o r s u v e z , n o s o s a r g o s o s L d f D e n e u u v e
 l n e n o r a a d e c a g e n d o s a g r e g d o s e s u r e a c o a d c o n a l n e n o r a a d e
 d e c o n p o s a o d M O , q u e p o d e s e r p r a l n e n e a u a d p o r u a l a o r
 p r o e a o f s a d M O p e o s a g r e g d o s d e v d o a a d s o r a o d e c o n p o s o s
 o r g n c o s a s u p e r f c e s d e a r g a e a o a z a o e n p e q u e n o s p o r o s ,
 a c e s s v e s a o s l n c r o g n s o s T s d G a d e s , 1 9 8 2) .

B a a c a r a a s e d o s r e s u a d o s d d s r l u a o d o s a g r e g d o s ,
 d v d u s e a l a s a o d e a g r e g d o s e s u v e s e n a g a e n r e s c a s s e s d e
 a l a n h o E g u a : < 2 l n l n , 2 - 2 , l n l n e > 2 , l n l n . e r f e c t u a l q u e o
 e f e c a d c o a d e g n e s o r g n c o s p a f o r z a o d e a g r e g d o s s e c u n d a r o s
 (> 2 , l n l n) n e s e s o o s r c o s e n o x d o s e l a r a n e n e l a s p r o n u n c a d o
 n o s s s e a s o n d e l a o r a d a o e l a n u e n a o d e M O a o n g o d o a n o
 l s s e a s c o n p a s a g e n s . O s o o c o n s u n e d e e s r u u s o n u a r e s
 p r i a p a s , r e p r e s e n t a d o p e o s l n c r a g r e g d o s (< 2 l n l n) e p a r e d o s l n e s o -
 a g r e g d o s (2 a 2 , l n l n) , a o n e n g r c o n o s a g e n e s o r g n c o s d e
 f o r z a o e e s l u z a o , p a s a l n a c o n s u r e s r u u s l a o r e s e ,

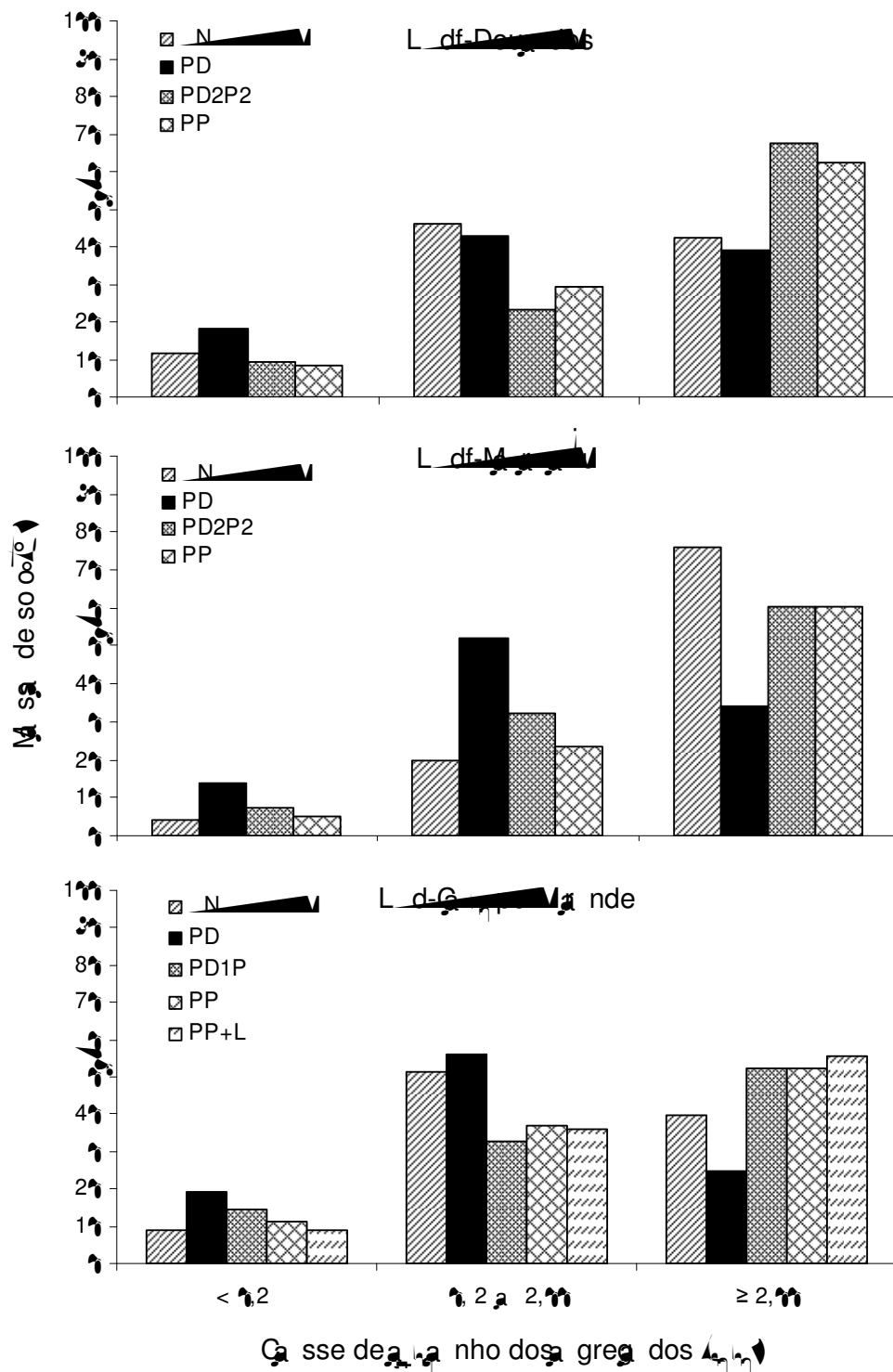


Figura 1. Distribuição dos tipos de domicílios das famílias e a quantidade de pessoas em cada um dos tipos de domicílios, agrupados em três classes de tamanho dos domicílios: menos de 2 pessoas, 2 a 2,5 pessoas e 2,5 ou mais pessoas. VN: vegetação, PD: produção de alimentos, PD2P2 e PD1P3: produção de alimentos e serviços, PP: produção de serviços, PP+L: produção de serviços e comércio.

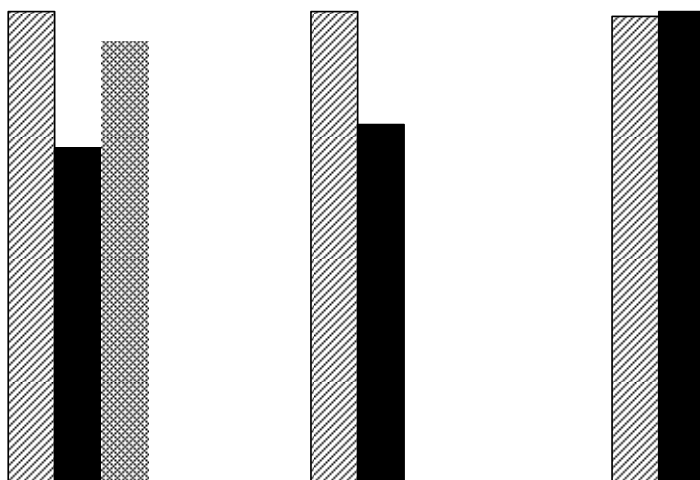
possivelmente as rasas e ríono. Por outro lado, quando parte dos agregados com densidade $> 2,00$ m³ m⁻³ a o, provavelmente, resultam, em função de densidade, nos solos prncipalmente nos solos L_{df}-D e L_{df}-M, dos de Fe e A, prncipalmente nos solos L_{dc}-T. Q_{des} (1982) expõe que a estrutura de agregados com densidade superior a $2,00$ m³ m⁻³ é resultado da ocorrência de ázides e háis, sendo, dessa forma, caracterizada por partículas de tamanho do solo. A existência de estruturas dos sistemas com partículas resuou e as de σ° da sala de solo presente com agregados maiores que $2,00$ m³ m⁻³, em todos os solos.

Em todos os casos houve uma diminuição da proporção de agregados $> 2,00$ m³ m⁻³ nos sistemas PD em comparação com os sistemas com partículas e houve uma correspondência na proporção de agregados das classes de densidade inferior a $2,00$ m³ m⁻³. Só confirma que a produção de agregados em sistemas de solo adicular e a velocidade de lóga é fundamental para a formação de agregados maiores e as estruturas. O sistema PD dos solos estudados consistiu-se de solo com um prncipal no verão, que a presença de reação CN, a adição e existência de decomposição, sendo pouco a vez a formação de agregados maiores e as estruturas. Dessa forma, quando parte do MOa₁ que em sistemas é provavelmente disponível que a que a crola no.

Esses resultados evidenciam a importância da ocorrência de estruturas com as características perenes nos sistemas de produção e os tipos, a não ocorrência com estruturas de formação contínua, são de natureza ou em consórcio com outras espécies.

Na Figura 4 é apresentada um resumo das características de solo e os efeitos de ríono e de ázides, onde pode-se inferir sobre a influência dos diferentes consórcios desses solos no processo de formação e estruturação de agregados.

Com o crescimento da proporção de agregados $> 2,00$ m³ m⁻³ o sistema dos sistemas com partículas foi a evidência do peso de densidade (DMP) dos agregados obtidos pelo peneiramento e a que, que ficou em torno de $4,00$ m³ m⁻³, superior ao sistema PD, que foi inferior a $1,00$ m³ m⁻³ e o menor entre os sistemas de uso e tamanho das partículas os três solos (Figura 4).



Observa-se que o aumento da concentração de arônio nos sistemas com as seguintes reações o sistema PD foi comparado pelo aumento de 70° no DMP para o solo L df-D e de 114° para o solo L df-M. Com os dados conferidos os sistemas com as seguintes condições que suas unidades esruu se a presença da a a en e resses da de a greg a o para a o da ga .

A concentração referida a a a pode ser observada pelo FA, que é a reação entre o DMP o do pelo pene a a en o e a ga e o DMP o do pelo pene a a en o a seco. Esse índice engloba todas as vezes que exerce influência da greg a o, representando a es a de esruu de u a o quando sul e do a dferen es pos de uso e a a ne o. As reações com as seguintes foram as que apresentaram os maiores valores de FA para os solos L df-D e L df-M, indicando ser os esruu dos e com a greg dos as es a s. Percebe-se que o custo de g a a s perenes vem contribuindo para a recuperação e a a os de a e hora do estado da greg a o desses solos e reações o sistema PD, com os valores de FA a a reações a a en o N E a a a o, no solo L d-C a a a r da re a s do sul e a por a r os a nos a a ge a de a a a n e r or e n e a n a a a o do exper e n o, todos os a a en o a s a presença e ex do índice de es a de, nc us ve o PD, e a a a presença os a en o es a o es de DMP en re os so os.

Considerando que dentro de a a so o a o ocorre a a a o de ex a e a n e a o a que possa ser usada s a a sere a respons a a a s pelo a a or ou a en o r índice de es a de a presença dos os a o es e o es de a rga e de CO, so a do a e f e o do s s e a a d c u r d s g a a s, no a so dos a a en o s com a s g e n s, a o, p r o x i m e n e, os a o es respons a v e s p e a s s e v e a g r e g a o dos so os L df-D e L df-M a s g e n s. Neufe d e a . (2002) a a a re a a o s o s a r g o s o s e a r e n o s o s do C e r a do B a s e r o, observando que o conteúdo de MO e a so a r g o s o s fo d a s v e z e s a a o r do que e a so o s a r e n o s o s, o que fo r e a c o n d o a q u a n d e d e s s o s d e a d s o r a o a s u p e r f c e a n e a d a r g a p o r u n d e d e d e s o o. Fe r e B e r e (1997) refere-se a es a a c e r s e a com o es a a a o de s u p e r f c e, a o s a n d o u a r e a o n e r e n r e c o n t e u d o d e a r g a e M O e a s o s do a a dos p o a r g a d e a v d d e a a .

da, no solo L d-C, a presença o menor teor de argila a maior proporção de óxidos de Fe (goeite) e Al (gibbsite), consequentes efeitos da estrutura da rede cristalina de solo, a rede cristalina de solo a estrutura de dos a rede cristalina de solo que os teores de argila nos diferenciam s. e. a. s. de uso e manutenção do solo.

Em relação ao DMP, a maior parte da matéria orgânica do solo pode ser constituída por matéria orgânica, mas o efeito combinado das duas substâncias orgânicas responsáveis pela estrutura do solo. O conteúdo orgânico nos solos sugere que a estrutura do solo exerce efeitos benéficos e importantes para a produção de grãos pequenos e grandes, conforme observado por (Lorenz, 1997, 1998). No entanto, a rede cristalina de solo dos solos para argilas 1:1 e óxidos, é induzida pela presença de óxidos de alumínio e óxidos de silício. (Lorenz, 1992, Lorenz, 1991). Nesse contexto, a estrutura do solo é influenciada pelo conteúdo de MO e estrutura de grãos do solo (Lorenz, 2000).

2.2. O conteúdo orgânico no solo

Os efeitos da manutenção influenciam os estoques de carbono no longo prazo nos solos de Douro e de 11 anos nos solos de Matão e Campo Grande (Lorenz).

Em todos os solos, o conteúdo de matéria orgânica dos solos de argila e óxidos de alumínio e óxidos de silício, a maior parte da matéria orgânica do solo, exceto as quantidades de 1% e 1-2% do solo L d-C. A diferença no estoque de CO₂ da matéria orgânica de 2% ocorreu de 2,77 Mg ha⁻¹. Isso indica a ocorrência de perdas de carbono nos solos, ocorridas, provavelmente, no período de cultivo anterior ao estabelecimento dos experimentos. Porém, a maior diferença observada no solo L d-C pode ser um indicativo de que a maior parte da matéria orgânica do solo que entra no resultado é reduzida significativamente do estoque de carbono, mas sim, um indicativo de superestimação do estoque de carbono no solo (Lorenz) a ser representado de forma adequada.

Tabela Teores e estoque de carbono nos resíduos esqueléticos, soltos, vegetação e N, P, K e S do solo (PD), rotação de culturas (PD2P2) e PD1P e adubação orgânica (PP) e de adubação composta com esterco de gado (PP+L).

Séries de uso e adubação	C (g C g ⁻¹ solo)			
	0	- 1	1-2	2
LVdf-Dourados				
N	2,8 ± 1,5	2,8 ± 0,8	1,7 ± 1,0	44,1
PD	18,2 ± 0,5	1,11 ± 0,5	1,1 ± 0,8	1,1
PD2P2	24,48 ± 0,5	17,2 ± 0,4	1,7 ± 0,4	41,0
PP	0,4 ± 2,0	18,38 ± 0,5	1,2 ± 1,1	4,43
LVdf-Maracaju				
N	0,88	21,2	18,0	4
PD	22,41 ± 0,7	22,2 ± 1,4	13,8 ± 0,7	7
PD2P2	0,0 ± 0,0	2,8 ± 0,8	2,2 ± 1,0	4,17
PP	0,7 ± 0,2	24,0 ± 1,1	21,0 ± 1,1	7
LVd-Campo Grande				
N	0,0 ± 0,0	2,8 ± 1,0	18,2 ± 0,4	0,12
PD	2,24 ± 1,0	18,8 ± 0,4	18,4 ± 1,0	47,0
PD1P	21,04 ± 1,0	13,4 ± 0,8	17,0 ± 0,0	4,0
PP	22,4 ± 0,0	21,0 ± 0,4	13,7 ± 0,2	0,22
PP+L	27,78 ± 0,4	21,28 ± 0,2	18,4 ± 0,0	0,33

ª Média ± erro padrão da amostra, com base em 5 repetições.

Levando em consideração os resultados das análises de carbono do solo, excetuando-se o tratamento N, observa-se que os solos com adubação orgânica apresentam maior teor de carbono nos resíduos esqueléticos e rotação de culturas PD, em profundidades, nos solos LVdf-Dourados e LVdf-Maracaju, exceto do solo PD1P do LVd-Campo Grande de 0 e 1-2 cm. Isso representa, consequentemente, um acréscimo no estoque de carbono de 4,72 (PD2P2) e 0,18 Mg ha⁻¹ (PP) no solo LVdf-Dourados, 0,11 (PD2P2) e 1,1 Mg ha⁻¹ (PP) no LVdf-Maracaju, 2,0 (PP) e 0,4 Mg ha⁻¹ (PP+L) no solo LVd-Campo Grande, demonstrando o potencial dessas adubações orgânicas em recuperar os estoques de MO do solo. As maiores alterações nos resíduos esqueléticos dos solos, foram observadas na camada de 0 cm, o que favorece a incorporação da matéria orgânica de MOP com o fundo de arado, a manutenção e ou recuperação desse no solo. A manutenção dos estoques de

que foi utilizada para sua utilização no solo preparado convencional. Porém, os solos Lfd-D e H-C, com a presença de um horizonte sárco, sendo utilizados durante 2^o nos solos preparados convencional de solo fértil e 2^o nos solos preparados degradados, respectivamente, as características nutricionais desses solos com exceção e os efeitos de óxidos de Fe e Al, a saber, e demonstrados (Figura 4).

O efeito do Lfd-C demonstrou maiores diferenças no esqueleto de carbono dos sistemas com os agentes e reação ao PD e a não ser a mudança do esqueleto de N, podendo a reação do carbono exceder a regeneração desse solo, o que poderia estar indicando a perda de desesolo e esquelético de carbono para a perda e exatidão proporcional de óxidos de Fe (goe) e Al (gisa), com a utilização em outros solos. Por outro lado, existe grande possibilidade de os agentes e a cultura de arroz, o que pode ser possível a do carbono durante o período de crescimento do porco-hum e (2000). A perda de ferro, nestes solos, depende da perda de solo a regra do Cerro do experimento, e, por isso, o processo de degradação e que os agentes se encontram (Macedo, 1998), principalmente os de exceder a regeneração com o Lfd-C.

... Fatores que influenciam a organização do solo

Diferenças das estruturas orgânicas, e decorrente dos sistemas de uso e manejo, e a do solo estudado, podem ser observadas na Tabela 7.

No Lfd-D e H-C o perfil, por ser a maior parte das estruturas orgânicas decompostas, foi que representou a maior porcentagem do CO do solo, contribuindo com 72 a 87%. Os maiores valores percentuais (72 a 76%) são observados na camada de 0-5 cm, onde a contribuição das estruturas é maior. Entretanto, a FLO representou os maiores valores de carbono e, em todas as profundidades e sistemas de uso e manejo. Na camada de 0-5 cm, onde o efeito do manejo é mais pronunciado, 14 a 20% do CO do solo ocorreu na MO oculta e a gredos, com destaque para os sistemas com os agentes (PD2P2 e PP), os quais representam a maior quantidade entre os sistemas (20%). O efeito dos níveis de solo reafirmados a gredos o favoreceu a ocorrência de matéria orgânica e, em todas as camadas, evidenciando a importância da manutenção de práticas de manejo e uso do CO e solos tropicais.

Tabela 7. Teores de carbono nas frações fússil MO (ELL, FLO e FP), carbono orgânico (COT) e de celulose e hemicelulose (COT), nos três solos estudados, sob vegetação de *N. pluviale* (N), *P. d. 2* (PD2P2), *P. d. 1* (PD1P) e *P. l.* (PP) e de *C. guineensis* (PP+L) e de *C. guineensis* (PP+L).

Solo	Séries de uso e manejo	COT		FLL		FLO		FP	
		g C g ⁻¹ solo	so	g C g ⁻¹ solo	so	g C g ⁻¹ solo	so	g C g ⁻¹ solo	so
L_Df.D	N	18,2 ± 1,2	7	2,7 ± 0,4	14	1,8 ± 0,1	14	1,2 ± 0,4	7
	PD	18,2 ± 1,2	7	1,1 ± 0,2	8	0,8 ± 0,1	21	1,1 ± 0,1	72
	PD2P2	24,48 ± 1,2	7	1,28 ± 0,2	8	0,4 ± 0,1	2	17,1 ± 0,1	7
	PP	1,4 ± 0,2	7	2,2 ± 0,1	8	7,0 ± 0,4	2	2,42 ± 0,1	7
	N	1,8 ± 0,8	8	0,8 ± 0,1	2	2,88 ± 0,2	14	17,27 ± 0,7	8
	PD	1,11 ± 0,1	8	0,8 ± 0,1	2	2, ± 0,2	18	12,98 ± 0,1	8
	PD2P2	17,2 ± 0,4	7	0,47 ± 0,1	2	0,27 ± 0,1	12	1,88 ± 0,1	7
	PP	18,36 ± 1,2	7	0,81 ± 0,2	4	0, ± 0,1	12	14,2 ± 0,7	77
	N	1,7 ± 0,1	2	0,1 ± 0,1	2	1,01 ± 0,1	11	14,48 ± 0,1	87
	PD	1,1 ± 0,8	2	0,48 ± 0,1	2	2,44 ± 0,1	1	12,8 ± 0,1	81
	PD2P2	1,7 ± 0,4	2	0,4 ± 0,1	2	2,1 ± 0,2	17	12,78 ± 0,2	81
	PP	1,2 ± 0,1	2	0,7 ± 0,1	2	2,0 ± 0,1	18	12,02 ± 0,1	8
L_Df.M	N	22,88 ± 0,7	7	4,12 ± 0,2	14	11,4 ± 0,1	28	24,42 ± 0,1	1
	PD	22,41 ± 0,7	7	0,04 ± 0,2	4	4,14 ± 0,1	18	17, ± 0,4	78
	PD2P2	0,7 ± 0,2	7	1,2 ± 0,1	4	0,84 ± 0,2	12	22,01 ± 0,8	7
	PP	0,7 ± 0,2	7	1,88 ± 0,1	21	7,4 ± 0,8	21	2, ± 0,2	74
	N	21,2 ± 0,1	2	0,2 ± 0,1	2	4,1 ± 0,1	20	1, ± 0,1	70
	PD	22,2 ± 0,1	1	0,2 ± 0,1	1	0,27 ± 0,4	1	18, ± 0,1	84
	PD2P2	2,8 ± 0,8	1	0,4 ± 0,1	1	0,7 ± 0,1	1	10,42 ± 0,1	81
	PP	24, ± 0,1	2	0, ± 0,1	2	4,0 ± 0,1	1	10,07 ± 0,7	81
	N	18, ± 0,1	2	0,28 ± 0,1	1	2,0 ± 0,1	11	1,8 ± 0,1	8
	PD	10,8 ± 0,1	1	0,18 ± 0,1	1	2,1 ± 0,2	11	17,2 ± 0,4	88
	PD2P2	20,2 ± 0,1	1	0,27 ± 0,1	1	2,42 ± 0,4	12	17,0 ± 0,1	87
	PP	21, ± 0,1	2	0, ± 0,1	2	2, ± 0,1	12	18, ± 0,1	87
L_Df.C	N	1, ± 0,1	1	0,24 ± 0,2	14	0,8 ± 0,1	17	22, ± 0,1	7
	PD	2,24 ± 0,1	14	0, ± 0,1	14	0,4 ± 0,1	22	1,1 ± 0,8	4
	PD1P	21,04 ± 0,1	14	1,0 ± 0,2	14	0,14 ± 0,1	2	14,04 ± 0,1	8
	PP	22,4 ± 0,1	8	1,24 ± 0,2	8	4,2 ± 0,1	12	1, ± 0,1	7
	PP+L	27,78 ± 0,4	8	2,1 ± 0,2	8	0, ± 0,1	2	10,1 ± 0,2	8
	N	1,8 ± 0,1	8	1,74 ± 0,2	8	0, ± 0,4	17	1,2 ± 0,1	74
	PD	18,8 ± 0,4	8	1,1 ± 0,2	8	0, ± 0,2	12	14,02 ± 0,1	7
	PD1P	10,4 ± 0,8	8	0, ± 0,1	8	0,4 ± 0,1	17	1,4 ± 0,8	8
	PP	21,0 ± 0,4	8	0,7 ± 0,1	8	4,1 ± 0,1	12	17,1 ± 0,2	78
	PP+L	21,28 ± 0,2	4	0,7 ± 0,1	4	4,0 ± 0,1	1	17,04 ± 0,2	8
	N	0,2 ± 0,4	4	0,72 ± 0,1	4	2,7 ± 0,1	1	14,8 ± 0,4	81
	PD	18,04 ± 0,1	1	0, ± 0,1	1	2,7 ± 0,1	1	14, ± 0,1	8
PD1P	17, ± 0,1	17	0,1 ± 0,1	17	0, ± 0,1	17	14,1 ± 0,4	8	
PP	10,7 ± 0,2	1	0, ± 0,1	1	0,14 ± 0,2	1	1,8 ± 0,1	81	
PP+L	18,4 ± 0,1	14	0, ± 0,2	14	2, ± 0,1	14	1, ± 0,7	8	

ª Média ± erro padrão da amostra, a porcentagem correspondente a pesos 1 repetição.

A FLL, a qual depende dos níveis de produção fixa e líquida, variou de 1,1 g C g⁻¹ de solo a 2,7 g C g⁻¹ de solo a uma profundidade superficial, representando a 16% do CO₂ respirado no solo. Nas demais profundidades contribuiu inferiormente, variando de 0,4%. A maior profundidade superficial, o maior nível de produção líquida e o menor nível de produção fixa (FLL) (2,7 g C g⁻¹ de solo), diferindo do sistema PP. Isso evidencia a contribuição do material orgânico senescente (Lignina) do Cerrado, depositado na superfície, a maior contribuição do carbono líquido MO. Na FLO, em resumo, o maior nível de produção líquida e o menor nível de produção fixa (1,1 g C g⁻¹ de solo), diferindo do sistema PD.

Entre os sistemas de manejo (PD, PD2P2 e PP) no solo L_{df}-D, o sistema PD apresentou os maiores teores de carbono e, portanto, as maiores profundidades, com exceção da FLL a uma profundidade de 10-20 cm. Apesar do tempo de duração do experimento ser considerado relativamente longo (anos), o solo sob PD não apresentou os efeitos orgânicos do Cerrado (Lignina) após a partir de ser cultivado e, portanto, de rotação de culturas (na área sob, longo solo e longo solo), outros fatores podem estar contribuindo para esses resultados, como por exemplo, o modo como o solo foi conduzido anteriormente, a natureza do experimento e a quantidade de resíduos dos resíduos vegetais adicionados na área e pelo sistema, cuja decomposição pode ser afetada pelas condições climáticas locais.

O L_{df}-M apresentou os maiores efeitos orgânicos de CO do solo (Lignina) e a FP contribuiu com a maior proporção de CO entre os três solos (Lignina 7), representando 88% do CO no sistema PD a uma profundidade de 10-20 cm. O sistema se quebra contribuiu com as maiores partes do COT no solo decresceu e a profundidade. Entre os sistemas de manejo, a maior concentração de carbono líquido FLL que não é FLO a uma profundidade na ordem PD < PD2P2 < PP. Na maior profundidade superficial, os teores de carbono líquido FLO variaram de 4,1 g C g⁻¹ de solo (PD) a 7,4 g C g⁻¹ de solo (PP), o que equivale a uma contribuição de 18 a 23% do CO do solo. Resultados encontrados por ochn et al. (2004) a partir de áreas degradadas < 20%, a uma profundidade de 10 cm de solos sob vegetação e a área revela que a proporção de CO do solo recuperado pelo FLO representou 22% a 17% e foram maiores e os solos com maior conteúdo de matéria orgânica, porém, inferiores aos observados neste estudo. Nas

densidade, é rico de água, vindo separada das frações orgânicas e das emulsões e a crogredos.

O sistema PD, a ocorrência do ocorrido nos outros solos, se resolveu para as concentrações de carbono do FLO e, principalmente, de FLL e, em alguns casos, de matéria orgânica. A possível explicação para estes resultados é a grande quantidade de matéria orgânica utilizada no solo e, em uma análise no furo do FLL com o no furo do FLO desse sistema, o que pode estar usando uma superexatidão dos autores. Esse é o que foi constatado, a essa proporção, para os outros sistemas de matéria orgânica e a sua importância é explicada, uma vez que a análise, no período anterior à instalação do experimento, foi submetida às mesmas condições. Geralmente pode ser um ponto não considerado para o evento de alguns solos (Pycher et al., 1987; e Silva et al., 1990). E o mesmo (1990) esclarece que a próxima análise de matéria orgânica e, em um solo, a análise de matéria orgânica, resultando de matéria orgânica e que a matéria orgânica. Pelos resultados obtidos pela espectroscopia de RMN ¹³C (Tabela 11), os quais serão discutidos no Estudo constatou-se a maior proporção de Carbono orgânico reativo no FLL do sistema PD e, em relação aos outros sistemas, o que é uma evidência da presença de matéria orgânica.

Por sua vez, a PP do L-d-C, a análise conduzido se, a duplicação, o que se refere no reduzido desenvolvimento e, que a análise se encontra no solo e, que foi realizada com o solo. A área da superfície está exposta ao solo e a chuva, com pouco matéria orgânica senescência disponível para os nutrientes e para proteger o solo da degradação. Conseqüentemente, a área da superfície (C_{org}), esse sistema a presença maior concentração de FLL (60%) com 1,24 g C g⁻¹ de solo e de FLO (130%) com 4,2 g C g⁻¹ de solo e a maior concentração de FP (70%) para o COT, entre os sistemas de matéria orgânica. A proporção de carbono das frações do sistema PP, as análises mais profundas, foi maior do que nos demais sistemas analisando a matéria orgânica de 2% com um estoque e ex do 1,22 Mg ha⁻¹ e se refere ao sistema PP+L (1,30 Mg ha⁻¹) (Tabela 12). Com pontos de análise e observados por Fischer et al. (1994) e a análise da matéria orgânica das análises, foi reduzido a o sistema a diminuir a gressivo, e, a análise da análise, esse deve degradar.

Nesta Figura, o serviu-se o efeito dos sistemas de manejo na redução de carbono nos componentes das frações orgânicas do MO dos resíduos estudados.

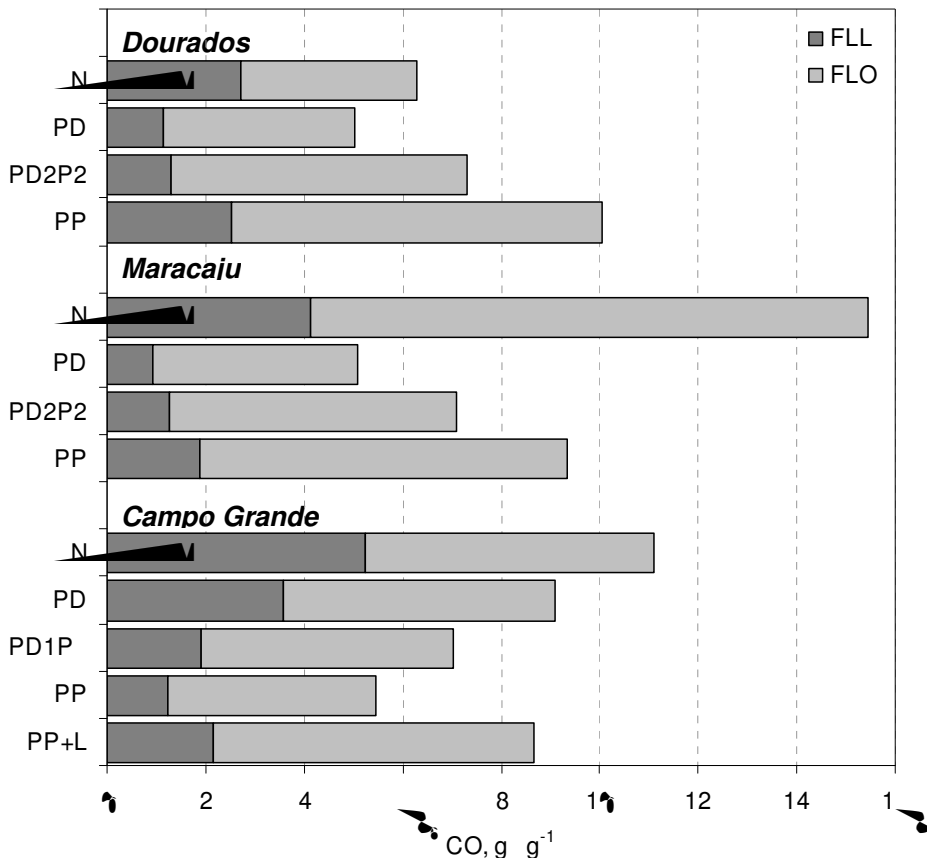


Figura 1. Teores de carbono nas frações orgânicas do MO (FLL e FLO) da área de estudo dos resíduos estudados, sob diferentes sistemas de uso e manejo. VN: vegetação nativa, PD: pântano de águas rasas, PD2P2 e PD1P3: rotação a vau da soja, solo pântano de águas rasas, PP: soja, perene de grama, PP+L: soja, perene de grama consorciada com eucalipto.

Considerando o aumento na redução de carbono nas frações orgânicas do solo sob o sistema PD para os sistemas consorciados, o serviu-se com o teste de significância entre os solos L_{df-D} e L_{df-M}.

Entre os sistemas PD e PD2P2, o aumento de carbono na FLL foi significativo para o solo L_{df-M} do que para o solo L_{df-D}. Enquanto que a FLO, o aumento foi maior no L_{df-D} do que no L_{df-M}. A concentração de FLL no solo é afetada pela adição de resíduos (Besard et al., 2010) e pelo ciclo de vida do solo (Liu et al., 2010), pois sua

permanência no solo e a reação da paisagem própria reação no
ocorrer e nos e... 1994... endoss... pode-se dizer que o PD2P2 do
L_dfd... condicoes que a ca... sa
degr... o... sa... vo... ve... do que no solo L_dfd-M...

... , entre os dos s... s... co... p... sa... gens, o... u... en... o de ... r... l... no
que ocorreu a FLL fo... p... a... en... e o do... ro no L_dfd... M... no que a FLO
fo... u... o... s... a... r... en... re os dos solos. En... re os s... s... e... a... s ex... re... os, PD e PP,
o... servou-se, a... no... a... FLL q... a... no... a... FLO, u... n... a... u... en... o de ... r... l... no e... n... orno
de d... s... vezes... a... sa... vo... ve... p... a... o... s... s... e... a... PP.

Considerando que a incorporação de matéria orgânica recente no
n... er... or... de... a... g... re... dos... (preferencia... en... e... a... cre... gre... dos...), representa... u... dos
pr... nc... p... s... e... n... s... os de pro... e... a... o e es... t... a... a... o... d... MO no solo (B... re... e... a... ,
1994... B... usa... n... e... a... , 199... B... esden... e... a... , 1998), o... a... e... a... org... n... co
pro... eg... do... f... s... a... en... e... , que cons... t... u... a... FLO, p... a... rece ser coerente com a... q... nde
percentagem... de... a... cre... gre... dos... nos s... s... e... a... s co... p... sa... gens desses solos.

O... a... en... e... en... os ox... d... vo... do solo solu... p... n... o... dre... o de cu... u... s... a
na... s... e... n... ro... a... o co... n... q... n... e... s... perenes e, pr... nc... p... a... en... e... , solu... p... sa... ge... n...
per... a... nen... e... de... q... n... e... s... perenes, n... e... ns... f... os fluxos de... a... e... a... r... l... no
fo... oss... n... e... a... do, nu... r... en... es, e... o... e energia no solo, refe... ndo-se no... a... u... en... o
dos... e... ores de... a... r... l... no, pr... nc... p... a... en... e... a... vés dos co... n... p... r... e... n... os... a... sa... l... e... s...
d... MO, os q... a... s... a... o... a... s... sens... ve... sa... o... a... ne... o do solo L... regor... ch... a... n... zen,
1994...

Ao comparar os outros dos solos, o... servou-se, a... FLL do L_d... C...
que o... a... r... l... no sofreu u... n... def... c... do s... s... e... a... PD p... a... os de... a... s... s... e... a... s,
q... a... ndo de 47° en... re PD e PD1P a... o... en... re PD e PP e... a... 48° en... re PD e
PP+L. Por ou... tro... do, o def... c... de... a... r... l... no... a... FLO fo... en... or e ocorreu so... n... e...
en... re PD e PD1P... 6° e en... re PD e PP... 12°, enq... n... o que en... re os
s... s... e... a... s PD e PP+L ocorreu u... n... a... u... en... o de 18° a... FLO. A pr... nc... p... a... u... a...
do... a... cen... t... a... do decrésc... io de... a... r... l... no... a... FLL no s... s... e... a... PD e... n... re... a... o... os
de... a... s... s... e... a... s é... a... e... a... d... , e... a... vez superes... t... a... d... , concen... t... a... o de
a... r... l... no... a... FLL do s... s... e... a... PD, confor... m... e... d... scu... do... a... n... er... or... en... e.

Considerando pelas os s... s... e... a... s co... n... p... sa... ge... n... per... a... nen... e... (PP e
PP+L), o... servou-se u... n... a... crés... c... io de 7° e de 4° p... a... a... FLL e FLO,
respec... t... i... v... en... e... Esper... a... -se u... n... a... crés... c... io... en... os... a... cen... t... a... do en... re esses

ss.e.a.s, porém, a quantidade de matéria orgânica (fermentação e digestão) é diferente e a velocidade de decomposição PP+L é diferente da presença de equinóides nesse ss.e.a. Essas condições, entretanto, expressam o significado potencial do ss.e.a. PP+L e a utilização da matéria orgânica e proteínas dentro da grama, tornando-os menos disponíveis para os organismos e suas enzimas e reduzindo a velocidade de decomposição dos resíduos (Christensen, 2000).

A magnitude do efeito dos tratamentos (permanente e rotacionado) nos diferentes ensaios de produção de MO foi avaliada pelo teste de ANOVA e o teste de Tukey para o teste de diferença entre os tratamentos de CO₂ do solo, a partir de 10 cm, para os solos L_d-D e L_d-M. Não se considerou referência o solo e PD. Por outro lado, devido à presença de matéria orgânica FLL e FLO do solo L_d-C e PD (a não ser de cultura natural), utilizou-se o ss.e.a. PP (a seguir permanente), o qual foi fermentado, como referência para avaliar o efeito dos ss.e.a.s PD1P (rotacionado) e PP+L (a seguir permanente) de equinóides consorciado com equinóides, os quais são presentes e horra no de fermentação (Tabela 8).

Tabela 8. Esquema de produção das frações (FLL, FLO, FP, COT) e não solo negro (COT) a partir de 10 cm e reação do solo das frações com a produção do COT para os três solos estudados.

Solo	ss.e.a. de matéria orgânica	FLL	FLO	FP	COT	ΔFLL ou ΔCOT		
						FLL	FLO	FP
Mg C ha ⁻¹								
L_d-D		1,1 ± 0,1 ^a	2,74 ± 0,1	3,2 ± 0,1	3,7 ± 0,4			
	PD2P2	1,7 ± 0,1	1,17 ± 0,1	3,91 ± 0,1	12,8 ± 0,4	2	4	4
	PP	1,2 ± 0,1	1,3 ± 0,2	1,72 ± 0,8	1,33 ± 1,1	11	9	3
L_d-M		1,1 ± 0,2	2,73 ± 0,1	11,7 ± 0,1	1,1 ± 0,4			
	PD2P2	1,84 ± 0,1	1,34 ± 0,1	1,4 ± 0,1	2,2 ± 0,4	4	22	74
	PP	1,27 ± 0,1	1,1 ± 0,1	17,7 ± 0,1	24,1 ± 0,2	7	2	8
L_d-C		1,8 ± 0,1	1,33 ± 0,1	7,3 ± 0,2	1,1 ± 0,1			
	PD1P	1,83 ± 0,1	2,41 ± 0,1	7,91 ± 0,1	1,1 ± 0,3	-	-	-
	PP+L	1,91 ± 0,1	1,1 ± 0,1	8,33 ± 0,1	1,1 ± 0,2	17	42	41

^a Média ± erro padrão.

A proporção de CO₂ liberado no solo nos ss.e.a.s com os tratamentos, e a diferença nos ensaios de produção, foi semelhante entre os solos

L_dfd-D... M... que ocorreu em níveis crescentes de produção do MO do solo em áreas FLL, FLO e FP. O esqueleto de arluno da FLO foi superior ao da FLL, o que é coerente com a existência de dois níveis de produção com um nível de produção do MO a cada vez de reação no eixo radial das estruturas orgânicas e ocupação desses no interior de agregados. Na mesma forma, a FP ocorreu na proporção do esqueleto de CO do solo, sendo coerente com a presença, a FP, dos níveis de reação, produção física e química do solo., 1992.

O sistema de produção perene contribuiu para a manutenção de arluno da FLL do que o sistema rotativo a longo prazo, devendo proporcionar o não interrupção do ciclo de produção. Assim, a quantidade de resíduos tende a ser contínua e a ocorrência de decomposição tende a diminuir.

Para os solos L_dfd-D... M... benefícios dos sistemas de produção que controlam os requisitos de nível de revolvimento do solo e a produção de resíduos vegetais (sistemas com produção) se referem à manutenção de produção de arluno no solo, principalmente a nível dos níveis de produção física e química. O número de MO produzido de decomposição é controlado no interior de agregados (FLO) contribuindo para a eficiência do número de CO no solo em áreas de produção, sendo responsável por 40% do número de arluno no solo L_dfd-D... P2 a 20% no solo L_dfd-M... a nível, pode-se inferir que o nível de produção física foi de 17 vezes mais por unidade de arluno no solo do que o nível de reação.

O nível de produção química foi o mais por unidade de arluno no solo, sendo que o arluno da FP representou de 40% do número de CO no solo L_dfd-D... 8 a 74% no solo L_dfd-M... concordando com resultados de estudos que indicam ser essa a maior responsável pela manutenção da estrutura do esqueleto de CO (Christensen, 1992; Gardner e O'Connell, 1994; Exe, 1992; Roscoe Machado, 2002). No solo L_dfd-M... o esqueleto de CO foi a maior proporção de arluno associada à produção (FP) e foi a maior.

Para o solo L_dfd... houve efeito positivo para os sistemas PP+L e reação do sistema PP, o que foi usado como referência. O sistema

PD1P a pesar de a presença da cúbulo de a rônio da FLL e da FLO superior a o s.s.e.a PP a presença a cúbulo inferior da FP e a a lúe no esoque de CO $_{2}$, o que faz com que o efeito do a or supri eno de a rônio a o so o a a e a r cta do a o se a n fese. O a o do s.s.e.a PD1P sera dup do so en e a a n a o d s a , segu do por r e s a nos com a s e o con úno se a dup a o d a s a g e n , pode es a r con r l u n d o a a o dec n o no a cúbulo de a rônio no com a r e n e n o a s es a ve d MO do so o. Por ou ro a do, o s.s.e.a PP+L a é de rece a dup a o de a nu ena o a d d o s a nos, f a n r o g e n o a a n o s f e r c o a a v e s d e g u n o a consora d , b e n e f a n d o, des a for a , o desenvo v e n o d g a n n a e, conseqüen e n e, o efeito des a solu a a g e a o e pro e a o d MO do so o e a g e a dos es a ve s, b e n com o con r l u n d o a a a u n e n r o esoque de a rônio sso a do com a a r z n e a .

Por s a vez, o uso do so o com PP+L a presen ou re ex n e a n p o n a e n o d o s a n e a n s o s de pro e a o d MO. O a n e a n s o de pro e a o f s a se a n o s r o a o e f c e n e q u a n o a pro e a o q u e n a e n a c u n a r a rônio no so o, sendo que a d a n e a n s o fo respo a ve por a prox a d a n e n e 45° do CO $_{2}$ a c u n a do a d a d a superf a do so o. Esses resu a dos ev d e n a n que a u a a o de u n s s e a a n a do com a q u d de con d u z o so o a n g r q u d de.

5.4 Conclusões

A n c u a o de a q u a nos s s e a s de produ a a a v e s d a n e g a o com a c u n a s produ a s de o a s solu a n o d r e o ou com o a s a g e n con úno , propor o a u a a n e hora g e a a o o so o, b e n com o n c r e n e n o do esoque o a de a rônio e n so os d r e a o do C e r a do B a s e r o.

A n e hora d a g e a o e o a u n e n o dos e o r e s de a rônio a s f a õ e s f s a s d MO e do CO $_{2}$ e n so os solu a s a g e n s es a o r e a c o a d o s, pro a v e n e n e, com a con r l u a o do a por e de a e a o r g n c o a r c t a do a r e a é r a e, p n c a n e n e v a s s e a a d c u a r d s g a n n a s p e r e n e s u a a d s nos s s e a s de produ a o.

O efeito da passagem da proeza o f_s_a, e, s_s_e_a contínuo, depende de u_a_a deq_u_d_a d_u_a_a o de l_a_n_u_e_n_a o. E, s_s_e_a de r_o_a o co_n_c_u_s_s_a_n_t_s, o efeito da passagem a_l_e_n depende d_u_a_a o do c_c_o_l_a_n_d_o co_n_a_vou_t .

O l_e_n_s_o de proeza o f_s_a p_e_a g_r_e_a o, nos s_s_e_a s co_n_p_a_s_s_e_n_s, fo r_e_s_p_o_n_s_a_v_e por l_a_s de 1º do a_c_u_i_o de a_r_l_o_n_o no so o L_d_f_D_e_s_p_a_s e por l_a_s de 2º no so o L_d_f_M_e_s_s_a, sendo l_a_o_r_p_r_e do a_r_l_o_n_o do so a_c_u_i_a do a FP. No so o L_d_G

6 ESTUDO II

Qualidade da matéria orgânica em sistemas de manejo sob pastagens, avaliada por RMN ¹³C CPMAS, em solos da região do Cerrado Brasileiro

6.1 Introdução

Práticas de manejo do solo exercem considerável influência sobre os níveis de MO do solo por controlar a quantidade de substrato disponível, a taxa de decomposição e de mineralização da MO do solo. Entretanto, o teor de MO do solo será influenciado pelo uso da terra e a sustentabilidade dos sistemas agrícolas, compostos por diferentes tipos de MO do solo, a qual afetará diretamente sua estabilidade, a qual deve ser considerada em estudos sobre seu comportamento no solo, pois o conhecimento sobre a estrutura e função da MO pode ser usado para avaliar o impacto de diferentes usos de manejo do solo. (Gardner, 1987; 1988; Johnson, 1994; 1994; 1996; Cerezo, 1996; Badoea, 1997; Conner & Pardo, 1997; Öge-Özkaner, 1997; Leung & ea., 1997; Bayler & ea., 2000; Pardo, 2000; Johnson, 2001; Freixo & ea., 2002; Öge-Özkaner, 2004; Roscoe & ea., 2004; Deon & ea., 2000; Dc & ea., 2000).

A significante influência dos sistemas de manejo sobre a composição de frações densas é relativamente recente e ocupa-se de alguns estudos, sendo que estes ocorreram em organismos, principalmente a FLL, a qual é sensível e diretamente afetada pelo manejo do solo (regorche, 1980; regorche & nzen, 1990; X & ea., 1998). O efeito do manejo e a preservação da MO é relacionado ao uso de sistemas agrícolas que favorecem e preservam a estrutura do solo, possibilitando a aeração e a estabilidade da MO física e protegida no interior das agregados de solo por um longo período de tempo. A fração pesada, constituída por MO associada aos

nessas, pertence a um conjunto em o orgânico as esse (Chrisensen, 1992; ochne, 1997). A evidência de de fura o pead é ra ad e, so os ropas dev do ca o eor de óx dos de Fe e A c o ns ea ., 1997. Zore e.a ., 2001). A composição química dos materiais orgânicos vres (ELI) a n, é a s a a c, ef, s, a s do a, e a vege, de org, e L och n e a ., 1994, 1994). Por ou, roa do, a s a a ões verfa d s a co, n, pos, a o e a qu d de do a r, onoa ssoa do co, n, a FLO e co, n, a FP a o resua, n, es de dferena s a a a urea e a a a gn, ude dos processos de deco, n, pos, a o a a n, es e, n, d d so o e n, fuen, a dos pe os dferen, es s, e, a s de a, n, e o.

Técnicas como a espectroscopia de ressonância magnética nuclear (RMN) é conduzido os maiores avanços em estudos de a a c, e, r, a, a o d MO do so o. Den, re esa s t, e, c, n, a s a RMN ¹ C CPMA e, n, s do a s frequen, e, n, e u, a, d e a a n, e, n, e, a ce, a a a a a o d s a a ões a co, n, pos, a o es, ru, u, d MO du, n, e sa deco, n, pos, a o, o que se exp, e, a e, n, dferen, es r, i, ve s de rea, c, a, n, a e es, a, a, a o d MO no so o. L och n e a ., 1994, 1994, 1997, Cere, a, 1997, B, doc e a ., 1997, Con, e P, cco o, 1997, öge - a, l, ner, 1997, e, n, s, d e a ., 1997, B, yer e, a ., 2001, P on, 2001, oh e a ., 2001, Frexo e a ., 2002, ö, l, öge - a, l, ner, 2004, Roscoe e a ., 2004). Esses estudos e, n, de, n, s, a do que po sa a r, deos a o os co, n, ponen, es es, ru, u, s p, r, i, e, a, n, e, n, e, a fe, a dos pe deco, n, pos, a o e, n, cro, l, a, a, , conduz ndo a u, n, decrésc, n, o no con, e, údo de C O a qu . Ad co, n, e, n, e, e, n, e, n, u, os estudos, u, n, con, co, n, a, n, e, a u, n, e, n, o no con, e, údo de Ca qu e, n, s do o, l, s, e, r, u, do e exp, e, d do pe a p, reser, v, a o se e, a e pe a s, n, ese e, n, cro, l, a, a *in situ* L och n e a ., 1994, B, doc e a ., 1997, P on, 2001, ö, l, öge - a, l, ner, 2004).

A vantagem da técnica de RMN é que ela fornece informações sobre a composição química dos materiais orgânicos presentes e a a a os s de so o n, e, ro ou de f, a ões org, n, a s, se, n, a necess, d de de exp, e, a o e f, a co, n, e, n, o qu, i, n, co. Apesar de ser u, a, d b, a, s de qu, i, ro d, e, a d s, so, n, e, n, e nos ú, l, t, i, mos 1 a 2^a nos é que o desenvolvimento da RMN ¹ C e, n, p, e, r, i, do a exp, e, n, a o de seu uso e, n, estudos de MO do so o. No em, n, o, n, f, o, r, m, a ões referen, e, s o efe, o do uso do so o a co, n, pos, a o qu, i, n, a do CO



em frações densitométricas de soosa nda o nsufc en,es, prncp l, en, e no que dz respe,ca so os ,ropas s l, as e ros.

Es, e es, udo h, se, -se p, segu n, e h p, e, se:

Es, e, as de la néo sol, p, sa gens de qu, l, na s perenes nfue, n, p, q, d de d, la é, a org n, a eve vre, ocua e, a greg dos ea ssoc, d, a os l, n, e, s de so os ,ropas s d, rega o do Cera do Ba s e ro.

O o, l, e, vo do presen, e es, udo fo :

A, a, ra nfue, n, ca de ss, e, a s de la néo sol, p, sa gens, p, q, d de e co, n, pos, a o qu, l, a d, la é, a org n, a do so o e de sa s fr, ões f, s, a s dens, l, e, r, a s.

6.2 Material e métodos

nf, o, ra ões referen, e, sa sa ra s exper, l, en, a s e proced, l, en, os de co, ea e prep, a ro de a, l, os, a s de so o fo, l, a descra, s no l, e, n, M, e, a e Mé, odos e, a .

A segu r se, a descra, l, e, o do u, a d, a sa s ses ra, a d, s.

2.1 Fração em, o dens, l, e, r, co d, la é, a org n, a

Co, n, o o, l, e, vo de se o, l, e, r qu, n, d de suf, c, en, e de a, l, os, a s fr, ões org n, a s p, a, a ra, a, a o d, sa p, ses espec, r, osc, op, a s de RMN, ra zou-se, a repe, a o do fr, a co, n, en, o dens, l, e, r, co d, MO do so o desc, o no Es, udo u, a, n, do-se so o d, a, l, os, a org n, a de a greg dos u, a d, n, ca l, en, e. Nes, e proced, l, en, o, a FP, a é, n, d, s fr, ões eves (ELL e FLO) a, l, e, n, fo qu, n, f, a d, . Pa, a, n, o, fo ra, a d, a re, n, o, a o po, l, un, g, a, o de sódo (PTC) do so o res da, a, a, vés de a, a ge, n, co, n, a g, a des, a d, , p, a den, t, ro de u, n, l, u, o de 2 l, . O u, l, o fo fe, ch, do ea suspen, a o, a g, a d, co, n, a la o, é, a co, n, p, e, a d, sper, a o do "pe e, e" ea pós, cen, t, r, fug, a, a 2000 g por l, n. Es, e proced, l, en, o fo repe, d, o t, rês vezes, a f, n, de re, n, over o PTC d

Ni figura a presença dos espectros de RMN ¹³C CPMA da amostra de solo negro e da amostra de solo com F 10%. Para a amostra de solo com F 10% a aquisição de sinal por 4 horas e 12 horas. Eguil, resuou e os espectros de RMN com o ruído, sendo dada dos para que não se diferencie após de ruído. Por outro lado, a aquisição de sinal por 4 horas e a amostra de solo com F 10% Eguil, resuou e um espectro de RMN com o ruído.

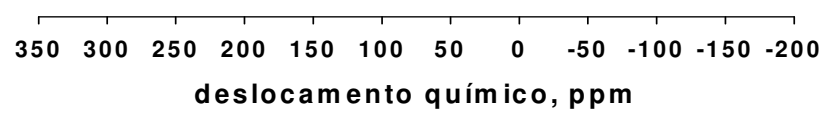


Figura Espectros de RMN ¹³C CPMA da amostra de solo negro e da amostra de solo com F 10%. Dois dos amostras de solo com F 10%.

As amostras de FLO, apesar de conterem a concentração de ruído, a amostra foi analisada com F 10%, devido a uma possível contaminação com óxidos de Fe, verificada pela cor da amostra. Essa contaminação pode ser devido ao proveniente de uma fonte associada de matéria orgânica oculta, e em seguida, devido a decomposição, com partículas finas, o que, possivelmente, está resultando em uma amostra de solo.

O procedimento metodológico para o estudo de FLO foi de descrição da amostra de solo negro e FP. Aproximadamente 1 g

O FLO foi colocado em um tubo de 40 mL e dividido em 20 mL de solução a 10%. A suspensão foi agitada durante 1 hora em agitador horizontal e, após, centrifugada durante 10 minutos a 3000 rpm. O sobrenadante foi removido e desidratado, e o resíduo foi novamente suspenso em água em um tubo a 10%. Após sucessivas diluições em água, a solução foi analisada por espectroscopia de RMN ¹³C. Por vezes, a água congelada no tubo de F e, por fim, foi congelada e analisada.

Espectros de RMN ¹³C CPMA das amostras de FLO do grupo 7 e da amostra com F 10% em solução de água dos grupos 7.

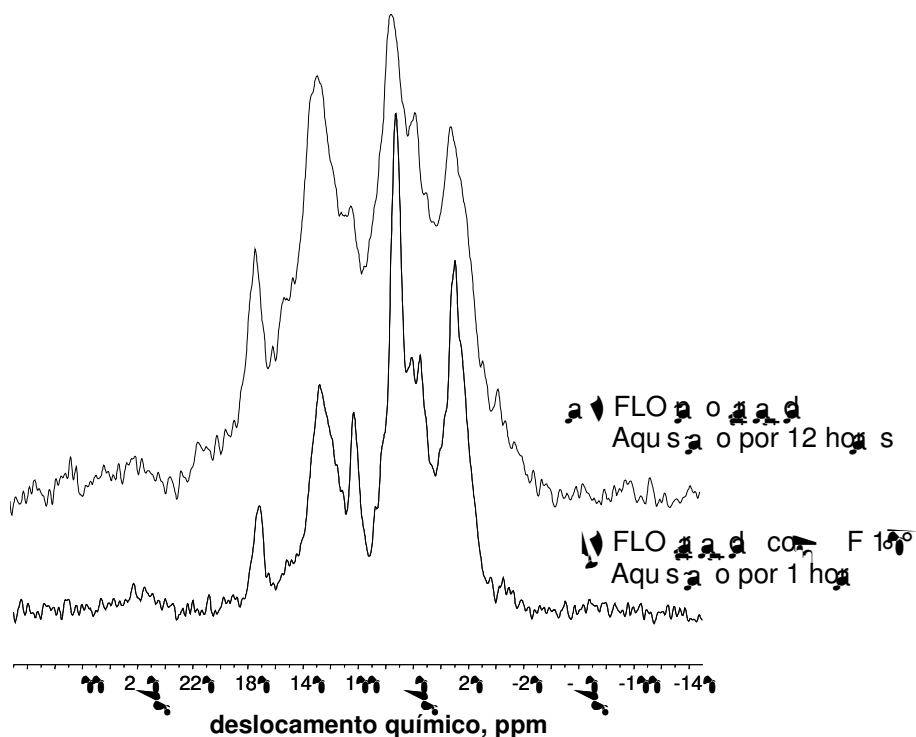


Figura 7. Espectros de RMN ¹³C CPMA das amostras de FLO do grupo 7 e da amostra com F 10% em solução de água dos grupos 7.

Das amostras do grupo 7, a aquosa de 12 horas (Figura 7), resultou em espectro de RMN com picos atribuídos a água, que é de elevada proporção de Ca^{2+} e CO_3^{2-} , o que nos levou a considerar a hipótese de que estivesse ocorrendo alguma interação das estruturas orgânicas com o Ca^{2+} e CO_3^{2-} , com partículas. A aquosa de 1 hora e a amostra com F 10% (Figura 7), resultou, no entanto, em um espectro de RMN de água do tipo que não

2. Análise espectroscópica de RMN ¹³C CPMA

A qualidade da matéria orgânica foi avaliada por espectroscopia de RMN ¹³C CPMA, segundo o modo de descrição e interpretação (1994).

A análise por espectroscopia por RMN ¹³C CPMA das amostras de solos orgânicos foi realizada com um espectrômetro Bruker BX 200, pertencente ao Departamento de Ciências Ambientais de Técnica de Munque, Alemanha. As amostras foram colocadas em um rotor de zircônio de 7 mm operando com uma frequência de giro de 282 MHz e uma frequência de ressonância do ¹³C de 101 MHz e usando-se a técnica de pulso cruzado com a sequência de pulsos CPMA. A fim de eliminar o ruído, aplicou-se nos espectros uma atenuação de 10 dB. A escala de deslocamento químico dos espectros foi referenciada pelo carbono da matéria orgânica no TMS = 0 ppm. Para uma comparação que pudesse ser feita, os espectros foram divididos em quatro principais regiões de deslocamento químico, que correspondem a diferenças de C: Cα que varia de 4 a 44 ppm, Cβ que varia de 4 a 11 ppm, Cγ que varia de 11 a 111 ppm e Cδ que varia de 11 a 222 ppm (Lüdemann, 1994). A quantidade de cada tipo de C foi relacionada às áreas da região correspondente nos espectros.

A composição da matéria orgânica das amostras de solo negro foi avaliada em espectrômetro seletivo de descrição química, pertencente à Empresa Nacional de Agropecuária, Indústria e Comércio de Pesquisa com essa finalidade. As amostras foram acondicionadas em um rotor cônico de zircônio com uma velocidade de 8,2 Hz. Os espectros foram obtidos usando-se frequência de ressonância de 101,8 MHz para ¹³C com pulso especial para o cruzado CP. Os valores de deslocamento químico foram referenciados a matéria orgânica no TMS = 0 ppm e a contribuição relativa de cada tipo de carbono para a intensidade total, foi determinada por integração das áreas das regiões de 4 a 44, 4 a 11, 11 a 111 e 11 a 222 ppm.

Para garantir a reprodução e a precisão da técnica espectroscópica, foram feitas várias repetições, e todos os procedimentos das amostras de solo negro. No entanto, para a análise espectroscópica das amostras de solos AELL e FPV realizadas no

Departamento de Soos do Instituto de Tecnologia de Minas Gerais, onde as principais análises são o preparo da amostra e a análise de dados pelo equipamento, a seguir foram realizadas as experiências para a obtenção de dados. Dessa forma, foi possível obter a curva de desenvolvimento relativo para esse material e para os demais materiais. Já para a FLO, a amostra pode ser repetida por material, foi possível de ser realizada, devendo ser observado o tempo para a amostra de RMN de materiais e experiências.

2.4 Otimização das condições orgânicas

As amostras de FLL, FLO e FP obtidas para esse estudo, foram analisadas quanto à sua estabilidade química e o teor de carbono por combustão seca, e a análise de elementos orgânicos do Departamento de Soos do Instituto de Tecnologia de Minas Gerais.

6.3 Resultados e discussão

6.3.1 Composição química do MO e do número e das funções físicas densitométricas feitas por séries de lâminas de soluções

Para todos os materiais compostos do MO do número e de densidade física foram realizadas as análises de carbono nos níveis dos.

6.3.1.1 Número

Os espectros de RMN ^{13}C CPMA das amostras de número, oriundos dos diferentes séries de lâminas de densidade de carbono nos níveis dos, estão presentes na Figura 3:

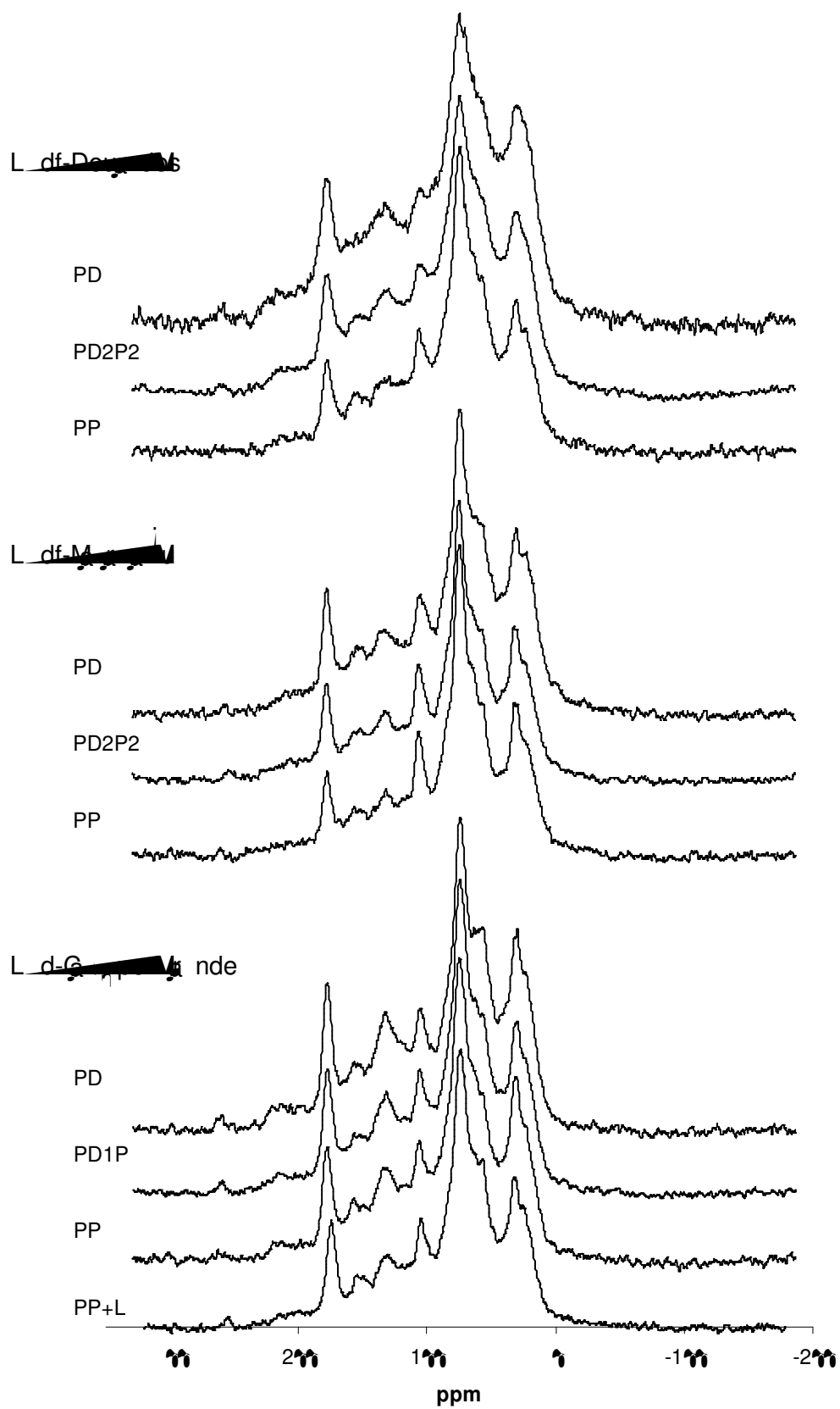


Figura 2. Espectros de RMN ^{13}C CPMA de las series de soónero, oídos dos series de ane o dos res so os a a a d de C_{27} .

Os principais sinais foram observados em δ = 8, 72-7, 1, 1, 1 e 1 ppm em 17-17 ppm. A ressonância em 1 ppm corresponde de C em ên co em compostos de onde se deriva a partir de origem, a partir de grupos, átomos, átomos e outros tipos de grupos. rupos e oxícos de grupo e o C de grupos em projeção da reação o redor de 8 ppm. Os sinais proeminentes em 72-7 ppm são atribuídos ao C oxigenado de átomos e é a combinação do peso 1 ppm, portanto, corresponde ao C de átomos de átomos. Os sinais são dos em 11 e 1 ppm são atribuídos a átomos de carbono. As ressonâncias em 1 e 1 ppm são atribuídas ao carbono C-subsistido e ao carbono O-subsistido, respectivamente, em grupo. A análise de dados em 1 ppm para carbono C-subsistido mostra que esruum orga de grupo é a análise em e ou que a análise em compostos esruum s derivado de outros fontes de grupo, fu ge, e presença no solo (Lögner, 1977). Os picos em 17-17 ppm são atribuídos de C em grupos de oxíco ou é ser de átomos compostos, no entanto, a reação ser do átomos por C de oxíco (Baldwin, 1992; Chinea, 1994; 1994; Lögner, 1977).

Os espectros de RMN¹ C CPMA foram divididos em quatro regiões de deslocamento químico, correspondem a Caqu (4-4 ppm), C Oa qu (4-11 ppm), Carbono (11-1 ppm) e C de oxíco (1-22 ppm) (Lüden, Lüden, 1977). A composição química do solo pode variar de acordo com a análise em e, de acordo com a análise em e, de acordo com a análise em e, dependendo das propriedades em e, do tipo de solo e efeito de cultivo.

Na Tabela 1 é apresentada a proporção dos diferentes tipos de átomos, a partir de análise em e de solo negro e de solo F 18 e expressa como porcentagem do átomos recuperado.

os nutrientes. Entretanto, a MO do solo negro contém, aproximadamente, 80% de C orgânico e 20% de Ca, indicando, em geral, solo, uma alta tendência de lixiviação de do solo solo para as partes rasas ou perenes. Isso é explicado, provavelmente, pela sua natureza da adição de matéria orgânica recente, principalmente em resíduos vegetais e exudatos radiculares levados durante o período de crescimento das plantas, cuja composição principal são os açúcares, o que aumenta a proporção do solo C orgânico (Pon, 2000; Öge-Altiner, 2002; Deo, 2004). Por outro lado, o aumento de Ca, associado ao aumento da decomposição e decréscimo da quantidade de resíduos decompostos no solo (s.s.e.a. PD), é resultado da utilização preferencial de potássio e fósforo pelos organismos e da preservação seletiva de Ca associada à matéria vegetal de origem e a redução da perda no lixívio (Baldwin, 1982). Baldwin (1980) e Öge-Altiner (1988) afirmam que o Ca pode ser substituído pelos organismos do solo a partir da lixiviação da matéria orgânica.

No entanto, para a introdução de plantas, consúdios por plantas perenes, o aumento da produção de biomassa vegetal durante o ano não é suficiente para a substituição do solo, ou seja, proporcionalmente a quantidade de, o s.s.e.a. PP do solo L-d-G... onde a diferença do s.s.e.a. PD quantidade contida de C orgânico. A utilização recente para esse tipo de decomposição que o s.s.e.a. PPa preservada no aumento da decomposição devdo a a perda durante a adição do excesso de matéria orgânica, o que provavelmente refere-se a uma redução da adição de resíduos, e, consequentemente, no ritmo do processo de perda da quantidade de do solo.

A adição de matéria orgânica recente no interior de solos tropicais, pode ser de grande importância para a manutenção dos níveis de MO do solo, pois, em geral, a matéria orgânica depositada na superfície, é rapidamente mineralizada por CO₂, processo favorecido pelas condições climáticas da região. Entretanto, por isso, os resíduos radiculares, incorporados durante o crescimento da planta, são disponibilizados no solo reduzindo a perda de matéria orgânica por decomposição e lixiviação dos ácidos, (1988). A MO dissolvida nos ácidos é absorvida e doada por consúdios ácidos e C orgânico (Gardner, 1984). A MO disponível é

essas mudanças devido à incorporação e, a seguir, dos, os quais protegem, f... MO da a a o decomp... dos... crorg... os... B... esden... B... ne, 1... B... esden... e... , 2... . E... so os... ne... s, po... s... a r... deos d... sso v... dos pode... d fund r... a o n... er or de poros, onde se... org... poss... ve s de sere... u... a dos co... o sul... a o pe os... crorg... n... os Adu... Q... des, 1...78... B... dd ea... , 1... .

Observou-se, para os três solos estudados, uma leve decréscimo da reação do C a r l o x e C a r o a c o E g u a e T a l e a 1... a orde... PD>PDP>PP. A... s... p... de decomp... a o de a r l o x _ c o s no s s... e... PD, co... n... enora da o de res... duos vege... sa o ongo do... no, pode es... r con... r l u n d o p... a o u... en... o de grupos a r l o x _ c o s e a r o a c o s , du... n... e o processo de decomp... a o d... MO. A pro... e... a o f... s... a... s efe... t... nos so os dos s... e... s co... p... s... gens es... a con... r l u n d o p... a o c... u... o de MO... a... s a... C O a qu... , enq... n... o que... re... c... n... a do... e... a... s hu... f... do es... a con... r l u n d o p... a a es... l... a a o d... MO no s s... e... PD.

Esses resultados foram... s... a res... os ol... dos por... nchesh e... . 1... , os qu... s u... a... RMN¹ C CPMA... p... a... a... ra co... n... pos... a o de MO... o f... c... o... d... do so o, e... n... exper... n... e... o de on... du... a o e... R... b... n... s... ed, n... a... e... . E... es encon... t... a... que o grup... n... e... o C O a qu... r... ou no... ve... n... e... e en... re os... a... n... os de... a... n... e... o, enq... n... o que o C a r o a c o d f c... n... e... e... r... ou e, que... a... q... n... d... de de... a r l o x _ c o s fo... a... or onde... s... a... d... ões de MO fo... r... a... ores.

Nossos resultados demonstram que... s... a... ões... s... o... d... s co... n... C a r l o x _ c o e a r o a c o a o r r e e... n... es e que... a... or propo... a o de C O a qu... e... n... enor de C a qu... nos s... e... a... s co... p... s... gens, a... o cons... s... en... es co... n... enor q... u... de decomp... a o d... MO propo... r... o... do por es... es s... e... a... s. A... a... o C O a qu... C a qu... a... l... é... n... fo... r... e... c... o... d... co... n... o decréscimo do q... u... de decomp... a o do MO no s s... e... a... s co... p... s... gens e pode ser u... a... d... co... n... o u... n... d... a dor sens... ve... a... s... n... u... d... na s no q... u... de decomp... a o de... a... e... a... s org... n... cos B... doc... ea... , 1...77... P... on, 2... .

A espectroscopia de RMN¹ C CPMA... n... os... r... ou-se ú... p... a... o... n... o... n... e... o... d... sa... e... ões... qu... a... u... s... d... MO e... n... a... n... os... s... de so o n... e... ro... s... l... re... u... a... es... a... de... e... n... po de... a... nos... L... d... f... D... e... B... a... 11... a nos... L... d... f... M... a... d... u... e... L... d... G... n... a... n... d... e... . u... a... t... é... c... n... a... que per... n... e... a... d... c... o... r

informações a respeito do entendimento dos usuários que ocorrem durante a utilização do de resíduos orgânicos.

1.2 Informações densitométricas de MO

As informações são apresentadas pela técnica RMN ¹³C CPMA, a presença de diferenças na composição química, pois, organiza-se de diferentes posições da matriz do solo, dependendo, dessa forma, e a cessação de decomposição pelos microrganismos. A separação dessas informações pode ajudar a definir condições químicas diferentes a partir de decomposição (Lochn et al., 1994). Desde 1988, a documentação de pesquisas, 2000, a informação de informações químicas de MO induzidas pelo efeito do uso do solo pode ocorrer, principalmente, a partir da análise de MO com o efeito (Lochn et al., 1994). No entanto, não há informações suficientes sobre o efeito do uso do solo na composição química do CO e informações densitométricas de solos.

Os espectros de RMN ¹³C CPMA de informações orgânicas nos diferentes setores da grama dos solos L. de D. de D., L. de M. de D. e L. de D. de D. apresentam a presença dos picos Figs 10, 11 e 12, respectivamente.

Embora seja sabido que os principais sinais de formação dos nos diferentes setores químicos os sinais de formação de solos. O pico do carbono nos espectros de informações físicas, a partir da superfície dos solos do tipo C. O que.

A distribuição de dados de carbono nos setores diferentes informações contém os setores de carbono, porém, e diferenças proporcionais (Fig. 11).

Fração livre

PD2P2

PP

Figura 1. Espectros de RMN ^{13}C CPMA das frações livres da MO obtidas dos sistemas de a néo do solo L. df. De acordo com a metodologia de ^{13}C .

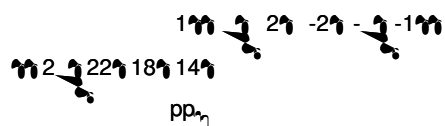
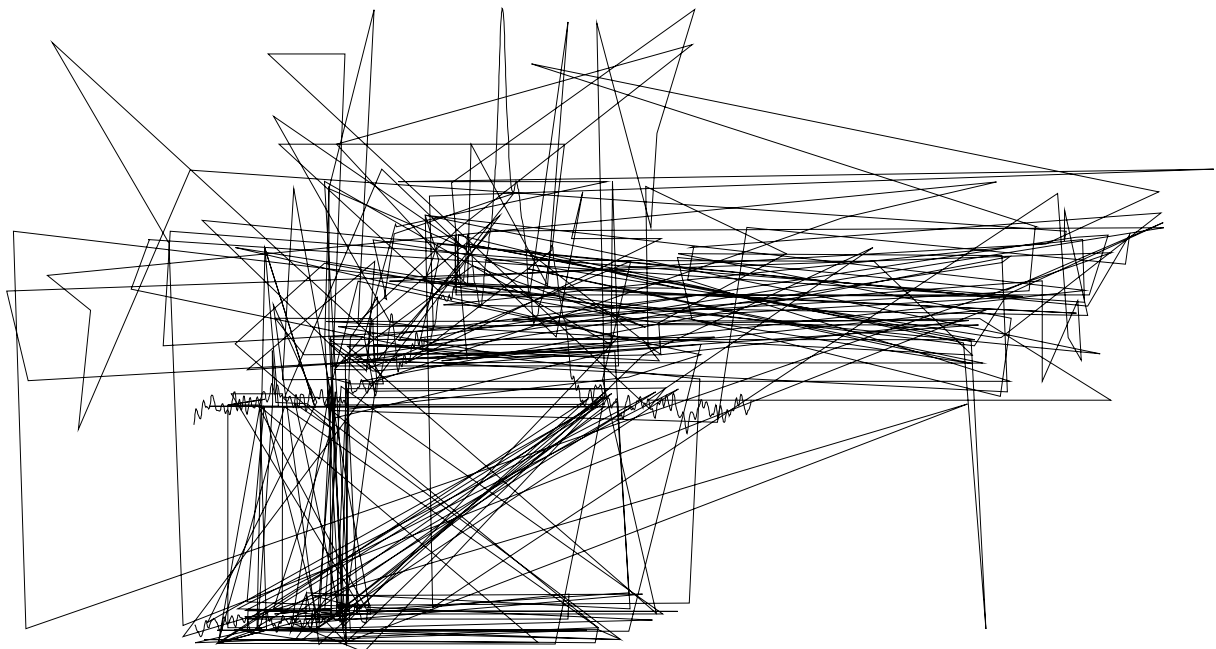


Figura 11. Espectros de RMN ^{13}C CPMA das frações isoladas MO obtidas dos sistemas de reação do solo L. de M. M. da A. de C.

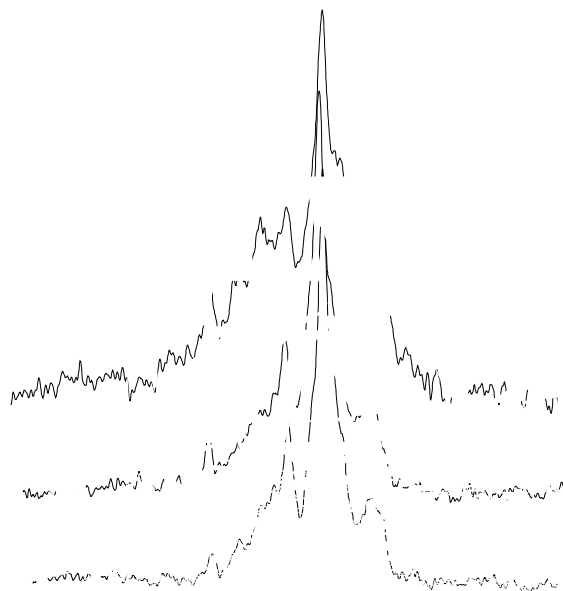


Fig. 12. Espectros de RMN ^{13}C CPMA das funções f_{sa} e f_{MO} dos sésias de L-dopa no do solo L-d-G. Onde, f_{sa} e f_{MO} de C_n .

Tabela 11. Contribuição relativa de carbono $\delta^{13}C$ de CO₂ em plantas regadas de acordo com o período dos espécimes de RMN ¹³C CPMA e a razão C/Oa qu Ca qu dos espécimes frescos de MO, para cada dose de carbono dos ressoos estudados.

Fração	Período de análise	Carb.ox.co (22-11) pp	Carb.ro.co (11-11) pp	COa qu (11-4 pp)	Ca qu (4-11 pp)	Ca qu a qu
FLL	L_df-D	12,2 ± 1,4	21,7 ± 1,1	1, ± 1,1	17,2 ± 1,8	2,22
		12,2 ± 1,4	18, ± 1,2	7,8 ± 1,1	17,4 ± 1,8	2,2
		12,2 ± 1,4	17, ± 1,8	2,8 ± 1,2	1,4 ± 1,1	4,22
	L_df-M	12,2 ± 1,4	22, ± 1,1	1,4 ± 1,1	1,2 ± 1,1	2,22
		7,8 ± 1,1	22,2 ± 1,1	8,2 ± 1,1	1,7 ± 1,1	4,24
		7,4 ± 1,1	18,4 ± 1,4	1,2 ± 1,1	12, ± 1,1	1,14
	L_df-C	12,7 ± 1,1	27, ± 1,4	44,1 ± 1,2	1, ± 1,4	2,7
		7,8 ± 1,1	12, ± 1,1	8,2 ± 2,1	1,8 ± 1,2	4,28
		7,4 ± 1,1	22, ± 1,1	12,2 ± 2,1	12,2 ± 1,1	4,21
12,2 ± 1,4		12,1 ± 1,1	8, ± 2,1	1,2 ± 1,4	1,7	
FLO	L_df-D	7,1	2,8	4,1	24,1	1,84
		7,1	2,1	47,8	21,1	2,28
		7,1	21,1	2,2	12,8	2,1
	L_df-M	7,1	2,1	4,4	21,1	2,1
		7,1	2,2	48,2	12,1	2,1
		7,1	2,1	2,1	17,1	1,1
	L_df-C	7,1	24,2	47,7	22,8	2,22
		2,1	2,1	47,1	18,1	2,4
		8,1	2,7	47,7	18,4	2,1
7,1		22,4	2,7	12,1	2,7	
FP	L_df-D	12,2 ± 1,4	17,2 ± 1,2	1, ± 1,2	21,2 ± 1,4	2,1
		12,2 ± 1,4	1,7 ± 1,2	1,7 ± 1,2	21,7 ± 1,4	2,8
		12,2 ± 1,4	1,4 ± 1,2	1,7 ± 1,2	22, ± 1,4	2,4
	L_df-M	12,2 ± 1,4	1,4 ± 1,2	1, ± 1,1	21, ± 1,4	2,1
		12,2 ± 1,4	1,4 ± 1,2	1, ± 1,1	21, ± 1,4	2,42
		8,8 ± 1,1	14,8 ± 1,8	7, ± 1,4	18,2 ± 1,4	1,14
	L_df-C	12,2 ± 1,4	17,8 ± 1,8	1, ± 1,8	21, ± 1,1	2,1
		8,1 ± 1,1	1,1 ± 1,7	4,8 ± 2,1	22,1 ± 1,1	2,48
		7,7 ± 1,1	1, ± 1,7	1, ± 2,1	21,8 ± 1,1	2,2
8,2 ± 1,1		1,7 ± 1,8	1,1 ± 1,2	22, ± 1,1	2,8	

FLL: fração eve verde FLO: fração eve oculta FP: fração pedaço PD: período de cultivo nas plantas PD2P2: razão da velocidade de crescimento, solo período de cultivo no verão e a velocidade de crescimento no inverno por 2 anos, seguido por 2 anos de período de crescimento de cultura *Brachiaria decumbens*, PD1P3: razão da velocidade de crescimento, solo período de cultivo no verão e a velocidade de crescimento no inverno por 1 ano, seguido por 3 anos de período de crescimento de cultura *Brachiaria brizantha* PP: período de crescimento de cultura *Brachiaria decumbens* PP+L: período de crescimento de cultura *Brachiaria decumbens* consorciado com a espécie *Stylosanthes guianensis*. Média ± erro padrão, poveniente da análise de variância e os valores correspondentes a cada parcela repetida por quadruplicado.

1.2.1 Fritura o Leve Livre (FLL)

A FLL é representada por fragmentos de partículas incorporadas ao solo, os quais se encontram na decomposição ou parcialmente decompostos (Cypher e.a., 1987; Loch e.a., 1987). A composição química da MO contém nessa fração é caracterizada principalmente por estruturas orgânicas e pelo grau de decomposição da MO adicionada ao solo, sendo que, no solo, o único elemento a ser considerado na decomposição da FLL é a reação que ocorre, o que a torna mais susceptível a oxição que ocorre no (Young e Cypher, 1977; Loch e.a., 1987).

A FLL é um dos elementos de degradação supraterrícola de resíduos orgânicos ao solo (Christensen, 2001). Por essa razão, sua quantidade de decomposição no solo, a presença da matéria orgânica e a zona de decomposição ou suas frações (Cypher e.a., 1987; Christensen, 2001).

A composição química da FLL foi estabelecida nos países soviéticos. Essa fração é constituída, em média, de 80% de C orgânico, seguido por 10-22% de C aromático, 14-16% de C aquático, e em menor quantidade de 1-3% de C inoxidável. Resultados similares foram encontrados por Loch e.a. (1987) em sua fração <math> < 1, <math> g C g^{-1} <math> (Vre). A maior proporção de C orgânico refere-se a significante contribuição de polímeros fideiros e matéria orgânica adicionada ao solo (Loch e.a., 1984, 1984). A reação de degradação química do CO₂ que deve dos processos (Eggen 1981, 11 e 12). Em 72-73 pp. a respeito principalmente de uso e em 1981 pp., derivado de herbáceo e outros produtos. A reação de degradação química em 11 e 12 pp. nos resumos de estrutura a rotação de gn. A quantidade química do C orgânico de em 12 - pp. derivado de estruturas de ondas de as a á. Os correspondentes grupos oxidáveis dos orgânicos e o a longo prazo de pedras e proteínas contribuem para a formação de do s em 1 e 22 pp. em 2001, Öge - Müller, 2002).

De forma geral, em reações estruturais e reações, o maior em PP nos rotinas em proporção de C aromático (18-20%), C aquático (12-16%) e C inoxidável (7%), enquanto que no maior em PDP (rotação a longo prazo) foi encontrado um conteúdo menor e o maior em PD

os,roua a sa a n,ens d de rea u dessa s reg ões de u pa o qu, a . A propora o de es,ru,ua a sa l, co, o C Oa qu represen,ou a s do que 3º do a r,ono ca d FLL, sendo que os s,se,a s co, p sa gens a presen, a, e, a, é d a s a sa s propor ões des,e grup a en, o en, re os s,se,a sa gr,ca s p a os r,es so os: 2º (PP) e 3º (PDP), enq, n, o que o PDa presen,ou 4º p a o L df-D, 5º p a o L df-M, e 4º p a o L d-C. Mo de o s,se,a PDa presen, a enor propora o de C Oa qu pode sera r, l, u, da prox ve a enora da o de f, o, a sa ea es,ru,ua d vege, a o que o co, p õe, a qu é cons, u, d por u, n, cco de egu, noa (sa) para no, o que pode a vorecer o a u, n, o no con, eúdo de Ca qu . A é, n, d ssoa a sa p d a a de deco, r, pos, a o do s,se,a PD, co, p a a u, n, en, e a os s,se,a s co, p sa ge, a, a, é, n, pode es, r con, r, l, u, ndo p a a redua o no con, eúdo de C Oa qu , u, a vez que fu g, n, os vege, s e, n, es, g, o n, a de deco, r, pos, a o a, a, é, n, a ze, n, p, r, e d FLL.

A a a o C Oa qu Ca qu a u, n, en, ou do a a, a, n, o PD p a o PP e, n, o dos os so os, exce, o p a o PP+L do so o L d-C, a presen,ou, a pós o PD, o segundo a s p, x, o a or en, re os s,se,a sa gr,ca s, dev do a o sua o con, eúdo de Ca qu . a exp a a o p a s, o pode ser o p, po de vege, a o do qu o a, ea ora nco do s,se,a PP+L org nou. O PP+L é o ún co s,se,a de p sa ge, n, per, a nen, e cons, u, do por q, a, n, a perene (*Brachiaria decumbens*) consora d co, n, egu, noa (*Stylosanthes guianensis*) e sa e ex d propora o de Ca qu pode sera r, l, u, da u, n, a o con, eúdo de a c dos q, xos der, u, dos de ec dos de cu, a e sul, er, a d espéc e egu, noa e oua u, n, a o con, eúdo de pep, deos (C a, e,), po sa espéc e egu, noa é b, l, e, n, f, a r N₂ a osfércos s, l, o, a, n, en, e e conver, ê- o e, n, a, ea pro, e, a ceo.

A p, a rea c, a n, a d FLL do s,se,a PP (cons, u, do un, a, n, en, e pe a q, a, n, a *Brachiaria decumbens*) ver f, a d pe a a s p, a n, ens d de do s, a Ca qu e Ca ro, a, co, e, n, o dos os so os, é coeren, e co, n, resua dos encon, a dos por öge- p l, ner (2002) a o a p a r espec, ro de a, zes d q, a, n, a *Lolium multiflorum* e ver f, a r que a s a, zes ds, n, gue, n, se por a presen, ra a concen, a o de po sa a f, deos e p, a concen, a o de gn, a e sul, er, a .

1.2.2 Formação Leve Ocusa (ELO)

A FLO compreende compostos orgânicos com um grau de decomposição mais avançado comparado à FLL. Estes compostos normalmente são o produto dos esforços de cessiva orgânica que ocorre no ambiente aquoso ou protegidos fisicamente devendo incorporar o dentro da grade dos de solo (Chr. Jensen, 1992; Johnson, 1997).

A grade do solo é uma propriedade dos agregados que continua sendo formada e destruída. Portanto, a ocusão no interior dos agregados, de maneira orgânica e mineral, é suscetível aos processos, seja aonde ela ocorre de agregados é a origem, consequentemente a taxa de decomposição é mais elevada (Rudolf, 2004). A presença de poros mais pequenos (CO "novo") e quando ocorre a geração entre agregados ou no núcleo dos agregados, é um indicador do decréscimo do grau de decomposição do MO do solo (Sudhaker, 1982; Saxe, 2004).

Diferenças na composição dos agregados orgânicos, livre e ocuso, foram registradas nos três solos estudados e uma significante tendência entre os sistemas agrícolas foi observada (Figura 10-12 e Tabela 10). A principal diferença na quantidade das frações ocusas é a considerável redução da proporção de C orgânico e a umidade dos resíduos que ocorre em áreas recriadas, como o Cacoquico e, de forma mais pronunciada, Caquico.

Quando as cores médios de solo a proporção de C orgânico decresceu a ordem FLL < FLO > FLO (48 a 40%), enquanto que a proporção de C orgânico e umidade FLL (14 a 10%) para FLO (13 a 22%). Essa mudança e o resultado do decréscimo da taxa de C orgânico Caquico de 4 (FLL) a 2 (ELO) indica um aumento no grau de decomposição a ordem FLL < FLO. As mudanças da MO bruta, sofridas durante a decomposição, a ocorrência de perda de nutrientes e a ocorrência de decompositores e uma consequente preservação de resíduos orgânicos recriados como o Caquico, associado a maneira vegetal de origem (Bardot, 1992; Bardot, 1997) e oge - Bruner, 1988), no entanto, demonstram que a mesma ocorre *in situ* em condições de umidade e conteúdo de C orgânico quando submetidos a perda dos

con dos e, f, ões dens, é, t, a, s, u, en, ou, a, orde, MO p, r, cu, d, vre<1.
 < MO p, r, cu, d, oc, u, a 1.8.2, < MO p, r, cu, d, oc, u, a 1.-1.8 e, n, c, n, c, o, s, o, s
 Aus, a, nos. Ou, rosa, u, o, res, co, o, Zec, e, a . (1:37), B, a, doc, e, a . (1:32),
 B, a, doc, Pres, on (1:33) oh, e, a . (2:11) e, e, fr, ch, e, a . (2:11) a, n, l, é, n,
 en, con, a, a, co, n, po, n, en, o, s, i, a, r.

John e, a . (2:11) a, o, de, er, a, re, a, es, l, d, de, do, CO, e, n, so, o,
 cu, a, do, co, n, h, ho, a, a, vés, d, é, c, n, a, so, o, p, a, do, C, o, l, ser, a, n, que, a,
 d, de, l, é, d, a, u, en, ou, a, orde, MO p, r, cu, d, vre<1. (22a nos) < MO
 p, r, cu, d, oc, u, a 1.-2, (4a nos) < MO, n, e, a >2, a, nos. No, em, n, o, a, o,
 f, cou, a, ro, p, a, a, o, s, a, u, o, res, sea, la, or, es, l, d, de, d, MO, oc, u, a, e, n, re, a, a, ca,
 MO, vre, fo, dev, do, un, a, n, en, ea, pro, ea, o, f, s, a, pe, o, s, a, gre, a, dos, ou, sea,
 ce, a, c, o, m, p, a, 2, o, l, (2:11) -742, 421, a, (1:37) 8, 2, 1, 184, 1, (4:78) e, -7.8, 1, 7, 8, n, 2, 8, 1, 2, 8, 1, 1.14

em proteger estruturas orgânicas, especialmente a propagação de C₆₀ que, por sua vez, em diferentes situações, porém, foi gerada em todos os casos. O sistema PP, considerando o maior eficiência no processo de degradação, os resultados da propagação de C₆₀ que $\angle 2^\circ$ e o sistema PD2P2, não evidenciando tendência de reação dessa reação de $\angle 48^\circ$, no sistema PD (cuidado sobre o conteúdo da análise), o C₆₀ que correspondeu 40° do COT. O aumento reativo de C₆₀ que a ordem PD<PD2P2<PP foi seguido pelo decréscimo reativo de C₆₀ que a ordem.

Essas diferenças compostas entre os sistemas de análise, e a presença da ordem de decomposição no sistema PD, resultando em uma ordem de reação dos átomos em decompor-se pelos critérios dos sócios e da presença do sistema e reativação de grupos em suas reações associadas a uma estrutura e ou devendo a presença de grupos em sua que pela reação do sócio (a doc. e. 1:2:2). Essas condições provavelmente ocorrem durante a decomposição dos materiais orgânicos vivos, quando e esta incorporação dos elementos dos materiais orgânicos. Durante o processo de decomposição e natureza do material orgânico com a reação, a reação dos compostos orgânicos átomos em decompor-se rapidamente e a presença de átomos em devendo a reação de produção, o que é um dos elementos de reação de estrutura do MO em seus.

O efeito desse elemento é realizado nos sistemas compostos, principalmente no sistema PP, devendo essa presença reativa e hora a degradação do sócio com a reação do sistema PD (resultando na presença dos Estudos). Outro fator que deve ser considerado é que resíduos orgânicos oriundos de fontes são encontrados em Ca₆₀ como, essencialmente, e Ca₆₀ que, cujos são organizados de pólos, cujas e peplos (öge - a lner, 2002, e frch e. a., 2002). A vez que a reação de MO ocorre é de 40 nos (ohn e. a., 2002), podemos considerar que a reação de estruturas reativas oriundas de vegetação, a necessidade de análise dos experimentos, está sendo preservada devendo ocorrer a degradação dos elementos.

O sócio L_d-C₆₀ (ou seja, a reação de propagação de C₆₀ que, não tendo uma tendência de reação de $\angle 48^\circ$ em todos os sistemas, exceto para o PP+L, o que a presença o

1.2. Função da FP

O mecanismo de FP consiste-se de uma análise sintática decorpositiva, estruturada principalmente por regras com funções sintáticas nas B doc (Chomsky, 2000) e, consequentemente, com uma análise decorpositiva no âmbito da Chomsky (2001, Byer et al., 2001), sendo a função de cada uma das partes de uso do sistema (Chomsky, 1985).

A composição de MO de FP é derivada, principalmente, por produtos derivados decorpositiva (poissonides), os quais são estruturas de C Oa que (Chomsky, 1985, B doc et al., 1982). Exemplos de estruturas possíveis construídas dessas estruturas. Aproximadamente 10-40% do material sintático do sistema é transferido para as estruturas e incorporados no sistema através da deposição de exemplos de estruturas ou decorpositiva de uma estrutura (Chomsky, 1985).

O C Oa que foi estruturalmente organizado que os rouba a estrutura entre os sistemas de análise (Chomsky, 1985). O sistema PP, o qual é a estrutura da função de estrutura, provavelmente é a estrutura da estrutura e ou população diferencial. Isso refere-se à proporção de C Oa que é estruturalmente em todos os casos: (Chomsky, 1985) o L df-D, (Chomsky, 1985) o L df-M, (Chomsky, 1985) o L d-C (Chomsky, 1985) e Figs (1985).

O sistema PP pode ser considerado como um sistema equívoco com uma combinação de estrutura e estrutura. Porém, quando esse sistema é interrompido por um período de tempo condado de organização que condado ou significativamente, supostivamente, o erro ocorre com a combinação de estrutura e com a queda de seus produtos. Chomsky (2000) observou uma estrutura de estrutura e o sistema de estrutura do que é o sistema de estruturas e não o direto, o que pode ser uma indicação de que estruturas com unidades de estrutura são exsentes entre os sistemas de uso do sistema.

A diferença de proporção de C Oa que entre os sistemas com a estrutura (PDP e PP) é o L df-D, (Chomsky, 1985) o L df-M, (Chomsky, 1985) o L d-C (Chomsky, 1985) ocorreu, provavelmente, devido a

ss.e.a. rora o a voua -a sa ge. (PD1P) do so o L d-C. Mu. do por u. ma or per_dodo de .e. po co. a sa ge. (a nos) e m. enor per_odo de .e. po co. cu. sa na s (1a no) co. a a doa os ou.ros so os. Apea r do processo de deg. da o o. s. do no ss.e.a. PP do so o L d-C. popula o m. crola a des.e ss.e.a. a rece es. ra. u. ndo de for. a s. a ra o ss.e.a. PD1P .

O ss.e.a. PD do so o L d-C. M. oua m. enor propora o de C O- a qu e Ca qu en. re os a. m. enos, co. u. a u. eno cons. de. ve a propora o de C a r. ox e Ca ro. a .co, os qu. s. a o .pos de a r. ono a o d. re. m. en. ea fe. dos pe o m. ea. lo s. o m. crola no. s. o nda que e. so os su. e. sa u. a m. enora da o de res. duos pe a s. pa. na s, ea u. ma or qu. u de ox. da o d MO, so. m. en. ea s es. ru. u. s. m. a s re. ca. n. es (po. l. res e. m. a r. ono) d MO do so o .ende. ra. pe. ra. necer.

A ma or propora o de C Oa qu o. s. e. ra d. a FP (a 8°) co. a a doa FLO (4 a 8°) ea cons. de. ve con. r. u. a o de C Oa qu. m. a s do que 8° do C. o. a. p. res. e. ra d. a f. ra o m. ne. m. nda m. que co. .pos. os m. a s a. l. es, m. ea. lo a dos m. crola a m. en. e pode. m. ser a cu. u. dos e es. l. a dos pe o m. ea. n. s. o de n. e. a o org. no. m. ne. (ru. ea ., 2007; uggen. erger e. a ., 1994), enq. n. o que co. .pos. os de gn. a, os m. a s m. po. n. es co. .pos. osa ro. a .cos no so o, a o es. o sendo es. l. a dos nes. f. ra o. Es. a ocorrendo u. a pres. e. ra o se. e. u. de C der. u. do do m. ea. lo s. o m. crola no (C Oa qu.) e de cu. a su. l. e. ra (Ca qu.) a o C der. u. do de gn. a (Ca ro. a .co).

6.4 Conclusões

O proced. m. en. o de f. ra co. a m. en. o f. s. co u. a do per. m. cu. d. s. ngu. r co. a r. m. enos co. m. a. ea s org. n. cos qu. a m. en. e d. feren. es.

Os ss.e.a. s de m. ne. o co. .pos. os por m. a qu. a a. a vorece. m. e. ea d. propora o de res. duos rcos e. m. C Oa qu. a FLL e u. a ma or es. l. a a o desses res. duos dev. do. a oc. u. a o e. m. a gre. dos de so o, con. f. ra. nda m. po. n. a do m. ea. n. s. o de pro. ea o f. s. a a n. cor. po. ra o e pres. e. ra o do a r. ono no so o.

A prova veicular por população é a ocorrência de uma colisão e outra, a partir de uma colisão, decorrente da ocorrência de frotas sapeiros nas ruas, referida a uma unidade do CO que a força de CO que associa os veículos dos dois estudos, estes sapeiros.

As evidências da composição química de MO de erodidos por RMN
 1) CPMA foi evidenciada a partir de uma unidade do CO que nos sapeiros, mostrando-se um indicador sensível a evidências químicas produzidas pelos sapeiros de uma néo sobre o grau de decomposição dos frangos orgânicos.

f. o. a. s. a. , e h. o. r. a. e. s. r. u. u. do s. o. e. , c. o. n. s. e. q. u. e. n. e. e. , á v. o. r. e. c. e. r. a. e. s. t. a. a. o. d. M. O. n. o. s. o. o. , a. a. o. r. a. e. n. a. o. d. e. v. e. r. a. s. e. r. d. i. s. p. e. n. d. i. d. o. n. o. s. e. n. d. o. d. e. h. o. r. a. n. e. o. d. e. s. a. s. p. a. s. s. a. g. e. n. s. a. v. é. s. d. a. d. a. o. d. e. f. e. r. t. i. l. i. z. a. n. t. e. s. , a. a. n. e. o. d. s. c. u. u. s. u. s. o. d. e. e. s. p. é. c. i. e. s. q. u. e. n. e. s. c. o. n. t. e. n. h. e. a. m. e. n. o. p. r. o. f. u. n. d. o. e. a. s. s. o. c. i. a. ç. õ. e. s. c. o. n. e. g. u. n. o. a. s. e. c. o. n. t. r. o. e. d. s. a. s. s. d. e. p. a. s. s. e. o. .

O n. c. r. e. m. e. n. t. o. n. o. e. s. q. u. e. d. e. M. O. , a. a. a. d. d. e. 2002, p. r. o. v. o. d. o. p. e. o. s. s. e. a. s. d. e. a. a. n. e. o. e. n. v. o. l. v. e. n. d. o. q. u. e. n. e. s. p. e. r. e. n. e. s. , a. n. o. e. n. r. o. t. a. o. c. o. n. s. e. q. u. e. n. o. c. o. n. t. e. n. h. e. p. a. r. t. i. c. u. l. a. r. m. e. n. t. e. , f. o. r. e. f. e. r. i. d. o. n. o. s. r. é. s. s. o. o. s. a. a. d. o. s. e. a. m. e. n. o. d. e. s. t. a. t. u. t. o. s. d. e. M. O. T. a. b. u. l. a. 12. E. n. t. r. e. o. s. s. o. o. s. , o. a. o. r. n. c. r. e. m. e. n. t. o. n. o. e. s. q. u. e. d. e. a. r. i. l. o. n. o. (COT) o. c. o. r. r. e. u. n. o. s. o. o. d. e. M. a. d. a. l. u. , c. o. n. t. e. n. h. e. r. e. f. e. r. e. n. c. i. a. n. o. s. o. o. d. e. G. e. r. a. l. p. o. n. d. e. e. o. m. e. n. o. r. e. s. q. u. e. n. o. s. o. o. d. e. D. o. u. t. o. s. E. s. s. e. c. o. n. t. e. n. h. e. , p. r. o. v. e. l. h. e. e. , e. s. t. a. r. e. c. o. m. d. a. o. u. s. o. d. o. s. o. o. n. o. p. e. r. í. o. d. e. n. e. r. a. t. i. o. n. a. r. i. a. d. o. s. e. x. p. e. r. i. e. n. c. i. a. s. e. o. e. f. e. i. t. o. c. o. n. j. u. n. t. o. d. e. e. x. e. c. u. ç. õ. e. s. e. d. e. n. e. r. g. i. a. d. o. s. s. o. o. s. D. e. m. o. d. o. g. e. n. e. r. a. l. , p. o. d. e. -s. e. o. s. e. r. v. i. r. q. u. e. o. s. s. e. a. s. d. e. a. a. n. e. o. P. D. a. n. e. v. e. o. s. o. o. c. o. n. t. e. n. h. e. d. e. C. O. T. n. e. r. e. f. e. r. e. n. c. i. a. d. e. N. e. q. u. e. o. u. s. o. d. e. p. a. s. s. a. g. e. n. s. p. o. s. s. u. l. t. a. n. t. e. a. n. a. r. o. u. s. u. p. e. r. a. r. o. e. s. q. u. e. d. o. s. s. e. a. s. P. D. .

E. x. e. m. p. l. a. r. m. e. n. t. e. d. e. p. r. o. p. o. r. a. ç. õ. e. s. d. e. M. O. P. , r. e. p. r. e. s. e. n. t. a. d. a. p. e. o. a. r. i. l. o. n. o. d. e. F. L. L. , é. u. n. d. a. v. o. l. u. n. t. a. d. e. q. u. e. r. e. s. t. u. o. s. e. s. t. a. n. d. o. a. d. i. c. a. d. o. s. e. n. t. e. q. u. e. n. e. s. a. s. t. a. t. u. t. o. s. . N. o. e. n. t. r. e. o. , p. o. r. s. e. r. c. o. n. s. i. d. e. r. a. d. a. u. a. t. i. z. a. ç. õ. e. s. a. a. m. e. n. e. s. e. n. s. v. e. a. a. e. n. t. e. s. a. F. L. L. a. p. r. e. s. e. n. t. o. u. c. o. n. t. e. n. h. e. o. d. s. n. o. d. e. s. d. e. a. s. t. a. t. u. t. o. s. f. i. s. c. a. l. s. , s. e. n. d. o. q. u. e. n. e. s. a. t. i. z. a. ç. õ. e. s. , o. s. s. e. a. s. P. P. a. p. r. e. s. e. n. t. o. u. o. m. e. n. o. r. e. s. q. u. e. d. e. a. r. i. l. o. n. o. p. a. r. t. i. c. u. l. a. r. n. o. s. o. o. d. e. G. e. r. a. l. p. o. n. d. e. , o. n. d. e. o. c. o. r. r. e. u. a. s. a. a. o. r. e. s. d. i. v. e. r. s. a. s. d. e. s. c. a. l. a. r. i. z. a. ç. õ. e. s. e. d. e. a. a. n. e. o. e. n. r. e. g. i. s. t. r. a. d. o. s. d. e. a. s. s. o. o. s. .

a. o. d. e. a. r. i. l. o. n. o. n. c. r. e. m. e. n. t. o. n. o. e. s. q. u. e. d. e. M. O. , p. e. o. s. s. e. a. s. c. o. n. t. e. n. h. e. p. a. s. s. a. g. e. n. s. , a. F. L. O. s. s. o. n. d. a. q. u. e. o. s. s. o. o. s. e. s. t. a. n. d. o. a. d. i. c. a. d. o. s. d. e. p. r. o. t. e. g. e. r. f. i. s. c. a. l. e. n. t. e. a. M. O. a. e. s. r. u. u. c. o. n. s. r. u. i. d. a. p. e. o. p. r. ó. p. r. i. o. s. s. e. a. s. d. e. a. a. n. e. o. . O. s. p. r. o. c. e. s. s. o. s. f. i. s. c. a. l. e. o. r. g. a. n. i. z. a. ç. õ. e. s. d. e. a. g. r. e. g. a. ç. õ. e. s. d. e. d. e. s. e. n. v. o. l. v. i. m. e. n. t. o. d. e. s. t. a. t. u. t. o. s. a. v. e. l. d. e. d. e. f. i. n. a. n. c. i. a. m. e. n. t. o. s. d. o. s. o. o. , p. r. o. p. o. r. c. i. o. n. a. l. o. a. g. r. u. p. a. m. e. n. t. o. d. e. a. a. c. r. e. g. r. e. g. a. ç. õ. e. s. d. e. T. a. b. u. l. a. d. e. s. , 1982, a. y. n. e. s. B. a. r. e. , 1982, o. u. s. e. g. u. n. t. e. , e. n. q. u. e. n. o. a. M. O. f. o. r. m. a. e. e. s. t. a. b. e. l. e. c. t. a. g. r. e. g. a. ç. õ. e. s. p. r. i. n. c. i. p. a. l. e. n. t. e. o. s. a. a. c. r. e. g. r. e. g. a. ç. õ. e. s. , n. e. s. s. e. s. s. o. o. s. r. e. c. o. r. d. o. s. , o. s. a. g. r. e. g. a. ç. õ. e. s. e. s. t. a. v. e. s. p. r. o. t. e. g. e. r. f. i. s. c. a. l. e. n. t. e. a. M. O. d. d. e. c. o. n. t. e. n. h. e. o. m. e. n. o. r. e. s. .

Tabela 12. Esquema de aplicação orgânica (COT) e dos fatores físicos da MO (FLL, FLO e FP) para a adição de 2% C, dos resíduos dos estudos L_d-D, L_d-M e L_d-G, nos diferentes sistemas de uso e manejo.

sistema de uso e manejo	COT				FLL				FLO				FP			
	solo			média	solo			média	solo			média	solo			média
	D	M	C		D	M	C		D	M	C		D	M	C	
N	1,4	4	,12	53,64	2,14	,4	4,	3,37	,	14,42	8,7	9,56	,7	48,4	4,	41,75
PD	1	,7	47,	46,80	1,8	1,1	,	2,04	,7	7,84	8,	7,58	28,	47,4	,	37,19
PDP	41,	4,17	4,	50,40	1,	1,4	1,	1,63	8,	,7	8,	8,77	1,7	2,7	,4	40,00
PP	4,4	,7	,22	55,15	2,1	2,	1,77	2,01	,42	11,2	8,7	9,78	,8	4	,71	43,35
média	41,82	64,20	49,22		1,76	2,06	2,97		7,38	10,80	8,59		32,71	51,35	37,66	

N: vegetação, PD: pântano de água doce, PDP = PD2P2, Douros e M: água doce, PP: pântano de água doce, B. decumbens e...

Quando a maior o tempo de residência dos macrófitos, como ocorre nos sistemas semi-revolução do solo e com a diminuição de resíduos orgânicos, a maior a probabilidade de decaimento e escape do MO no solo, e consequentemente a menor a capacidade biológica, física e química e de suprimento de nutrientes para as plantas.

Em resumo, em todas as situações físicas, o principal consumo de matéria orgânica do MO foi o da rizosfera, que é de origem vegetal das fitas e do MO. A maior proporção de matéria orgânica da FLO associada ao solo de serem compostos ácidos e decarboxilados, demonstrando que a reação química ocorrida é o principal mecanismo de escape de matéria orgânica do solo (1.42 10⁻² 10⁻² 2.87 2/2.87).

método empregado. O trabalho em questão demonstra como a utilização da técnica de RMN ^{13}C fornece informações sobre grupos de compostos orgânicos presentes na amostra. Apesar da técnica apresentar algumas limitações, muitos pesquisadores dedicados ao estudo de áreas que possam ser beneficiadas pelo uso dos espectros de RMN. Dessa maneira, resultados bastante significativos têm sido obtidos em relação à caracterização estrutural de MO do solo e da sua capacidade de decomposição, possibilitando avaliar o efeito da sustentabilidade de sistemas agrícolas.

8 ESTUDOS FUTUROS

Os resultados do presente estudo permitem a emergência de algumas perspectivas que podem ser objeto de pesquisa para o futuro do entendimento da doença e da prevenção da MO de solos em áreas tropicais.

É importante a prevenção da MO no interior das regiões, uma questão que merece ser investigada para as condições de solos tropicais e os efeitos, avaliar o efeito de substâncias de aplicação sobre as condições nos solos de arluno no interior das regiões e de aplicação. O objetivo é determinar a influência da MO e a possibilidade de regiões e a importância dos efeitos da aplicação e a avaliação da MO e os riscos nessas condições.

Realizar pesquisas de fósforo-oxidado da FP da MO, por energia ultravioleta, para que se possa ter evidências sobre os mecanismos de aplicação de MO que ocorrem nessa situação, além de avaliar a magnitude da prevenção da MO que as regiões de aplicação não se espera desenvolver a solução MO.

Além das pesquisas de pró-se, desenvolver a organização dos comitês organizados para os estudos de FLO e FP, verificar a influência dos microrganismos no processo de prevenção da MO.

Observar, por microscopia e análise de redução, as diferenças entre a aplicação que compare as condições organizadas e após a aplicação química, para posterior análise de RMN ¹³C CPMA, a fim de obter a avaliação dos diferentes tipos de aplicação das condições.

Devido a diferença de densidade entre as condições físicas, o estudo é eficiente em função da aplicação de densidade física, essa pode ser considerada reservatório de ensaio e a serem inseridos em métodos similares da doença da MO do solo.

9 REFERÊNCIAS BIBLIOGRÁFICAS

ADAMS, J. M. OADE, J. M. Physico-chemical factors influencing decomposition of organic materials in soil aggregates. **Soil Biology and Biochemistry**, Amsterdam, v. 10, p. 103-111, 1978.

AMADO, T. C. MELNICH, J. Plano de manejo e rotação de culturas com leguminosas: uma experiência com a adição de matéria orgânica para a produção de solo. **Revista Plantio Direto**, Passo Fundo, p. 21-27, Março/Abril, 1999.

BALDOC, J. A. et al. Soil C-NMR. Rapid analysis of carbon and functional groups associated with soil incubated with glucose. **Australian Journal of Soil Research**, Cambridge, v. 28, p. 21-22, 1991.

BALDOC, J. A. et al. Aspects of the chemical structure of soil organic materials revealed by soil-derived ^{13}C NMR spectroscopy. **Biogeochemistry**, Netherlands, v. 10, p. 1-42, 1992.

BALDOC, J. A. PRESTON, C. M. Chemistry of carbon decomposition process in forests revealed by soil-derived ^{13}C -NMR. In: McFEE, W. H. ELLY, J. M. (eds.) **Carbon forms and functions in forest soils**. Madison: Wisconsin Science Society of America Inc., 1990. p. 83-117.

BALDOC, J. A. et al. Assessing the extent of decomposition of a soil organic material using soil-derived ^{13}C NMR spectroscopy. **Australian Journal of Soil Research**, Cambridge, v. 35, p. 1011-1018, 1997.

BALDOC, J. A. EMTAD, J. O. Role of the soil matrix and nitrogen in protecting a soil organic material against biological attack. **Organic Geochemistry**, Oxford, v. 11, p. 67-71, 1988.

BALE DENT, J. The significance of organic separation of carbon dynamics and its role in some cultivated soils. **European Journal of Soil Science**, Oxford, v. 47, p. 48-49, 1996.

BALE DENT, J. BALABANE, M. Major contribution of roots to soil carbon storage inferred from maize cultivated soils. **Soil Biology and Biochemistry**, Amsterdam, v. 28, p. 121-122, 1996.

BALE DENT, J. ea . The dyna mics of a rlon n p r,c e-s ze fa c_ons of so n a fores_cu a_ on sequence. **Plant and Soil**, Dordrech, v. 271, p. 47- 7, 1978.

BALE DENT, J. C EN, C. BALABANE, M. Re_ onshp of so org_ onc la_ erdya mcs_ o phys_ a pro_ ec_ on_ a nd_ a ge. **Soil and Tillage Research**, A_ s_ erd_ m, v. , p. 21 -2 , 2000.

BARRAL, M.T. AR_ A, M. _ER F, J. Effec_s of rona nd org_ onc la_ er on_ he poros_ y_ a nd_ s_ ruc_ ur_ s_ a_ y_ of so a ggreg_ es. **Soil and Tillage Research**, A_ s_ erd_ m, v. 4 , p. 271-272, 1978.

BAYER, C. **Dinâmica da matéria orgânica em sistemas de manejo de solos**. 197. 247 f. Tese (Dou_ o do) - Programa de Pós- a_ da_ o e_ C_ en_ a do_ o_ o, E_ cu_ d_ e_ de_ Agrono_ a , _n_ vers_ d_ de_ Feder_ do_ R_ o_ a_ nd_ e_ do_ u , Por_ o_ A_ egre, 1977.

BAYER, C. MELN_ CZ, J. Da_ a_ e_ fun_ o_ d_ a_ a_ e_ a_ org_ on_ a_ . n_ AN_ O_ , _ A_ CAMAR_ O, F. A. O. (eds.) **Fundamentos da matéria orgânica do solo: Ecoss_ e_ a_ s_ _rop_ a_ s_ e_ su_ _rop_ a_ s_**. Por_ o_ A_ egre, enes s, 1977, p. 7-2.

BAYER, C. ea . Effec_ of no- _croppng sys_ e_ s on so org_ onc la_ er na_ a_ nd_ y_ a_ y_ a_ m_ Acr_ so_ fro_ _ou_ h_ e_ r_ B_ a_ z_ _n_ _o_ r_ e_ d_ y_ e_ e_ c_ r_ o_ n_ s_ p_ n_ reso_ n_ c_ e_ a_ nd_ nu_ c_ e_ r_ _a_ g_ n_ e_ c_ reso_ n_ c_ e. **Soil and Tillage Research**, A_ s_ erd_ m, v. , p. 7-14, 2000.

BAYER, C. ea . Ch_ nges_ n_ so_ org_ onc la_ er_ fa_ c_ ons_ under_ su_ _rop_ a_ no- _croppng sys_ e_ s. **Soil Science Society of American Journal**, M_ d_ son, v. , p. 147 -1478, 2001.

BAYER, C. ea . _o_ c_ s_ a_ nd_ hu_ _fa_ _ on_ degree_ of_ org_ onc la_ er_ fa_ c_ on_ s_ a_ a_ fec_ c_ e_ d_ y_ no- _a_ ge_ o_ a_ su_ _rop_ a_ so . **Plant and soil**, Dordrech, v. 278, p. 17-14, 2002.

BAYER, C. ea . G_ rlon_ seques_ _ on_ n_ _B_ a_ z_ a_ n_ C_ e_ r_ do_ so_ s_ under_ no- _ . **Soil and Tillage Research**, A_ s_ erd_ m, v. 8 , p. 27-24 , 2000.

BEARE, M. _ ENDR_ X, P. COLEMAN, D. _er_ s_ _e_ a_ ggreg_ e_ s_ a_ nd_ org_ onc la_ er_ fa_ c_ ons_ n_ con_ ven_ o_ a_ nd_ no- _a_ ge_ so_ s. **Soil Science Society of America Journal**, M_ d_ son, v. 8, p. 777-78 , 1974 .

BEARE, M. . ea . Aggreg_ e- pro_ ec_ e_ d_ a_ nd_ unpro_ ec_ e_ d_ org_ onc la_ er_ poo_ s_ n_ con_ ven_ o_ a_ nd_ no- _a_ ge_ so_ s. **Society of America Journal**, M_ d_ son, v. 8, p. 787-79 , 1974 .

BE_ NARD, E. ea . E_ e_ of_ p_ r_ cu_ e_ org_ onc la_ er_ n_ so_ a_ ggreg_ es_ dur_ ng_ cu_ a_ _ on. **European Journal of Soil Science**, Oxford, v. 47, p. 47 - 7 , 1977.

BRON_ C, C. _ LAL, R. _o_ s_ ruc_ ure_ a_ nd_ _a_ a_ ge_ _n_ a_ rev_ e_ **Geoderma**, A_ s_ erd_ m, v. 124, p. -22, 2000 .

- MANN, C. RAPP, LA ER, M. C. Differences in the nature of soil aggregates and their stability in a semi-arid region of South Africa. **Australian Journal of Soil Research**, Cambridge, v. 4, p. 22-32, 1962.
- CAMBARDELLA, C. A. ELLOTT, E. T. Particle size and soil structure changes during soil succession. **Soil Science Society of America Journal**, Madison, v. 26, p. 777-783, 1962.
- CAMBARDELLA, C. A. ELLOTT, E. T. Granulation and nitrogen dynamics in a grassland soil. **Soil Science Society of America Journal**, Madison, v. 27, p. 171-177, 1963.
- CAMBARDELLA, C. A. ELLOTT, E. T. Granulation and nitrogen dynamics of soil organic matter fractions from a grassland soil. **Soil Science Society of America Journal**, Madison, v. 28, p. 12-19, 1964.
- CAMPOS, B. C. et al. Estado de estrutura de um solo sob vegetação e o escuro após sequestração de culturas e sementes de milho de solo. **Revista Brasileira de Ciência do Solo**, Campinas, v. 12, p. 121-127, 1968.
- CAMPOS, B. C. et al. Degradação da estrutura induzida pelo uso de máquinas de inverno para colheita do solo. **Revista Brasileira de Ciência do Solo**, Campinas, v. 8, p. 3-11, 1964.
- CARPENEDO, M. F. et al. Estado de degradação e qualidade de degradação dos solos Roxos sul-orientais, diferenças de sementes de milho. **Revista Brasileira de Ciência do Solo**, Campinas, v. 14, p. 33-41, 1970.
- CARTER, M. R. Researching structure complexity and grain size. **Soil and Tillage Research**, Amsterdam, v. 7, p. 1-2, 1974.
- CATRO FILHO, C. M. ZILLI, O. PODANCO, A. L., Estado de degradação e estruturação com o teor de argila no solo Roxo D. S. r. f. c. e. função de sementes de milho, rotações de culturas e métodos de preparo das culturas. **Revista Brasileira de Ciência do Solo**, Campinas, p. 27-38, 1978.
- CERETTA, C. A. et al. Métodos espectroscópicos. In: ANTONIO, A. CAMARÃO, F. A. O. (Eds.) **Fundamentos da matéria orgânica do solo: Ecosistemas tropicais e subtropicais**. Porto Alegre: Trópicos, 1979. p. 23-30.
- CHEAN, Y. et al. Resorption of ferrous iron during soil nitrification. **Australian Journal of Experimental Agriculture**, Cambridge, v. 41, p. 17-14, 2001.
- CHEAN, Y. et al. Interactions between soil particles and microorganisms. In: CHEAN, Y. et al. (Eds.) **Interactions between soil particles and microorganisms**. London: Taylor & Francis, 2001. p. 1-10.

CURTEN, B. T. Physical composition of soil and organic matter in primary pasture and density sequences. **Advances in Soil Science**, New York, v. 2, p. 1-11, 1972.

CURTEN, B. T. Carbon in primary and secondary organic complexes. In: CARTER, M. R. & TILLY, B. A. (eds) **Structure and organic matter storage in agricultural soils**. Boca Raton: CRC Press, 1977. p. 37-1.

CURTEN, B. T. **Organic matter in soil-structure, function and turnover**. 200 p. f. Dissertação de Agronomia, Research Centre Foun., Tees, Denver, 1977.

CURTEN, B. T. Physical composition of soil and structure and function complex in organic matter turnover. **European Journal of Soil Science**, Oxford, v. 2, p. 4 - , 1971.

COLLIER, P. e. a. Caracterização de solo orgânico e carbono reativo e sua estabilidade e turnover. In: PAUL, E. A. e. a. (eds) **Soil organic matter in temperate agroecosystems: long-term experiments in North America**. Boca Raton: CRC, 1977. p. 1-72.

CONTI, P. & PCCOLO, A. Quantitative differences in evaluating soil humic substances by liquid and solid-state ^{13}C NMR spectroscopy. **Geoderma**, Amsterdã, v. 8, p. 1-2, 1977.

CORAZZA, E. e. a. Comparação de diferentes seqüências de manejo com fonte ou depósito de carbono e relação com a vegetação de cerrado. **Revista Brasileira de Ciência do Solo**, Campinas, p. 42-44, 1977.

CORNÉO, J. & ERMOLIN, M. C. Caracterização de húmus em solos. In: PCCOLO, A. (Ed.) **Humic substances in terrestrial ecosystems**. Amsterdã: Elsevier, 1977. p. 1-24.

DA ROCHA, C. O. e. a. Manejo do solo para a produção de madeira: efeito sobre a fertilidade e estabilidade de estrutura do solo de cerrado. **Revista Brasileira de Ciência do Solo**, Campinas, v. 21, p. 241-247, 1977.

DA SILVA, M. P. & VANCE, H. & RYZKO, A. Carbon concentration in spodosol nitrogen, sulfur and phosphorus cycling. In: McFee, G. & Meyer, J. M. (Eds) **Carbon Forms and Functions in Forest Soils**. Madison: ASA, 1977. p. 20-

DENEFF, P. e. a. Short-term effects of tillage and physical forces on aggregate formation in soils with different clay mineralogy. **Plant and soil**, Dordrecht, v. , p. 18-21, 1972.

DE OLIVEIRA, D. P. Caracterização de óxidos de ferro e adsorção de fósforo na fração argila de horizontes B latossólicos. 198 p. f. Dissertação (Mestrado) - Curso de Pós-graduação em Engenharia de Agronomia, Universidade Federal do Rio Grande do Sul, Porto Alegre, 1978.

DONALD, D. P. et al. Characteristics of soil organic matter of different Brazilian Ferrissols under a live vegetation: a function of soil depth. *Geoderma*, Amsterdam, v. 124, p. 13-28, 2005.

DE OLIVEIRA, J. **Estoque e qualidade da matéria orgânica do solo em função de sistemas de culturas e adubação nitrogenada no sistema plantio direto**. 2005. 144 f. Tese (Doutorado) - Programa de Pós-graduação em Ciência do Solo, Faculdade de Agronomia, Universidade Federal do Rio Grande do Sul, Porto Alegre, 2005.

DE OLIVEIRA, J. et al. Grain and nitrogen sources in physical fractions of a subtropical Acrisol as influenced by long-term no-tillage cropping systems and N fertilization. *Plant and Soil*, Dordrecht, v. 278, p. 13-28, 2005.

DXON, J. B. and serpentine group. In: DXON, J. B., FEED, C. B. (eds.) **Minerals in soil environments**. Madison: SSSA, 1983. pp. 47-22.

DUNN, E. et al. Iron hydroxide crystals and effects on soil aggregation. *Soil Science Society of America Journal*, Madison, v. 7, p. 1-11, 2005.

EDWARDS, A. P., BREMNER, J. M. Microaggregates in soil. *Journal of Soil Science*, Oxford, v. 18, p. 4-7, 1967.

ELLERT, B., BETTANY, J. R. Accumulation of organic matter and nutrients stored in soils under continuous maize production in regions. *Canadian Journal of Soil Science*, Ottawa, v. 7, p. 23-28, 1987.

ELLIOTT, E. T. Aggregate structure and carbon, nitrogen and phosphorus in a live and cultivated soil. *Soil Science Society of America Journal*, Madison, v. 7, p. 27-31, 1987.

ELLIOTT, E. T. et al. Organic matter composition in soil aggregates from a tropical chronosequence: correction for sand and clay fraction. *Agriculture, Ecosystems and Environment*, Amsterdam, v. 4, p. 44-41, 1991.

EMBRAPA. **Sistema brasileiro de classificação de solos**. Brasília: Empresa Brasileira de Pesquisa Agropecuária, 1990. 412 p.

FAO. **Soil Map of the World**. Revised Legend. Rome, 1974.

FABRICO, A. C., ALTON, J. C. **Alterações no teor de matéria orgânica do solo em diferentes sistemas de produção**. Documentos: Empresa Brasileira de Pesquisa Agropecuária, Oeste, 1990. 4 p. (Coleção do Técnico, 7).

FELLER, C., ALBRECHT, A., TEBBER, D. Aggregation and organic matter storage in a soil under a no-tillage cropping system. In: CARTER, M. R., STEWART, B. A. (eds.) **Structure and organic matter storage in agricultural soils**. Boca Raton: CRC Press, 1990. p. 1-12.

FELLER, C. BEARE, M. . Physico-chemical control of soil organic matter dynamics in the tropics. *Geoderma*, Amsterdam, v. 72, p. 1-11, 1977.

FERRERIA, M. M. FERNANDES, B. C. R. N. Meneiros de Almeida e Resende. *Revista Brasileira de Ciência do Solo*, v. 17, p. 17-14, 1993.

FERRER, M. J. et al. Growth of nitrogen fixed deep-rooted grasses in the South American savanna. *Nature*, v. 71, p. 21-28, 1974.

FREIXO, A. A. et al. Esquemas de rorono e nitrogeno e de estrutura de flocos orgânicos de húmus do Cerrado sul-ferreiros. *Revista Brasileira de Ciência do Solo*, v. 17, p. 42-44, 1993.

FREYER, M. J. et al. Root-derived rorona and the formation and stabilization of aggregates. *Soil Science Society of America Journal*, Madison, v. 4, p. 21-217, 1970.

GEDERT, M. J. et al. Management of cerrado soils of Brazil. *Journal of Soil Science*, Oxford, v. 4, p. 41-428, 1978.

GLENN, A. et al. Study of free and occluded porosity of organic matter in soils by solid state ^{13}C CP/MAS NMR spectroscopy and scanning electron microscopy. *Australian Journal of Soil Research*, Canberra, v. 2, p. 28-37, 1974.

GLENN, A. et al. Soil structure and rorono cycling. *Australian Journal of Soil Research*, Canberra, v. 2, p. 174-188, 1974.

GLENN, A. et al. Soil structure and dynamic properties of soil organic matter as reflected by ^{13}C pulse field excitation, pyrolysis mass spectroscopy and solid state ^{13}C NMR spectroscopy in dense forests of Oxley under forest and pasture. *Australian Journal of Soil Research*, Canberra, v. 1, p. 1-7, 1973.

GLENN, A. BALDOC, J. A. OADES, J. M. A. et al. Modeling organic matter decomposition, chemistry and aggregate dynamics. LAL et al. eds. *Soil processes and the carbon cycle*. Boca Raton: CRC Press, 1977. p. 24-32.

GLONAL, F. C. M. et al. The effect of 15N fertilizer on the resolution of CP/MAS ^{13}C NMR spectra and on the quality of organic matter in Ferral soils. *Geoderma*, Amsterdam, v. 11, p. 7-32, 1974.

GREENLAND, D. J. et al. Nitrogen leaching and organic compounds in soil. *Biogeochemistry*. Mechanisms of nitrogen leaching and defined organic compounds. *Soil and Fertilizers*, Oxon, v. 28, p. 41-42, 1978.

GREENWOOD, E. ACANCO, R. et al. ORONEN, R. P. Growth of nitrogen in soil size fractions after various amounts of aggregate disruption. *Journal of Soil Science*, Oxford, v. 4, p. 41-48, 1978.

- RE ORC, E. J. ANZEN, . . . Storage of soil carbon in the ghumic horizon and macroorganic matter. In: CARTER, M. R. & TARRANT, B. A. (Eds.) **Structure and organic matter storage in agricultural soils**. Boca Raton: CRC Lewis, 1997. p. 17-19.
- REINBERGER, G. & ROTHENBACH, B.T. ZEC, . . . Land-use effects on the composition of organic matter in particle size separates of soil: lignin and polyhydroxybenzoic acid. **European Journal of Soil Science**, Oxford, v. 4, p. 44-48, 1994.
- REPTA, . . . & FERREIRA, J.J. Dissolution of microclay minerals and its effect on differences in aggregate size classes affected by cultivation. **Soil Biology and Biochemistry**, Amsterdam, v. 2, p. 777-781, 1988.
- REYNOLDS, J. The capacity of soils to preserve organic C and N by their association with clay and silt particles. **Plant and Soil**, Dordrecht, v. 137, p. 77-87, 1997.
- REYNOLDS, J. & TAYLOR, A. P. A mode of physical protection of organic matter in soils. **Soil Science Society of America Journal**, Madison, v. 51, p. 111-113, 1987.
- REYNOLDS, J. et al. Zeolite density fractionation of soil organic matter and the physical capacity of soils to protect organic matter. **European Journal of Soil Science**, Oxford, v. 7, p. 183-187, 1997.
- REYNOLDS, R. J. & BEARE, M. Influence of six crop species on aggregate stability and soil water retention capacity. **Soil Biology & Biochemistry**, Amsterdam, v. 2, p. 147-151, 1987.
- REYNOLDS, M. et al. Effect of land use on the composition of soil organic matter in density and aggregate fractions as revealed by solid-state ^{13}C NMR spectroscopy. **Geoderma**, Amsterdam, v. 1, p. 31-41, 2007.
- REYNOLDS, A. & CAMPBELL, C. Avaliação de procedimentos de extração dos óxidos de ferro pedogênicos com o método de oxidação de sódio. **Revista Brasileira de Ciência do Solo**, Campinas, p. 113-117, 2007.
- REYNOLDS, A. & CAMPBELL, C. Avaliação de métodos de extração de óxidos de ferro pedogênicos com o método de oxidação de sódio. **Revista Brasileira de Ciência do Solo**, Campinas, p. 81-83, 2007.
- REYNOLDS, A. et al. Avaliação de métodos de extração de óxidos de ferro pedogênicos com o método de oxidação de sódio. **Revista Brasileira de Ciência do Solo**, Campinas, p. 81-83, 2007.
- REYNOLDS, J. Dissolution of microclay minerals and its effect on the capacity of soils to preserve organic matter. **Soil Biology & Biochemistry**, Amsterdam, v. 28, p. 7-11, 1997.

JANTRO, J. D., BOYTON, T., MILLER, R. M. Grain dynamics of aggregated soil particles measured by carbon-13 and density. **Soil Science Society of America Journal**, Madison, v. 51, p. 871-877, 1987.

JOHN, B. Effect of organic carbon aggregation and density fractions of soil solids under different types of land use. **Geoderma**, Amsterdam, v. 128, p. 1-7, 2001.

JOYNTON, A. E. Soil organic matter effects on soil and crops. **Soil Use & Management**, London, v. 2, p. 97-101, 1986.

EMPER, D., C. EPI, S. Zeisel, R. U. on of aggregation. In: BLAIR, C. A. (ed.) **Methods of soil analysis**. Madison: American Society of Agronomy, 1982. p. 433-437.

EMPER, D., ROENIGG, R. C. Aggregation and size distribution. In: LUTE, A. (ed.) **Methods of soil analysis: Physical and chemical methods**. Madison: ASA, 1982. p. 427-442.

MCNEIL, P., POOLON, D., RANDALL, E. ¹³C NMR studies of organic matter in soil: a quantitative approach. **European Journal of Soil Science**, Oxford, v. 4, p. 127-138, 1983.

TAKAHASHI, Y. Soil organic matter in some soils from the Amazon region. **Soil Science Plant Nutrition**, Tokyo, v. 2, p. 213-217, 1976.

MCNEIL, P., LUDMANN, D. N-15 and C-13 CPMA and solution NMR studies of N-15 enriched manure during 60 days of microbial degradation. **Organic Geochemistry**, Oxford, v. 28, p. 37-41, 1997.

MCNEIL, P., EMTAD, L. A. Nature of organic carbon and nitrogen in physically protected organic matter of some Australian soils revealed by solid-state ¹³C and ¹⁵N NMR spectroscopy. **Australian Journal of Soil Research**, Canberra, v. 38, p. 111-127, 2001.

MCNEIL, P., NABNER, S. Chemical composition of the organic matter in forest soils. **Forest Science**, Gersheim, v. 14, p. 124-138, 1988.

MCNEIL, P., NABNER, S. ¹³C and ¹⁵N NMR spectroscopy as a tool in soil organic matter studies. **Geoderma**, Amsterdam, v. 8, p. 24-27, 1977.

MCNEIL, P., NABNER, S. The microbial organic composition of plant and microbial residues as inputs to soil organic matter. **Soil Biology & Biochemistry**, Amsterdam, v. 4, p. 113-122, 2002.

MCNEIL, P., NABNER, S. Content and composition of free and

RILL, E. BALDOC, J. A. EMTAD, J. O. por nce of n echn s and processes of the es a on of so org ncl a er for n ode ng a r on turnover. **Functional Plant Biology**, Co ng ad, v. 7, p. 217-222, 2001.

LADD, J. N. FORTER, R. C. EMTAD, J. O. o s.rucure: a r on and n rogen e o s. **Geoderma**, A s,erd n, v. 4, p. 41-44, 1991.

LOATO, T. **Inâmica do carbono e do nitrogênio do solo afetada por preparos do solo, sistemas de cultura e adubo nitrogenado.** 2001. 12 f. Tese (Doutorado) - Programa de Pós-graduação em Ciência do Solo, Faculdade de Agronomia, Universidade Federal do Rio Grande do Sul, Porto Alegre, 2001.

LITZO, M. o s a on of org ncl a er n e n p e e so s: n echn s and her ree nce under dfferen so cond onsa reve **European Journal of Soil Science**, Oxford, v. 7, p. 42-44, 2001.

MACEDO, M. C. M. B s, gens no ecoss, e a Cera dos: Evo u o d s pesquisa s a o desenv, en, o sus, em, ve. n: RE NAO AN AL DA BZ, 2., a n a. **Anais... a n a BZ**, 1991. p. 28-32.

MACEDO, M. C. M. e a . Pre n a ry resu s of a grop, s, o n sys, e, s n he cera dos of M o rosso do u - Bz n: ANNO, T. MACEDO, M. C. M. eds. **International joint workshop on agropastoral system in South America.** T su up : BCA, 2001. p. 39-42. **Working Report**, 1991.

MADAR, B. e a . No a gea nd crop ro a on effec, s on so a ggreg, on and org ncl a r on na Rhodc Fera so fro, sou, hern Bz . **Soil & Tillage Research**, A s,erd n, v. 8, p. 18-22, 2001.

MELO, E. G a cer, s, o s dos óxidos de ferro e de a u, n, o de dferen, es a sses de so os. **Revista Brasileira de Ciência do Solo**, 2001, v. 2, p. 19-22, 2001.

MERRA, O. P. AC ON, M. L. ron ox de re, o a fro, so sa nd a ys a ya d, h on e-c a e sys, e, suffered n sod u, a r on e. **Proceedings Clays and Clay Mineral Conference**, Oxford, v. 7, p. 17-27, 1991.

MELN CZ, J. e a . M ne o de so o e cu, u, s e sa re a o co, es, oques de a r on e n rogen o do so o. n: C R, N. e a . eds. **Tópicos em ciência do solo.** 2001, v. 7, p. 239-248.

NE FELDT, R. REC, D. AYUZA, M. A. Tex, urea nd a nd-use effec, s on so org ncl a er n Cera do Ox so s, Cera Bz . **Geoderma**, A s,erd n, v. 17, p. 11-14, 2002.

OADE, J. M. o org ncl a era nd s.ruc, u, s a y: n echn s, sa nd n p a ons for a a ge, en. **Plant and Soil**, Dordrech, v. 7, p. 19-27, 1984.

OADE, J. M. Characterization of organic matter in particle size and density fractions from a red-iron ochre soil by solid-state ^{13}C NMR. **Australian Journal of Soil Research**, Conington, v. 23, p. 71-82, 1987.

OADE, J. M. The re-orientation of organic matter in soils. **Biogeochemistry**, Netherlands, v. 1, p. 1-7, 1988.

OADE, J. M. e. a. . Interactions of soil organic matter and microbial charge systems. In: COLEMAN, D. C. OADE, J. M. e. a. . eds. **Dynamics of soil organic matter in tropical ecosystems**. London: University of Cambridge Press, 1989. p. 1-10.

OADE, J. M. e. a. . LATER, A. . Aggregate hierarchy in soils. **Australian Journal of Soil Research**, Conington, v. 23, p. 81-828, 1981.

OLIVEIRA, J. e. a. . ACOMINE, P. e. a. . CAMARÃO, M. N. **Classes gerais de solos do Brasil: guia para a sua identificação**. João Pessoa: Funesp, 1982. 291 p.

PALADIN, F. L. e. a. . MELNICH, J. D. Distribuição de matéria orgânica dos de um solo Podzólico vermelho escuro formado por sucessão de culturas. **Revista Brasileira de Ciência do Solo**, Campinas, v. 1, p. 1-14, 1971.

PARTAN, J. e. a. . COLLIN, J. P. e. a. . PAUL, E. A. Management controls on soil carbon. In: PAUL, E. A. e. a. . eds. **Soil organic matter in temperate agroecosystems: Long-term experiments in North America**. Boca Raton: CRC Press, 1989. p. 1-4.

PERCIVAL, J. e. a. . PARFITT, R. L. e. a. . COTT, N. A. Effects controlling soil carbon levels in New Zealand grasslands: site and content patterns? **Soil Science Society of America Journal**, Madison, v. 4, p. 1-2-1, 1980.

PILLON, C. N. **Alterações no conteúdo e qualidade da matéria orgânica do solo induzido por sistemas de culturas em plantio direto**. 2000. 222 f. Tese (Doutorado) - Programa de Pós-graduação em Ciência do Solo, Faculdade de Agronomia, Universidade Federal do Rio Grande do Sul, Porto Alegre, 2000.

PINEIRO, E. F. M. e. a. . Formação e densidade de matéria orgânica do solo sob diferentes sucessões de mata nativa e colheita vegetal. **Boletim do Aferes (R)**. **Revista Brasileira de Ciência do Solo**, Campinas, v. 1, p. 7-17, 2004.

POWELL, J. e. a. . SCHLESNER, H. . Relationships among soil carbon density, soil physicochemical characteristics and soil fertility of northern semi-arid grasslands. **Geoderma**, Amsterdam, v. 1, p. 1-1, 2002.

PRESTON, C. M. e. a. . NEWMAN, R. e. a. . ROFFER, P. . Using ^{13}C CPMA NMR to assess effects of cultivation on the organic matter of particle size fractions in grassland soil. **Soil Science**, Wageningen, v. 17, p. 2-3, 1984.

RANOM, B. e.a. . Organic Matter preservation on coniferous sites: porphyrin fluorescence and lignin degradation. **Geochimica and Cosmochimica Acta**, Birmingham, v. 2, p. 123-141, 1968.

RENERT, D. J. e.a. . Efeito de diferentes métodos de preparo do solo sobre a agregação de partículas e sobre o podzólismo. **Revista do Centro de Ciências Rurais**, Maringá, v. 14, p. 1-2, 1984.

RENERT, D. J. . **Recuperação da agregação pelo uso de leguminosas e gramíneas em solo Podzólico Vermelho-Amarelo**. 1984. 2 f. Tese de concurso Professor Titular - Universidade Federal de Maringá, Maringá, 1984.

REINDE, M. e.a. . **Pedologia: a base para o desenvolvimento sustentável**. Nepeva, 1997. 7 p.

REICHERT, D. e.a. . The conversion of Brazil in Cerrado crops and pastureland on soil in the podzolic dystrichs. In: LAL, L., MIELKE, J. M., TEJALART, B. A. (eds.) **Global climate change and tropical ecosystems**. Boca Raton: CRC, 1992. p. 1-12.

ROCOE, R. e.a. . O orgânico da terra dystrichs em densidade e produtividade: consequências sobre o C12C solo e o Cerrado oxoso. **Geoderma**, Amsterdã, v. 114, p. 18-22, 2001.

ROCOE, R., MACADO, P. L. O. A. **Fracionamento físico do solo em estudos da matéria orgânica**. Doulos: Engenharia Agropecuária Oes.e: 2002. 8 p.

ROCOE, R., BURMAN, P. T. a. ge effects on soil organic matter density and C content of Cerrado Oxoso. **Soil and Tillage Research**, Amsterdã, v. 76, p. 107-112, 2001.

ROCOE, R. e.a. . Transformações não oxidadas glicon orgânico da terra yey Oxoso evidence from ¹³C-CPMAS-NMR and ¹³C signature. **Revista Brasileira de Ciência do Solo**, Oes.e: 2004, p. 811-818, 2004.

ROCOE, R., MADAR, B. E., MACADO, P. L. O. A. Fração orgânica física do solo e o efeito de cobertura em ensaios de uso e sistemas de produção da matéria orgânica. In: ROCOE, R., MERCANTE, F. M., ALTON, J. C. (eds.) **Dinâmica da matéria orgânica do solo em sistemas conservacionistas: a abordagem da ecologia e a edosauxa res**. Doulos: Engenharia Agropecuária Oes.e, 2001. p. 107-112.

ALTON, J. C. **Matéria orgânica e agregação do solo na rotação lavoura-pastagem em ambiente tropical**. 2001. 28 f. Tese (Doutorado) - Programa de Pós-graduação em Ciência do Solo, Faculdade de Agronomia, Universidade Federal do Rio Grande do Sul, Porto Alegre. 2001.

- ANC EZ, P. A. LO AN, T. J. Myths and science about the chemistry and fertility of soils of the tropics. In: LAL, R. ANC EZ, P. A. (eds.) **Myths and science of soils of the tropics**. London: Science Society of America, 1992. p. 1-4.
- CMIT, M. The use of ^{13}C and ^{15}N CPMA NMR spectra of soils to determine the size fraction and organic matter content of hydrophobic d. **European Journal of Soil Science**, Oxford, v. 8, p. 13-28, 1997.
- CMTZ, J. A. **Indicadores biológicos de qualidade do solo**. 200. 24 f. Tese (Doutorado) - Programa de Pós-graduação em Ciências do Solo, Faculdade de Agronomia, Universidade Federal do Rio Grande do Sul, Porto Alegre, 2000.
- ERTMANN, H. Differenzierung der Eisenoxide des Bodens durch experimentelle Untersuchungen. **Zeitschrift fuer Pflanzenernahrung Düng Bodenkunde**, Jena, v. 10, p. 134-202, 1934.
- ERTMANN, H. The occurrence of soil and synthetic iron oxides. In: TONN, J. OODMAN, B. A. ERTMANN, H. (eds.) **Iron in soils and clay minerals**. Dordrecht: Proc. N. Adv. in Soil Science, 1988. p. 20-22.
- AN, C. T. FEEN, J. Organic matter in soil and its relationship to soil: size, density and aggregate separation. **Soil Science Society of America Journal**, Madison, v. 2, p. 1247-1257, 1998.
- AN, C. T. FEEN, J. Soil density versus particle density of soil: sized organic matter complexes of soil using nitrogen. **Soil Biology and Biochemistry**, Amsterdam, v. 2, p. 202-202, 2001.
- LTEN, J. R. LENEBER, P. Nitrogen in organic matter: composition, properties and molecular structure. **Biology and Fertility of Soils**, Berlin, v. 1, p. 33-42, 2000.
- NE, R. M. Aproveitamento do nitrogênio do solo e melhoria da produtividade de pastagem. In: MERCANTE, F. M. (ed.) **Workshop nitrogênio na sustentabilidade de sistemas intensivos de produção agropecuária**. Doulos: Editora Agropecuária Oes, 2000. p. 12-14.
- J. A. Formação, estabilidade e qualidade de agregados do solo afetados pelo uso agrícola. 199. 12 f. Tese (Doutorado) - Programa de Pós-graduação em Ciências do Solo, Faculdade de Agronomia, Universidade Federal do Rio Grande do Sul, Porto Alegre, 1999.
- J. A. Formação, estabilidade e qualidade de agregados do solo afetados pelo uso agrícola. In: **Revista Brasileira de Ciência do Solo**, Campinas, v. 21, p. 11-117, 1997.

L. A. FELN CZ, J. A. A. o do es do de a greg a o do so o a fe do pe o úso gr ca . **Revista Brasileira de Ciência do Solo**, G r p a s, v. 21, p. 1 - 13, 1997.

L. A. FELN CZ, J. e a s de cu vo e a a c e r s a s do so o a fe ndo es l d de de greg dos. **Revista Brasileira de Ciência do Solo**, G r p a s, v. 21, p. 11- 17, 1998.

L. A. FELN CZ, J. G r n o s o g e n a y e y O x s o c u u e d a s u r e s n h e "C e r a d o" r e g o n, B a z . **Agriculture, Ecosystems & Environment**, A n s e r d n, v. 10, p. 7- 20, 2004.

X. J. e a . A g g r e g o m n d s o o r g n c l a e r a c c u r a o n n c u u e d n d a v e g a s s a n d s o s. **Soil Science Society of America Journal**, M d s o n, v. 2, p. 1 7-1 77, 1998.

X. J. ELLOTT, E. T. PAT AN, . A g g r e g e a n d s o o r g n c l a e r d y n a m i c s u n d e r c o n v e n o b a n d n o - a g e s y s e m s. **Soil Science Society of America Journal**, M d s o n, v. 4, p. 1 7-1 8, 1998.

X. J. ELLOTT, E. T. PAT AN, e o s r u c u r e a n d s o o r g n c l a e r : A n o r a z e d s a l y n d e x a n d h e e f f e c t o f n e o l o g y. **Soil Science Society of America Journal**, M d s o n, v. 4, p. 1 42-1 44, 2000 .

X. J. e a e o s r u c u r e a n d s o o r g n c l a e r : D i s t r i b u t i o n o f a g g r e g e s s e a s s e s a n d a g g r e g e a s s o c i e d a r i o n. **Soil Science Society of America Journal**, M d s o n, v. 4, p. 81- 83, 2000 .

X. J. ELLOTT, E. T. PAT AN, e o l a c r e a g g r e g e u r n o v e r a n d n e c r e a g g r e g e f o r a o n a m e c h n s e f o r C s e q u e s t r o n u n d e r n o - a g e a g r i c u l t u r e. **Soil Biology and Biochemistry**, A n s e r d n, v. 2, p. 203-211 , 2000.

X. J. e a e o o r g n c l a e r , l o a a n d a g g r e g o n n e p e r e a n d r o p a s o s - E f f e c t s o f n o - a g e. **Agronomie**, v. 22, p. 7 7-77 , 2000 .

X. J. CONANT, R. T. PAL, E. A. PAT AN, e a l a o n e c h n s e s o f s o o r g n c l a e r : l i p o a o n s f o r C a u t i o n o f s o s. **Plant and Soil**, D o r d r e c h t, v. 241, p. 1 7-1 7, 2002 .

J. EMTAD, J. O. LE FE V E, P. P R E B B L E, R. E. T u r n o v e r o f s o o r g n c l a e r u n d e r a s u r e a s d e t e r m i n e d b y ¹³ C a u t a l u n d n e e. **Australian Journal of Soil Research**, C o n g r e s s, v. 28, p. 2 7-277, 1990.

J. EMTAD, J. O. e a e g h e n e r g y u s e v o e p h o o o x d o n : a n o v e e c h n q u e f o r s t u d y n g p h y s i c a l p r o e c e d o r g n c l a e r n e y a n d s e s z e d a g g r e g e s. **Journal of Soil Science**, O x f o r d, v. 44, p. 48 -49, 1994 .

J. EMTAD, J. O. e a . T h e r e o n o f a g n e c l a e r s f r o m s u r f a c e s o s. A s o d e e ¹³ C C P M A N M R s t u d y. **Australian Journal of Soil Research**, C o n g r e s s, v. 2, p. 121 -122, 1994.

EMETAD, J. O. et al. Characterization of soil organic matter by solid-state ^{13}C NMR spectroscopy. In: ADAMS, J. W., MILLER, J. E. (eds). **Driven by nature: a new era in land development**. Wallingford: CAB International, 1997. p. 267-271.

EMETAD, J. O. et al. Changes in chemical nature of soil organic carbon in a soil under pasture in southern Queensland. **Australian Journal of Soil Research**, Country Club, v. 38, p. 41-52, 2001.

OLSON, P. et al. A procedure for separating soil organic matter fractions suitable for modeling. **Soil Science Society of America Journal**, Madison, v. 55, p. 1121-1128, 2001.

COLLINS, P., OMMAN, P., CALDWELL, B. A. et al. Characterization and description of soil organic matter: a hierarchical and controlled. **Geoderma**, Amsterdam, v. 74, p. 1-15, 1997.

PYCHER, J., COLLINS, P., ROEHL, G. et al. Ground nitrogen in the high carbon of a forest soil: vertical distribution and soil parameters. **Soil Science**, Wageningen, v. 11, p. 73-87, 1988.

TEEMAN, M. L. et al. Ground nitrogen: TEEMAN, M. L. (ed). **Humus Chemistry: genesis, composition, reactions**. New York: John Wiley, 1994. p. 141-150.

TEEMAN, M. L., STEWART, J. B. et al. Light and electron microscopy of soil organic aggregates: the role of organic matter and soil aggregates in soil aggregation. **Biogeochemistry**, Netherlands, v. 4, p. 12-22, 1988.

TODDALL, J. M., OADES, J. M. et al. Characterization of soil aggregates by the root systems of ryegrass. **Australian Journal of Soil Research**, Country Club, v. 17, p. 423-441, 1979.

TODDALL, J. M., OADES, J. M. et al. Organic matter and soil aggregates in soils. **Journal of Soil Science**, Oxford, v. 132, p. 141-150, 1982.

ANDERSON, J. M., MERCER, R., ANDERSON, J. M. et al. Pasture and soil related controls of the flow of carbon from roots through the soil to the atmosphere. In: CLARKE, M., BERTON, L. (eds). **Ecology of arable lands**. Dordrecht: Kluwer Academic Publishers, 1982. p. 4-20.

ALCANTARA, M., COLLINS, P., COLLINS, P. et al. Structural analysis of geochemical and physical soil properties by solid-state nuclear magnetic resonance spectroscopy. Role of soil organic matter. **Analytical Chemistry**, Columbus, v. 59, p. 18-22, 1987.

EZZAN, M. **Qualidade do sistema solo na produção agrícola**. 2001. 184 f. Tese (Doutorado) - Programa de Pós-graduação em Ciência do Solo, Faculdade de Agronomia, Universidade Federal do Rio Grande do Sul, Porto Alegre, 2001.

TORRES, M. C. T. et al. Manejo, qualidade e estabilidade de agregados do solo em função de sistemas de manejo sustentáveis do Brasil. **Pesquisa Agropecuária Brasileira**, Brasília, v. 8, p. 111-141, 2003.

LANDER, M. M.; YAN, X. Influence of age on the dynamics of oocyte and oviductal bacteria and humified organic matter fractions. **Soil Biology and Biochemistry**, Amsterdam, v. 2, p. 111-114, 2003.

YOUNG, J. L.; PYCER, J. Bacterial dispersal and soil organic matter turnover and nitrogen fixation. **Soil Science Society of America Journal**, Madison, v. 4, p. 24-28, 1973.

ZEC, A. et al. Factors controlling humification and nitrogen fixation of soil organic matter in the tropics. **Geoderma**, Amsterdam, v. 73, p. 17-31, 1997.

ZOTARELLI, L. et al. Impact of age and crop rotation on aggregate-associated bacterial diversity in topsoils. **Soil Science Society of America Journal**, Madison, v. 5, p. 482-491, 2001.

Apêndice 1. Condições...

Cód	T	Prof.	Pene	Repeção		Repeção		Repeção		Méd
				1	2	1	2	1	2	
				1,8	11,8	11,1	11,1	11,2	14,8	11,1
				14,42	1,44	21,21	21,2	1,21	17,82	17,7
			2	12,21	14,1	1,1	1,4	2,1	1,1	1,1
			1,1	2,2	1,41	1,4	8,57	7,		8,2
				,2	2,74	,88	2,2	2,1	2,7	2,28
			<1,1	1,8	4,2	,		27		
		-1,1	4,7	27,4	1,27	12,12	1,1	24,4	24,4	
			2,1	18,7	18,71	2,71	21,44	12,11	18,48	12,27
			1,1	14,1	1,18	1,	11,	17,4	14,	1,88
				1,1	12,24	14,8	12,1	2,8	17,28	1,2
			2	2,2	11,2	1,2	2,1	12,21	1,8	1,7
			1,1	,17	7,71	8,72	7,1	8,1	4	7,8
				2,2	2,1	2,42	2,42	2,7	1,27	2,22
			<1,1	,48	,1	,	,2	,1	,8	,81
		1,2	4,7	4,2	4,2	22,81	2,4	28,8	1,12	1,48
			2,1	12,17	18,12	18,21	1,7	21,2	17,	17,48
			1,1	8,12	1,14	14,1	11,	14,	1,27	12,8
				2,21	8,12	1,4	1,1	12,72	2,2	1,7
			2	,12	,4	1,21	11,1	8,22	12,78	2,1
			1,1	,17	2,4	7,2	7,48	7,28	7,2	7,2
				2,27	1,82	2,72	2,71	1,82	1,24	2,2
			<1,1	,1	,12	,7	,8	,21	,2	,2
		PD2P2	4,7	2,7	4,7	4,2	,	48,	44,8	4,28
			2,1	18,17	12,22	17,17	1,	2,1	17,27	18,1
			1,1	8,84	1,22	1,4	2,2	2,2	8,12	2,2
					7,8	8,	,1	8,22	1,27	7,24
			2	4,	4,48	,7	4,24	,12	8,41	,2
			1,1	,	,8	,24	2,2	,	4,7	,42
				1,24	1,27	1,1	1,8	1,42	1,47	1,21
			<1,1	,21	,41	4,42	4,	4,2	4,21	4,
		-1,1	4,7	2,2	,2	2,8	47,4	7,82	4,8	41,7
			2,1	2,2	18,2	12,	1,	21,11	1,2	18,72
			1,1	1,	14,7	8,2	2,2	11,24	1,4	11,41
				1,4	11,22	4,7	7,2	2,72	7,71	2,2
			2	4	7,27	,7	,18	,81	,1	,2
			1,1	,12	,21	4,8	,	4,	,7	,7
				1,2	2,8	1,8	1,2	2,1	1,7	1,2
			<1,1	7,1	7,1	4	,11	,8	,8	41
		1,2	4,7	1,2	2,7	2,4	8,72	2,2	4,2	,
			2,1	21,18	1,7	2,72	18,81	24,1	18,1	12,24
			1,1	11,1	11,47	12,4	11,12	1,2	11,2	12,17

Apêndice 1. Condições de...

Código	Tamanho	Prof.	Penetração	Repetição		Repetição		Repetição		Méd.	
				1	2	1	2	1	2		
				1,11	2,1	11,27	8,2	1,24	1,2	1,1	
				2	2	7,71	2,87	7,48	7,72	7,72	
				1,4	2	7,78	2,28	2	4,8	2,4	
				2,14	2,82	2,12	2,12	1,2	1,2	2,11	
				<1	7,1	4	24	24	1,1	1,1	2,4
		PP		4,7	44,1	42,17	2,7	7,4	48,2	2,7	4,78
				2,2	2,7	22,	2,1	2,1	12,2	2,41	21,4
				1,2	11,2	1,22	12,2	11,	8,4	1,8	11,8
				2	8,7	2	1,8	12,2	11,4	8,8	1,7
				2	8	2	1,2	8,8	2,7	7,1	
				1,1	2,28	2,72	4	4,7	4,47	4,48	2,2
				1,1	2,2	1,2	7,7	2,4	1,	1,21	1,1
				<1	7	7	41	22	77	4,7	2,2
		-1		4,7	4,7	4,1	8,2	4,14	42,48	2,2	4,1
				2,2	1,2	18,2	14,	1,7	1,1	1,41	1,2
				1,2	2,78	11,2	8,1	8,2	2,1	8,2	2,27
				2	12,2	1,2	8	2,48	11,27	2,2	1,2
				2	8,17	7,2	4,	7,7	2,21	1,4	7,
				1,1	7	2	1,8	1	7,72	2,8	4,2
				2	1,	1,	1,18	1,4	2,	2,8	1,87
				<1	4,4	4,11	2,	4,2	4,4	2,24	4,42
		1-2		4,7	47,8	42,	48,41	4,	42,2	2,74	4,84
				2,2	14,2	2,14	14,44	1,8	12,	1,2	1,2
				1,2	7,27	8,2	7,27	2,4	8,4	1,2	8,
				2	8,78	2	2,27	2,2	2,2	11,12	2,4
				2	7,28	4,28	7,14	7,2	1,4	7,	7,2
				1,1	7,2	4,2	1	7	8,8	7,2	7,1
				2	1,7	1,7	1,7	1,7	2,7	1,8	1,2
				<1	1	4,2	4,7	4,8	2,	2,4	2,2
				4,7	48,8	2	n.d.	n.d.	n.d.	n.d.	4,1
				2,2	28,2	2,14	n.d.	n.d.	n.d.	n.d.	2,8
				1,2	1,24	1,2	n.d.	n.d.	n.d.	n.d.	1,14
				2	2	27	n.d.	n.d.	n.d.	n.d.	2
				2	2,8	7,4	n.d.	n.d.	n.d.	n.d.	4,1
				1,1	1,8	2,44	n.d.	n.d.	n.d.	n.d.	2,2
				2	8	1	n.d.	n.d.	n.d.	n.d.	4
				<1	1,81	1,8	n.d.	n.d.	n.d.	n.d.	1,8
		-1		4,7	7,27	4	n.d.	n.d.	n.d.	n.d.	4,2
				2,2	1,2	1,14	n.d.	n.d.	n.d.	n.d.	1,4
				1,2	1,	2	n.d.	n.d.	n.d.	n.d.	2,1
				2	1,14	4,81	n.d.	n.d.	n.d.	n.d.	8,27

L df M N

Apêndice 1. Condições de...

Código	Tamanho	Prof.	Penetração	Repetição		Repetição		Repetição		Méd.
				1	2	1	2	1	2	
			1,2	11,21		n.d.	n.d.	n.d.	n.d.	8,2
			1,1	2		n.d.	n.d.	n.d.	n.d.	1
			1,1	1,3	1,24	n.d.	n.d.	n.d.	n.d.	1,2
			<1,1	2,48	2,73	n.d.	n.d.	n.d.	n.d.	2,
	1-2		4,7	8,14	8,18	n.d.	n.d.	n.d.	n.d.	8,1
			2,1	1,28	1,18	n.d.	n.d.	n.d.	n.d.	1,7
			1,1	12,	11,44	n.d.	n.d.	n.d.	n.d.	11,1
			1,1	12,1	12,7	n.d.	n.d.	n.d.	n.d.	12,
			1,2	1,22	8,7	n.d.	n.d.	n.d.	n.d.	3,4
			1,1	7,28	8,4	n.d.	n.d.	n.d.	n.d.	7,87
			1,1	1,48	1,	n.d.	n.d.	n.d.	n.d.	1,7
			<1,1	2,72	2,7	n.d.	n.d.	n.d.	n.d.	2,71
	PD		4,7	12,4	1,1	1,2	21,2	14,3	12,1	1,2
			2,1	14,12	1,	2,	2,34	2,4	1,	18,7
			1,1	1,3	21,	2,71	17,3	1,82	14,1	17,
			1,1	2,8	2,1	1,	18,8	2,77	22,7	21,7
			1,2	1,7	1,4	3,18	3,2	1,18	1,	12,1
			1,1	3,	,1	4,	,2	8,1	8,7	8
			1,1	2,4	2,1	1,4	1,4	1,3	2,	1,3
			<1,1	,4	,21	4,	4,71	4,3	,1	4,32
		-1	4,7	24,3	2,71	1,7	27,2	41,1		1,72
			2,1	27,88	27,42	2,2	2,8	18,87	17,8	2,84
			1,1	2,1	2,3	1,42	17,	3,88	12,7	1,22
			1,1	12,2	1,3	3,	12,8	11,2	12,7	11,
			1,2	,18	,82	,4	8,	7,8		,2
			1,1	,34	,8	4,3	4,2	4,77	,2	4,7
			1,1	1,2	1,3	1,44	1,	1,7	1,71	1,4
			<1,1	4,1	,7	4,82	4,41	,3	4,2	4,21
	1-2		4,7	4,1	4,4	3,1	,72	3,4	,87	3,14
			2,1	2,1	22,18	27,87	21,	18,14	1,2	2,3
			1,1	1,1	12,1	3,2	1,11	12,1	1,1	12,22
			1,1	7,8	3,3	8,12	14,42	1,22	1,88	11,17
			1,2	,1	,24	7,1	7,12	8,4		4
			1,1	,17	,77	,27	,	,17	7,7	,1
			1,1	1,4	1,4	1,22	1,2	1,4	1,7	1,3
			<1,1	4,1	4,17	,	,3	,4	,4	,7
	PD2P2		4,7	47,41	48,17	42,	42,14	4,78	1,12	4,3
			2,1	1,8	1,72	24,	1,4	2,12	21,3	1,4
			1,1	3,1	11,3	11,8	1,7	1,8	1,7	12,7
			1,1	1,42	8,3	11,1	12,	1,3	1,3	12,48
			1,2	,7	,7	,3	8,	8,1	8,4	7,12

Apêndice 1. Condições de...

Código	Tamanho	Prof.	Penetração	Repetição		Repetição		Repetição		Méd.	
				1	2	1	2	1	2		
...	1,1	,32	,42	2,3	2,34	,98	,1	,28
				1,18	1,2	1,81	1,84	1,74	1,7	1,3	
				<1,1	,27	,3	2,8	2,8	2,	,92	2,33
				4,7	4,2	4,3	1,78	,4	4,3	47,82	43,91
				2,1	2,78	2,47	13,42	18,14	17,1	18,21	13,91
				1,1	11,83	11,14	3,13	3,3	3,1	11,98	11,8
				1,1	3,3	7,11	8,42	8	7,7	3,81	8,21
				1,2	,48	,1	4,41	4,1	4,1	,1	,1
				1,1	,	,3	,4	2,43	2,4	,28	,2
				1,1	1,1	1,28	1,84	1,77	1,84	1,81	1,3
				<1,1	4,42	,3	,48	,17	2,71	2,71	,28
				1,2	4,7	1,1	47,34	2,1	,1	43,37	43,73
				2,1	1,1	14,72	18,11	1,2	1,3	17,33	1,77
				1,1	3,3	3,21	3,21	8,72	11,1	1,1	3,78
1,1	8,42	3,14	8,3	8,1	3,3	8,7	8,73				
1,2	2,2	7,3	4,1	4,47	8	,71	,2				
1,1	,3	,3	,4	4,28	,4	,71	4,3				
1,1	1,2	1,2	1,34	1,14	1,14	1,32	1,1				
<1,1	,8	,7	2,3	2,7	2,3	2,4	,7				
PP	1	1	1	4,7	n.d.	2,81	4,2	7,3	4,4	,37	,7
				2,1	n.d.	18,34	11,82	12,22	2,1	1,8	1,3
				1,1	n.d.	1,1	7,1	8,3	12,24	3,27	3,24
				1,1	n.d.	7,81	7,2	,7	12,88	1,81	8,8
				1,2	n.d.	4,32	4,2	,28	3,7	,44	,
				1,1	n.d.	2,81	2,3	1,32	2,	2,3	2,
				1,1	n.d.	1,4	1,7	1,44	1,1	1,1	
				<1,1	n.d.	2,1	1,3	1,78	1,81	1,84	1,31
				4,7	3,1	72,78	73,74	,78	1	7,7	
				2,1	24,81	22,2	14,2	8,8	1,32	12,78	1,17
				1,1	7,1	,14	,7	,	2	,1	
				1,1	,41	2,4	2,7	2,47	4,38	,41	,
				1,2	1,	1,2	1,3	1,71	2,8	,81	2,1
				1,1	1,27	1,14	1,2	1,	2,81	2,2	1,74
1,1	1,	1,	1,4	1,47	1,77	1,	1,7				
<1,1	2,33	2,71	2,74	2,7	2,74	2,	2,3				
1,2	1	1	1	4,7	7,8	7,12	8,74	7,3	8,41	7,3	
				2,1	12,72	11,11	1,4	1,2	1,13	12,7	12,3
				1,1	4,	,11	4,4	4,21	7,41	7,4	,2
				1,1	2,77	4,27	,3	,1	,78	7,	4,2
				1,2	1,8	4,21	1,82	2,	7,7	4,1	
				1,1	1,7	2,1	1,83	2,2	4,28	4,88	2,87

Apêndice 1. Condições de trabalho...

Código	Tarefa	Prof.	Peneira	Repetição		Repetição		Repetição		Méd.			
				1	2	1	2	1	2				
...	-1	4,7	7,34	8,88	7,28	42,73	41,38	8,33		
				2	2,43	2,7	24,1	2,81	22,2	2,31	2,83		
				1	3,1	1,33	8,77	8,33	11,2	3,34	3,88		
				1	3,71	3,12	3,14	11,48	7,4	7,77	8,33		
				2	14,41	8,2	14,1	1,23	3,7	3,12	11,1		
				1	4,7	3,4	3,4	4,1	3,3	4,3	4,1		
				1	1,87	1,12	1,8	1,33	1,33	1,87	1,81		
				<1	2,1	2,73	2,12	2,21	2,17	2,4	2,1		
				1-2	4,7	2,1	3,87	4,2	48,1	4,2	3,33		
				2	22,1	21,1	24,72	21,81	2,4	2,27	21,83		
				1	12,17	7,1	8,7	3,8	3,2	7,1	8,7		
				1	14,74	14,37	3,31	11,1	8,1	3,1	11,1		
				2	18,4	12,73	14,4	12,22	1,1	11,23	1,27		
				1	3,1	3,2	4,33	3,11	4,71	3,17	3,48		
				1	1,87	1,32	1,88	1,42	1,1	1,74	1,8		
				<1	2,1	2,4	2,14	2,44	2,4	2,13	2,1		
				PP+L	1	4,7	4,8	8,17	8,4	7,81	3,1	42,4	8,1
				2	13,7	17,14	1,33	1,73	17,2	1,1	17,1		
1	1,42	14,74	1,78	12,74	12,1	11,4	1,47						
1	1,2	1,8	12,17	12,18	11,14	1,1	11,18						
2	11,32	11,33	11,7	11,4	3,2	12,1	11,27						
1	4,81	4,78	3,33	3,87	3,1	4,1	4,34						
1	1,8	1,4	1,7	1,1	1,1	1,1	1,33						
<1	2,1	2,81	2,71	3,1	2,34	2,47	2,81						
-1	4,7	24,1	27,4	3,47	2,2	1,1	41,12	3,1					
2	21,22	17,21	1,31	1,33	1,18	1,8	1,8						
1	1,33	1,7	1,21	11,33	1,88	1,1	1,13						
1	12,33	17,41	12,1	11,33	12,74	11,8	1,17						
2	1,7	1,44	1,12	1,74	12,48	12,37	1,22						
1	7,74	3,1	3,1	1,8	3,1	3,1	3,1						
1	1,78	1,33	1,8	1,14	1,33	1,11	1,33						
<1	2,1	2,4	2,2	2,78	2,7	2,71	2,8						
1-2	4,7	2,4	22,47	1,77	22,1	3,1	1,1	24,23					
2	14,7	1,2	12,33	14,1	1,1	14,78	14,24						
1	12,1	14,31	11,1	1,2	1,23	11,83	11,88						
1	21,7	17,1	1,33	1,43	1,8	12,14	1,4						
2	21,8	1,1	2,12	22,1	1,22	18,31	21,23						
1	1,1	8,8	1,4	3,83	3,2	7,1	7,88						
1	1,2	1,1	1,8	1,4	1,7	1,27	1,23						
<1	2,1	2,33	3,1	3,17	3,23	2,81	2,84						

n.d.: não se aplica, devido à falta de dados próprios do país considerado ou de seus representantes no Conselho Orgânico do CEN...

Apêndice 1. Teores de carbono nas frações flocos de MO (FLL, FLO e FP) das águas de ...
 C = Carbono orgânico total, sulfito oxidável, PD: peróxido de hidrogênio, PD2P2 e PD1P: peróxido de hidrogênio -
 peróxido de hidrogênio, PP: peróxido de hidrogênio peróxido de hidrogênio, PP+L: peróxido de hidrogênio peróxido de hidrogênio
 de hidrogênio consorciado com outros nutrientes. Flocos de carbono no Estado

Código	Fração	Tratamento	Cidade	Carbono			Méd.	
				Rep. 1	Rep. 2	Rep. 3		
L. de D. ...	FLL	N	...	1,37	2,8	,27	2,7	
				-1	,4	,74	,8	
				1-2	,2	,7	,1	
		PD	...	1,3	,88	,38	1,1	
				-1	,28	,4	,8	
				1-2	,1	,1	,48	
		PD2P2	...	1,2	1,4	,33	1,28	
				-1	,4	,2	,47	
				1-2	,2	,44	,4	
	PP	...	1,3	,2	2,2	2,2		
			-1	,3	1,44	,81		
			1-2	,4	,4	,7		
	FLO	N	...	,28	2,3	4,84	,3	
				-1	2,74	,1	2,88	
				1-2	1,88	1,38	1,8	1,31
		PD	...	,87	,74	4,3	,83	
				-1	2,8	2,17	2,3	2,3
				1-2	2,48	1,3	2,3	2,44
		PD2P2	...	,11	7,3	,4	,4	
				-1	,11	,2	,4	,27
				1-2	2,24	2,3	2,3	2,1
	PP	...	,84	8,2	7,1	7,3		
			-1	,3	,32	,3	,3	
			1-2	2,82	2,3	,38	2,3	
FP	N	...	18,2	24,11	1,1	13,3		
			-1	1,34	17,33	17,88	17,27	
			1-2	12,3	1,3	1,8	14,48	
	PD	...	14,48	12,7	12,41	1,3		
			-1	1,12	11,3	11,44	12,38	
			1-2	1,82	11,73	12,4	12,8	
	PD2P2	...	17,22	17,3	1,83	17,1		
			-1	1,4	1,71	14,47	1,88	
			1-2	12,4	12,34	12,3	12,78	
PP	...	17,4	22,7	21,1	23,42			
		-1	1,32	1,3	1,3	14,2		
		1-2	12,21	1,3	11,3	12,32		

Apêndice . Condições...

Código	Fatura	Tamanho	Qualidade	Grupo			Méd.			
				Rep.	Rep.	Rep.				
				g C g ⁻¹ de solo						
L_d-M	MFL	N	+	4,12	n.d.	n.d.	4,12			
			-1	3,2	n.d.	n.d.	3,2			
			1-2	3,28	n.d.	n.d.	3,28			
			PD	+	1,3	3,8	3,4	3,4		
				-1	3,4	3,2	2,4	3,2		
				1-2	3,2	3,1	3,1	3,18		
		PD2P2	+	1,4	1,7	1,2	1,2			
			-1	3,2	1,2	3,4	3,4			
			1-2	3,27	3,2	3,3	3,27			
		PP	+	1,78	1,78	2,3	1,88			
			-1	3,2	3,3	3,4	3,3			
			1-2	3,3	3,3	3,3	3,3			
		FLO	MFL	N	+	11,4	n.d.	n.d.	11,4	
					-1	4,1	n.d.	n.d.	4,1	
					1-2	2,3	n.d.	n.d.	2,3	
					PD	+	4,28	4,21	3,3	4,14
						-1	3,7	3,8	2,3	3,27
						1-2	2,8	1,7	2,1	2,1
PD2P2	+			3,4	3,8	3,17	3,84			
	-1			3,8	3,7	3,7	3,7			
	1-2			3,1	1,8	2,7	2,42			
PP	+			3,2	8,38	4,3	7,4			
	-1			4,1	4,8	3,1	4,3			
	1-2			1,3	3,4	2,1	2,3			
FP	MFL			N	+	24,42	n.d.	n.d.	24,42	
					-1	1,3	n.d.	n.d.	1,3	
					1-2	1,8	n.d.	n.d.	1,8	
					PD	+	18,7	1,3	1,7	1,7
						-1	13,8	13,8	13,82	13,8
						1-2	17,3	17,2	13,7	17,2
		PD2P2	+	24,11	2,14	21,47	22,31			
			-1	23,2	17,3	23,3	13,42			
			1-2	13,7	1,3	13,18	17,3			
		PP	+	23,3	24,1	27,7	23,3			
			-1	13,7	21,3	13,2	13,7			
			1-2	18,12	13,8	17,3	18,3			
		L_d-C	MFL	N	+	3,7	2,3	3,4	3,24	
					-1	2,17	1,4	1,7	1,74	
					1-2	1,1	3,7	3,3	3,72	

Apêndice . Condições...

Código	Fator	Tratamento	Cidade	Cultivo			Méd.
				Rep.	Rep.	Rep.	
				g C g ⁻¹ de solo			
		PD		2,32	,2	4,	, 3
		-1		1,11	1,81	1, 1	1,1
		1-2		1,38	1,81	1,11	1,3
		PD1P		1, 8	2,24	1,77	1,3
		-1		1, 4	1,4	1,3	1, 3
		1-2		1, 1	1,4	1,3	1, 1
		PP		1, 2	1,8	1,	1,24
		-1		1,7	1,7	1,78	1,7
		1-2		1,7	1,2	1,3	1,3
		PP+L		2,	2,12	1,7	2,1
		-1		1,77	1,3	1,8	1,7
		1-2		1,3	1,3	1,3	1,3
	FLO	N		7,	4,	, 1	,8
		-1		4,27	,11	,4	,3
		1-2		,8	2,1	2,1	2,7
		PD		,1	4,84	,47	,4
		-1		,72	,1	4,1	,3
		1-2		2, 1	2, 8	, 3	2,7
		PD1P		4,4	2,3	4,7	,14
		-1		, 3	,4	, 3	,41
		1-2		2,81	,22	2,3	,11
		PP		,3	,3	4,7	4,2
		-1		,18	,84	,2	4,1
		1-2		2,7	, 3	,42	,14
		PP+L		,32	,32	1,3	1,3
		-1		2,8	,82	,81	,4
		1-2		2, 3	2,	2,7	2, 3
	FP	N		23, 4	13,	18, 1	22, 3
		-1		17, 3	1, 1	1,81	1, 2
		1-2		14,1	14,78	1, 4	14,8
		PD		1, 8	14, 2	17,18	1, 1
		-1		14,17	1, 3	1, 3	14,2
		1-2		12,18	14,4	1, 3	14,
		PD1P		1, 1	17,17	12, 8	14,31
		-1		1, 1	17,17	14,7	1, 4

Apêndice . Con. na a o...

Código	Fundo	Tamanho	Classe	Grupo			Média
				Rep.	Rep.	Rep.	
		C _ng C _n g ⁻¹ de so o.....			
			1-2	1,38	14,31	1,1	14,1
		PP	↑	1,3	17,32	1,48	1,3
			-1	17,42	17,27	1,7	17,1
			1-2	1,44	1,7	1,8	1,8
		PP+L	↑	1,3	1,2	18,7	1,1
			-1	17,2	1,7	17,1	17,4
			1-2	1,7	1,3	1,3	1,3

n.d. = não determinado, devido à falta de amostra própria do grupo de solo representativo da condição orgânica do solo.

Apêndice 4. Teores de carbono nas frações fss de MO (FLL, FLO e FP) da camada de carbono de solo L_{df-D}, L_{df-M} e L_{df-C} sob diferentes usos, sob as seguintes condições de uso e manejo. N: vegetação nativa, PD: pântano de curupira, PD2P2 e PD1P: rotação de culturas, PP: pântano de curupira, PP+L: pântano de curupira consorciado com leguminosa. Fração de carbono orgânico total de RMN¹³C CPMA. Usado

Solo	Fração	Tratamento	Grupo			Méd.
			Rep.	Rep.	Rep.	
.....g C g ⁻¹ de solo.....						
L _{df-D}	FLL	N	1,2	2,3	2,81	2,4
		PD	1,8	2,4	2,31	2,38
		PD2P2	1,4	1,87	2,7	1,7
		PP	1,1	2,3	1,7	2,1
	FLO	N	3,3	4,1	4,41	4,8
		PD	3,3	4,4	4,47	3,87
		PD2P2	7,7	7,7	3,84	7,2
		PP	7,7	3,21	3,3	7,2
	FP	N	1,78	1,7	1,1	1,3
		PD	11,4	3,8	3,7	11,4
		PD2P2	11,74	12,2	11,8	11,1
		PP	1,3	1,4	14,1	1,1
L _{df-M}	FLL	N	0,7	n.d.	n.d.	0,7
		PD	0,82	0,9	0,1	0,1
		PD2P2	1,12	1,22	0,8	1,1
		PP	1,8	1,1	2,7	1,3
	FLO	N	11,7	n.d.	n.d.	11,7
		PD	4,1	3,3	4,4	4,4
		PD2P2	3,1	3,41	3,7	3,7
		PP	3,1	3,8	2,2	3,3
	FP	N	13,7	n.d.	n.d.	13,7
		PD	1,81	14,1	14,11	14,12
		PD2P2	17,4	11,8	18,21	17,41
		PP	22,4	2,28	18,8	21,3
L _{df-C}	FLL	N	3,14	3,4	3,9	3,24
		PD	2,9	2,1	4,77	2,9
		PD1P	2,2	2,1	1,22	2,1
		PP	1,4	1,1	3,3	1,22
		PP+L	1,37	2,1	2,18	2,11

Apêndice 4. Condicionamento

Código	Fator	Tratamento	Grupo			Méd.
			Rep.	Rep.	Rep.	
		g C g ⁻¹ de solo.....			
FLO	N		7,41	,87	,4	,4
	PD		4,8	,12	,8	,27
	PD1P		,7	7,	,1	,38
	PP		4,	4,11	,4	4,
	PP+L		,7	7,84	7,	7,4
FP	N		1	1,7	1,2	14,4
	PD		11,8	12,	1,42	12,1
	PD1P		12,	1,2	1,	1,
	PP		14,14	12,77	1,	1,
	PP+L		14,8	1,7	1,71	1,

n.d. = não determinado, devido à falta de amostra própria do grupo de solo representado no condico do grupo do N

Apêndice 1. Teores de C e N em amostras de solo coletadas em pontos de coleta, em que C_E e N_E são os teores de C e N no solo, respectivamente, e C_g e N_g são os teores de C e N na matéria orgânica do solo. Os dados foram coletados em pontos de coleta em áreas de FLO e FP.

Local	Tipo de solo	Teor de matéria orgânica	C _g (%)		C _E	N _g (%)		N _E	R
			Antes	Após		Antes	Após		
L_d-D	FLL	N	11,8	11,24	1,29	0,44	0,1	1,1	1,0
		PD	7,7	7,1	1,2	0,41	0,41	1,17	1,0
		PD2P2	7,9	8,7	1,24	0,2	0,8	1,13	1,0
		PP	10,9	11,24	1,24	0,7	0,4	1,1	1,0
	FLO	N	n.d.	n.d.	n.d.	n.d.	n.d.	n.d.	n.d.
		PD	14,3	4,71	1,17	0,3	2,9	2,89	1,0
		PD2P2	13,1	4,78	2,7	1,09	2,8	2,8	1,0
		PP	13,27	4,9	2,3	0,3	2,2	2,0	1,0
	FP	N	17,71	17,83	1,4	0,1	1,0	11,77	1,1
		PD	1,11	1,18	3,17	0,19	1,04	1,49	1,1
		PD2P2	1,2	12,43	3,33	0,11	1,24	11,27	1,1
		PP	1,0	17,83	1,38	0,1	1,44	11,08	1,0
L_d-M	FLL	N	1,3	1,49	1,22	0,4	0,3	1,22	1,0
		PD	4,9	4,71	1,19	0,1	0,3	1,0	1,0
		PD2P2	1,8	1,4	1,08	0,1	0,3	1,0	1,0
		PP	8,1	1,9	1,2	0,28	0,4	1,21	1,0
	FLO	N	n.d.	n.d.	n.d.	n.d.	n.d.	n.d.	n.d.
		PD	1,84	4,9	2,71	0,34	2,1	2,7	1,0
		PD2P2	18,2	47,8	2,2	0,3	2,9	2,23	1,0
		PP	17,73	4,4	2,0	0,71	2,0	2,8	1,1
	FP	N	17,17	17,3	8,0	0,1	1,0	8,7	1,1
		PD	1,43	1,0	8,37	0,12	1,24	1,0	1,2
		PD2P2	1,8	1,0	8,0	0,1	1,4	8,3	1,1
		PP	2,23	18,1	7,3	0,17	1,41	8,23	1,0
L_d-C	FLL	N	n.d.	n.d.	n.d.	n.d.	n.d.	n.d.	n.d.
		PD	1,3	14,11	1,23	0,3	0,78	1,1	1,0
		PD1P	8,4	3,11	1,08	0,4	0,4	1,07	1,0
		PP	1,14	7,2	1,18	0,21	0,2	1,19	1,0
	PP+L	7,82	3,02	1,1	0,42	0,4	1,19	1,0	
	FLO	N	n.d.	n.d.	n.d.	n.d.	n.d.	n.d.	n.d.
		PD	18,2	47,0	2,2	1,1	2,82	2,4	1,0
		PD1P	13,73	4,74	2,1	1,04	2,3	2,0	1,0
		PP	17,0	48,1	2,77	0,78	2,07	2,0	1,0
	PP+L	1,0	44,4	2,72	0,32	2,8	2,89	1,0	

Apêndice . Conteúdo...

000 Fato Trabalho Círculo Nível
Anexo Anexo

Apêndice Con. na o...

d s, r | u z a o dos p os de C app, n | no espec, ro de RMN ¹ C CPMA

T a a n, en, o Repe, a o	a d e do e ce, o p	a r, lo x a , es, er e a n, g	C carboxílico	C O- su, s, u do teno	C O- su, s, u do	C aromático	a r, lo d a o a n, o, er co	a r, lo d a o C2-C	h, e, ox a e a n, g n, c do	C O-alkil	C alkil
	22, 18	18, -1	220-160	1, -14	14, -11	160-110	11, -	-	-4	110-45	45-(-10)
PP	2,27	7,24	8,51	4,3	3,87	14,82	13,21	4,4	13,14	54,75	21,93
PP	1,38	7,37	7,95	4,88	3,37	14,51	13,37	4,81	13,4	55,28	22,26
PP	2, 3	7,3	8,31	4,3	3,22	13,82	13,28	3,7	3,37	55,91	21,96
LVd-CG											
PD	3,41	8, 4	11,76	3,74	12,3	18,69	8,82	28, 8	13,78	47,98	21,58
PD	2, 3	7, 1	9,94	3, 1	12,78	18,09	8, 1	27,33	11, 3	47,99	23,98
PD	3, 3	7,38	11,37	3,7	12,33	18,72	8,3	2, 8	13,33	46,81	23,09
PD1P	2,7	7,31	10,67	3,4	12,1	17,51	3,84	3,38	13, 4	51,37	20,46
PD1P	2,71	7, 8	10,39	3, 1	12,7	18,01	3,3	2,3	13,31	50,09	21,50
PD1P	2,3	7,42	10,35	3,24	12,23	17,53	3, 4	28, 1	11,3	48,84	23,28
PP	2,47	7,34	9,51	3,31	11, 1	16,52	3,73	3,44	13,48	50,71	23,26
PP	2, 4	7,24	9,78	3,4	11,37	17,40	3,34	1,21	13,12	51,28	21,54
PP	4,1	7,74	11,89	3, 8	12,74	18,42	3, 8	27,8	13,3	47,74	21,95
PP+L	2,3	7, 8	10,28	3,22	11,3	16,22	3,3	1, 8	11,3	52,16	21,34
PP+L	2,8	7,77	10,57	3, 1	11, 1	16,82	3,4	2,37	13,37	50,33	22,28
PP+L	2,7	7, 4	10,40	3, 3	11,3	17,22	3, 2	2,4	11,3	50,01	22,38

Apêndice 7. Proporção dos diferentes tipos de risonâncias fss de MO (FLL, FLO e FP) da rede de íons dos solos LVdf-D, LVdf-P, LVdf-M, LVdf-C e LVdf-G, em doses sucessivas de água no solo (0, 1, 2, 4, 8, 16, 32, 64, 128, 256, 512 e 1024 mmol L⁻¹), em relação ao volume de água (PD2P2 e PD1P) e a água percolada (PP e PP+L).

Tipo de risonância	Distribuição dos tipos de C (pp, l) no espectro de RMN ¹³ C CPMA										
	2 -	24	24 -18	18 -1	1 -14	14 -11	11 -	-	4	4 -	-4
LVdf-D											
FLL											
PD		1,1	1,7	,1	4,88	14,1	11,	1, 2	1,28	18,2	1,
PD2P2		1,2	1,21	,8	4,2	11, 8	11,7	4,34	11,9	18,98	1, 3
PP	8	1, 2	2,1	2, 8	2,88	1,12	12, 7	42, 4	1,24	1, 4	1, 4
PP		1,	2, 2	,	,8	11, 4	12, 3	8,7	1,14	14, 7	1,4
PP	2	1,47	2,	,77	,	11,3	12,4	,77	,48	1, 2	1, 8
FLO											
PD	4	2,2	1,21	4,4	,2	1, 88	7,88	2, 81	1, 8	24,3	1,4
PD2P2	2	1, 9	1,3	,4	4,24	1, 3	,92	28,87	,32	21,24	1, 2
PP	3	1,42	1,14	4,74	,	14,44	,4	2,	1,	2,4	1,47
FP											
PD	7	1,94	2, 7	7,34	4, 9	1, 3	, 7	2, 8	11,1	21,82	1,2
PD	34	1,78	1,34	,74	,74	,7	8,78	2,41	11,3	2, 9	1, 3
PD	4	1,3	1,44	7,47	,3	1,48	,14	,2	11,44	22,2	1,18
PD2P2		1,	1,82	7,4	,77	1, 2	, 3	, 3	11,	22,97	,72
PP	28	,71	1, 2	7,4	4,97	11,92	1,4	2,1	11,12	2, 3	, 8

Apêndice 7. Condições...

Tabela de Repeção	distribuição dos tempos de Cpp no espectro de RMN ¹ C CPMA										
	2 -	24	24 -18	18 -1	1 -14	14 -11	11		4	4 -	4
LVdf-M											
FLL											
PD	7	2, 4	, 2	, 8	, 12	1, 2	1, 3	1, 11	7	1, 1	1, 4
PD2P2	48	1, 87	2, 18	4, 8	4, 1	12, 8	12, 42	, 82		14, 2	1, 14
PP	1	1, 77	2, 1	, 1		11, 1	12, 87	, 2	1, 72	1, 8	1, 28
PP	8	1, 1	, 14	4, 2	4, 27	12, 2	1, 1	8, 8	, 4	11, 1	
PP	1, 28	1, 12	1, 1	, 8	4, 1	12, 1	1, 7	8, 1	, 2	1, 71	1, 2
FLO											
PD	2	1, 4	1, 28	, 21	, 8	1, 1	8, 12	2, 74	1, 4	21, 4	1, 7
PD2P2	2	1, 1	1, 7	, 1	4, 27	17, 78	8, 81	2, 8	, 71	1, 1	1, 1
PP	4	1, 7	1, 1	4, 8	4, 42	1, 88	1, 2	2, 2	, 17	17, 7	1, 17
FP											
PD	41	7	1, 4	7, 1	, 7	1, 1	1, 11	, 17	11, 2	2, 1	1, 1
PD	2	1, 1	1, 8	, 8	2, 7	, 1	, 4	, 1	11, 8	22, 2	1, 4
PD	4	1, 4	2, 4	7, 2	, 1	1, 7	, 1	41	11, 2	21, 1	1, 78
PD2P2	4	2	1, 87	1, 1	, 71	1, 1	1, 14	2, 48	1, 1	21, 8	1, 8
PP	1	4	1, 77	4, 2	, 1	1, 82	1, 24		1, 18	1, 2	1, 21

Apêndice 7. Condições...

Tabela de Repeção	distribuição dos tempos de Cpp no espectro de RMN ¹ C CPMA										
	2 -	24	24 -18	18 -1	1 -14	14 -11	11		4	4 -	4
Lvd-CG											
FLL											
PD	84	, 8	4,8	1	7	14,		2 ,17	4	1 ,8	2,
PD1P	28	2,	,12	4,11	4,	12,44	11, 2	7,24	1,1	1,4	
PP	1,1	2,1	1,27	2,28	,	12,8	12, 1	4,7	1,	1 ,	8
PP	1	2,47	2,37	,88	, 1	12, 2	12,4	4,	2,27	11,8	1,
PP	4	2,48	, 8	4,1	4,4	14,	1,	4, 2	4	14, 8	1,1
PP+L	4	1,1	1,78	,8	4,	12,12	11,	1	1,7	1	1,77
FLO											
PD	1	1, 1	1, 8	,	,	17,78	8,	28,1	1,4	21,4	1,17
PD1P	4	2, 4	2,	, 2	4, 9	17,14	2,17	28,7	2, 8	18,48	1,7
PP	4	1,	2,	4,2	4,28	17,	2,1	9,1	8, 7	18,8	1,84
PP+L	4	1,11	1, 7	,44	4,	14, 1	2, 9	2,42	1,74	12,4	1,38
FP											
PD	44	1, 2	2,8	8,27	4, 2	12, 8	8,2	27,8	1, 2	22,	
PD	8	1,7	1,87	,72	,	11,47	2, 2	2, 8	11, 2	21,38	4
PD	8	1,17	2,		,	12,9	2,4	7	11,1	21,	1,4
PD1P	1	1,2	1,32	,8	2,8	1, 4	2,82	,34	11,1	22,21	4
PP	42	1,27	1,87	,9	,4	1,74	2,9	4,12	1,4	22,1	9
PP+L	44	1,2	1,	1	,	2,37	2,47	2,22	11,4	22,7	1,17

Condições de RMN¹ C CPMA:

24 -18 : 24 -18 pp + 18 -1 : 2 - pp + 18 -1 pp

220-160: 24 -18 pp + 18 -1 pp

160-110: 24 pp + 4 pp + 1 -11 pp

11 : 11 pp + pp + 4 : 4 pp + 10-45: 11 pp + 4 pp

45-0: 4 - pp - 2 - pp

Livros Grátis

(<http://www.livrosgratis.com.br>)

Milhares de Livros para Download:

[Baixar livros de Administração](#)

[Baixar livros de Agronomia](#)

[Baixar livros de Arquitetura](#)

[Baixar livros de Artes](#)

[Baixar livros de Astronomia](#)

[Baixar livros de Biologia Geral](#)

[Baixar livros de Ciência da Computação](#)

[Baixar livros de Ciência da Informação](#)

[Baixar livros de Ciência Política](#)

[Baixar livros de Ciências da Saúde](#)

[Baixar livros de Comunicação](#)

[Baixar livros do Conselho Nacional de Educação - CNE](#)

[Baixar livros de Defesa civil](#)

[Baixar livros de Direito](#)

[Baixar livros de Direitos humanos](#)

[Baixar livros de Economia](#)

[Baixar livros de Economia Doméstica](#)

[Baixar livros de Educação](#)

[Baixar livros de Educação - Trânsito](#)

[Baixar livros de Educação Física](#)

[Baixar livros de Engenharia Aeroespacial](#)

[Baixar livros de Farmácia](#)

[Baixar livros de Filosofia](#)

[Baixar livros de Física](#)

[Baixar livros de Geociências](#)

[Baixar livros de Geografia](#)

[Baixar livros de História](#)

[Baixar livros de Línguas](#)

[Baixar livros de Literatura](#)
[Baixar livros de Literatura de Cordel](#)
[Baixar livros de Literatura Infantil](#)
[Baixar livros de Matemática](#)
[Baixar livros de Medicina](#)
[Baixar livros de Medicina Veterinária](#)
[Baixar livros de Meio Ambiente](#)
[Baixar livros de Meteorologia](#)
[Baixar Monografias e TCC](#)
[Baixar livros Multidisciplinar](#)
[Baixar livros de Música](#)
[Baixar livros de Psicologia](#)
[Baixar livros de Química](#)
[Baixar livros de Saúde Coletiva](#)
[Baixar livros de Serviço Social](#)
[Baixar livros de Sociologia](#)
[Baixar livros de Teologia](#)
[Baixar livros de Trabalho](#)
[Baixar livros de Turismo](#)